Diaporama cancer gastrointestinal 2017

Abstracts sélectionnés de:







Lettre de l'ESDO

Chers collègues

Nous avons le plaisir de vous présenter ce diaporama de l'ESDO qui a été conçu pour mettre en avant et synthétiser les principaux résultats concernant les cancers digestifs dans les congrès de l'année 2017. Celui ci est consacré au **19**th **World Congress on Gastrointestinal Cancer** et il est disponible aussi en anglais et en japonais.

La recherche clinique en oncologie évolue dans un environnement en perpétuelle mutation, et constitue un défi permanent. Dans ce contexte, nous avons tous besoin d'avoir accès aux données scientifiques pour améliorer nos connaissances et progresser dans nos métiers de cliniciens, chercheurs et enseignants. Nous espérons que cette revue des derniers développements en oncologie digestive vous apportera beaucoup et enrichira votre pratique. Si vous souhaitez partager votre avis avec nous, nous serons très heureux de recevoir vos commentaires à l'adresse suivante: info@esdo.eu

Nous sommes également très reconnaissants à Lilly Oncologie pour leur support financier, administratif et logistique à cette activité

Sincèrement vôtres,

Eric Van Cutsem
Thomas Seufferlein
Côme Lepage
Wolff Schmiegel
Philippe Rougier
(membre honoraire)

Ulrich Güller Thomas Grünberger Tamara Matysiak-Budnik Jaroslaw Regula Jean-Luc Van Laethem

(Board de l'ESDO)



european society of digestive oncology

Diaporama oncologie médicale ESDO

Contributeurs 2017

CANCER COLORECTAL

Oncologie digestive, hôpitaux universitaires de Leuven, Belgique **Prof Eric Van Cutsem**

Département de médecine, Ruhr University, Bochum, Allemagne **Prof Wolff Schmiegel**

Prof Thomas Gruenberger Département de chirurgie I, Rudolf Foundation Clinic, Vienne, Autriche







CANCER DU PANCRÉAS ET TUMEURS HÉPATOBILIAIRES

Prof Jean-Luc Van Laethem Oncologie digestive, hôpital universitaire Erasme, Brussels, Belgique

Clinique de médecine interne I, Université d'Ulm, Ulm, Allemagne





TUMEURS GASTRO-OESOPHAGIENNES ET NEUROENDOCRINES

Prof émérite Philippe Rougier Hôpital universitaire de Nantes, Nantes, France

Prof Côme Lepage Hôpital universitaire et INSERM, Dijon, France





BIOMARQUEURS

Prof Thomas Seufferlein

Prof Thomas Seufferlein

Prof Eric Van Cutsem Oncologie digestive, hôpitaux universitaires de Leuven, Belgique

Clinique de médecine interne I, Université d'Ulm, Ulm, Allemagne







Abréviations

/xS 5FU	toutes les x semaines 5-fluorouracile	FOLFIRI	5-fluorouracile + irinotécan + acide folinique	PEGPH20	pegylated recombinant human hyaluronidase
ADCP(M)	adénocarcinome canalaire	FOLFOX	5-fluorouracile + oxaliplatine	PIGF	placental growth factor
ADOI (IVI)	pancréatique (métastatique)	FP	fluoropyrimidine	Prog	progression
ADNtc	ADN tumoral circulant	GGT	gamma-glutamyl transpeptidase	PS	performance status
AG	nab-paclitaxel + gemcitabine	GI	gastro-intestinal	QLQ-C30	quality of life questionnaire C30
AH	acide hyaluronique	HR	hazard ratio	QoL QoL	qualité de vie
ALT	alanine aminotransférase	IC	intervalle de confiance	R	randomisation
ANOVA	analyse de variance	IHC	immunohistochimie	RC	réponse complète
AST	aspartate aminotransférase	IRCC	Institute for Cancer Research and	RECIST	Response Evaluation Criteria In Solid
BEV	bevacizumab	INCC	Treatment	KLCIST	Tumors
CAPOX	capécitabine + oxaliplatine	IRI	irinotécan	RP	réponse partielle
CCR	cancer colorectal	ITT	intention de traiter	RPc	réponse partielle confirmée
CCRm	cancer colorectal métastatique	IV	intraveineux	RPnc	réponse partielle confirmée
CHC	carcinome hépatocellulair	J	jour	SAR	survie après rechute
CK	créatinine kinase	JGO	•	SC	sous-cutané
CT		KPS	jonction gastro-oesophagienne		
ddPCR	chimiothérapie	MMR	Karnofsky performance status	SG(m) SIRT	survie globale (médiane)
duPCR	droplet digital polymerase chain		mismatch repair		radiothérapie sélective interne
DEC	reaction	MRT	meilleure réponse tumorale	SoC	standard de traitement
DES	délai jusqu'à échec de la stratégie	MS	maladie stable	SSM	survie sans maladie
DICOM	digital imaging and communications	MSI	instabilité microsatellitaire	SSP(m)	survie sans progression (médiane)
	in medicine	MUT	muté	SSR	survie sans récidive
DMT	dose maximale tolérée	NA	non applicable	TACE	chimioembolisation transartérielle
EGFR	epidermal growth factor receptor	ND	non disponible	TCM	taux de contrôle de la maladie
ECOG	Eastern Cooperative Oncology Group		non évaluable	TRG	taux de réponse globale
EI	événement indésirable	NGS	séquençage de nouvelle génération	TRO	taux de réponse objective
EILT	évènement indésirable lié au	NS	non significatif		
	traitement	OMS	organisation mondiale de la santé		
ETE	événement thromboembolique	OR	odds ratio		
FAS	full analysis set	PAG	PEGPH20 + nab-paclitaxel +		
FGF(R)	fibroblast growth factor (receptor)		gemcitabine		
FISH	hybridation par fluorescence in situ	PD-L1	programmed death-ligand 1		

Sommaire

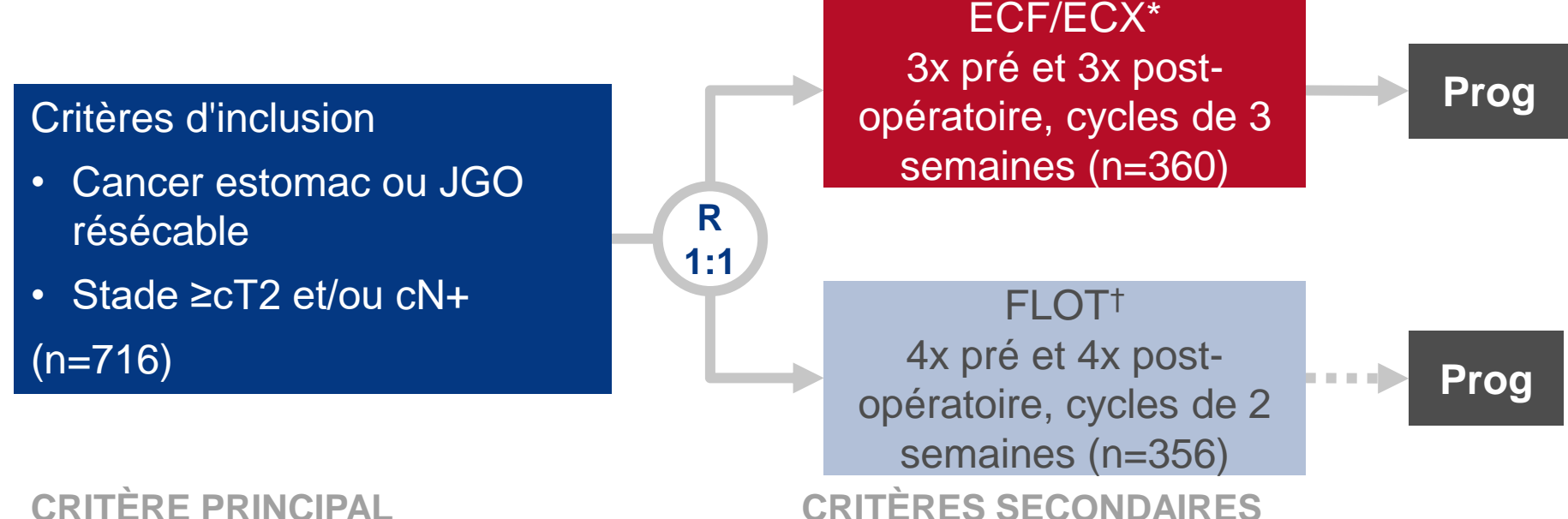
•	Cancers de l'oesophage et de l'estomac	6
•	Cancers du pancréas, de l'intestin grêle et des voies biliaires	20
	- Cancer du pancréas	21
	Cancer des voies biliaires	44
	Carcinome hépatocellulair	<u>50</u>
•	Cancers du colon, du rectum et de l'anus	<u>60</u>
•	Cancer gastrointestinal	104

CANCERS DE L'OESOPHAGE ET DE L'ESTOMAC

LBA-008: Docétaxel, oxaliplatine et fluorouracile/leucovorine (FLOT) versus épirubicine, cisplatine et fluorouracile ou capécitabine (ECF/ECX) en traitement périopératoire de l'adénocarcinome de l'estomac ou de la jonction gastrooesophagienne résécable: l'étude multicentrique randomisée de phase 3 FLOT4 (German Gastric Group AIO) - AI-Batran S-E

Objectif

Evaluer l'efficacité et la tolérance de ECF/ECX vs. FLOT en périopératoire chez les patients avec cancer de l'estomac ou de la JGO résécable



CRITÈRE PRINCIPAL

SG

*Epirubicine 50 mg/m² J1 + cisplatine 60 mg/m² J1 + 5FU 200 mg/m² perfusion continue ou capécitabine 1250 mg/m² J1–21; †Docétaxel 50 mg/m² + oxaliplatine 85 mg/m² + leucovorine 200 mg/m² + 5FU 2600 mg/m² perfusion de 24H, tous à J1

Taux de résection, SSP, tolérance

Basé sur des données d'abstract uniquement Al-Batran S-E, et al. Ann Oncol 2017; 28 (suppl 3): abstr LBA-008 LBA-008: Docétaxel, oxaliplatine et fluorouracile/leucovorine (FLOT) versus épirubicine, cisplatine et fluorouracile ou capécitabine (ECF/ECX) en traitement périopératoire de l'adénocarcinome de l'estomac ou de la jonction gastro-oesophagienne résécable: l'étude multicentrique randomisée de phase 3 FLOT4 (German Gastric Group AIO) – AI-Batran S-E

Résultats

Efficacité	ECF/ECX	FLOT	HR (IC95%)	р
Taux de résection R0, %	77	48	-	0,011
SGm, mois	35	50	0,77 (0,63 – 0,94)	0,012
SSPm, mois	18	30	0,75 (0,62 – 0,91)	0,004
Taux de SG à 3 ans, %	48	57	-	-
Tumeurs ≤pT1, %	15	25	-	0,001

Morbidité et mortalité, %	ECF/ECX	FLOT
Complications périopératoires	50	51
Mortalité à 30 jours	3	2
Mortalité à 90 jours	8	5

Conclusion

 Chez ces patients avec cancer de l'estomac ou de la JGO résécable, le traitement par FLOT en périopératoire a amélioré les résultats vs. ECF/ECX et pourrait être considéré comme un nouveau standard dans ce contexte

Basé sur des données d'abstract uniquement Al-Batran S-E, et al. Ann Oncol 2017; 28 (suppl 3): abstr LBA-008

LBA-009: KEYNOTE-059 cohorte 3: tolérance et efficacité du pembrolizumab en monothérapie en traitement de 1e ligne des patients avec cancer de l'estomac / gastro-oesophagien avancé PD-L1 positif – Catenacci DV, et al

Objectif

• Evaluer l'efficacité et la tolérance en 1^e ligne du pembrolizumab ± CT chez des patients avec cancer de l'estomac / gastro-oesophagien avancé PD-L1 positif (données du bras pembrolizumab monothérapie)

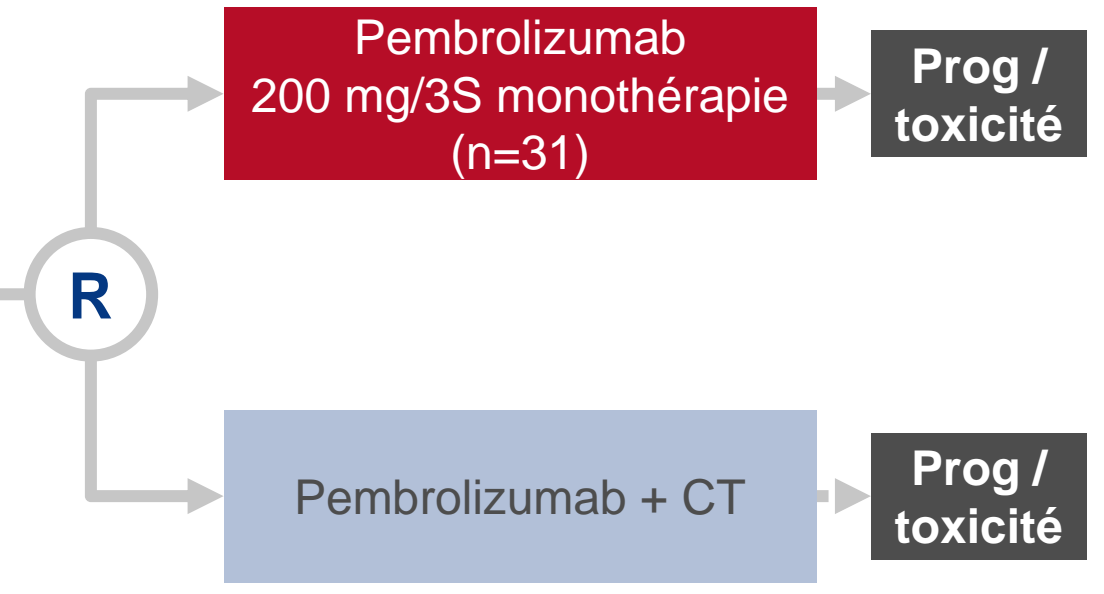
Critères d'inclusion

- Cancer de l'estomac/gastrooesophagien métastatique ou en rechute
- HER2-, PD-L1+*
- Pas de traitement systémique préalable au stade avancé

CRITÈRES PRINCIPAUX

TRG, tolérance

*Score combiné de positivité PD-L1 ≥1% (nombre de cellules tumorales, lymphocytes et macrophages avec coloration PD-L1 divisé par le nombre total de cellules tumorales viables x100)



CRITÈRES SECONDAIRES

Durée de réponse, SSP, SG

Basé sur des données d'abstract uniquement Catenacci DV, et al. Ann Oncol 2017; 28 (suppl 3): abstr LBA-009

LBA-009: KEYNOTE-059 cohorte 3: tolérance et efficacité du pembrolizumab en monothérapie en traitement de 1e ligne des patients avec cancer de l'estomac / gastro-oesophagien avancé PD-L1 positif – Catenacci DV, et al

Résultats

Principaux résultats d'efficacité (n=31)	
TRG, % (IC95%)	25,8 (11,9 – 44,6)
RC, %	3,2
Durée de réponse médiane, % (range)	NA (2,1 – 13,7+)
SSPm, mois (IC95%)	3,3 (2,0 – 6,0)
SGm, mois (IC95%)	NA (9,2 – NE)
Taux de SG à 6 mois, %	72,9
Taux de SG à 12 mois, %	61,7
Els sous traitement (n=31)	

Els sous traitement (n=31)	
Tous grades, n (%)	24 (77,4)
Grade 3–5, n (%)	7 (22,6)

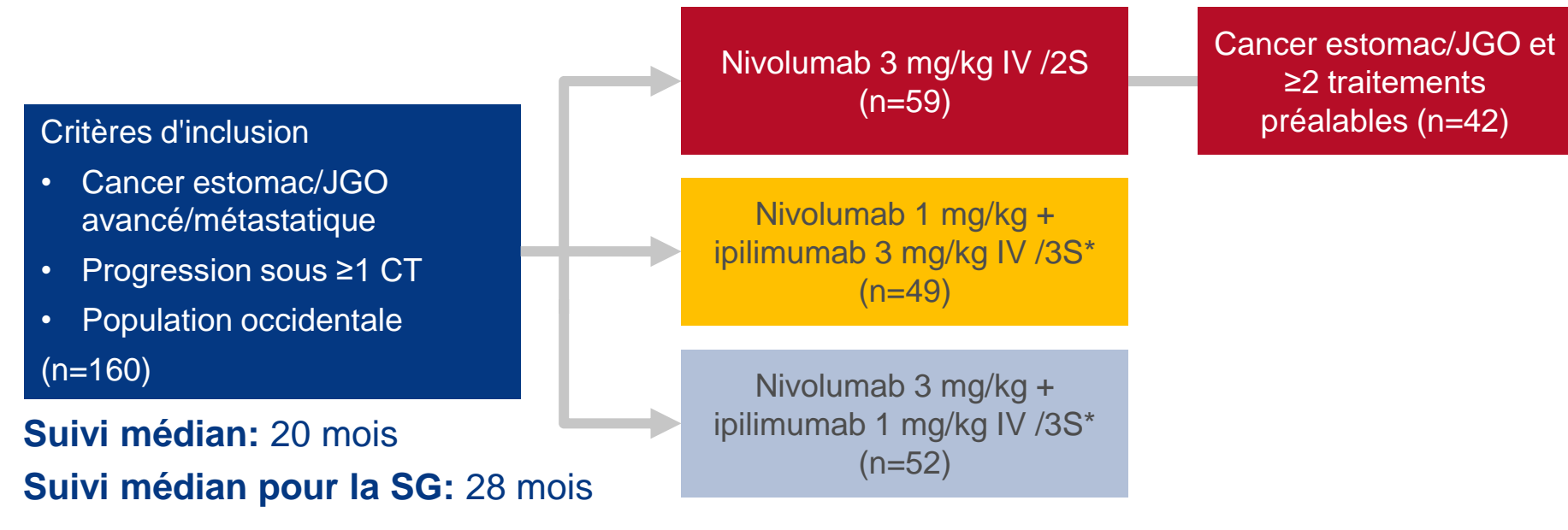
Conclusion

• Chez ces patients avec cancer de l'estomac ou de la JGO avancé PD-L1+, le pembrolizumab en monothérapie a montré une activité antitumorale prometteuse avec un profil de tolérance acceptable en traitement de 1^e ligne

Basé sur des données d'abstract uniquement Catenacci DV, et al. Ann Oncol 2017; 28 (suppl 3): abstr LBA-009

Objectif

• Evaluer la tolérance et l'efficacité du nivolumab dans un sous-groupe de patients avec cancer de l'estomac ou de la jonction gastro-oesophagienne (JGO) et ≥2 traitements préalables dans l'étude CheckMate 032



CRITÈRE PRINCIPAL

TRO (RECIST v1.1)

*L'association nivolumab + ipilimumab était administrée pendant 4 cycles suivis de nivolumab 3 mg/kg IV /2S

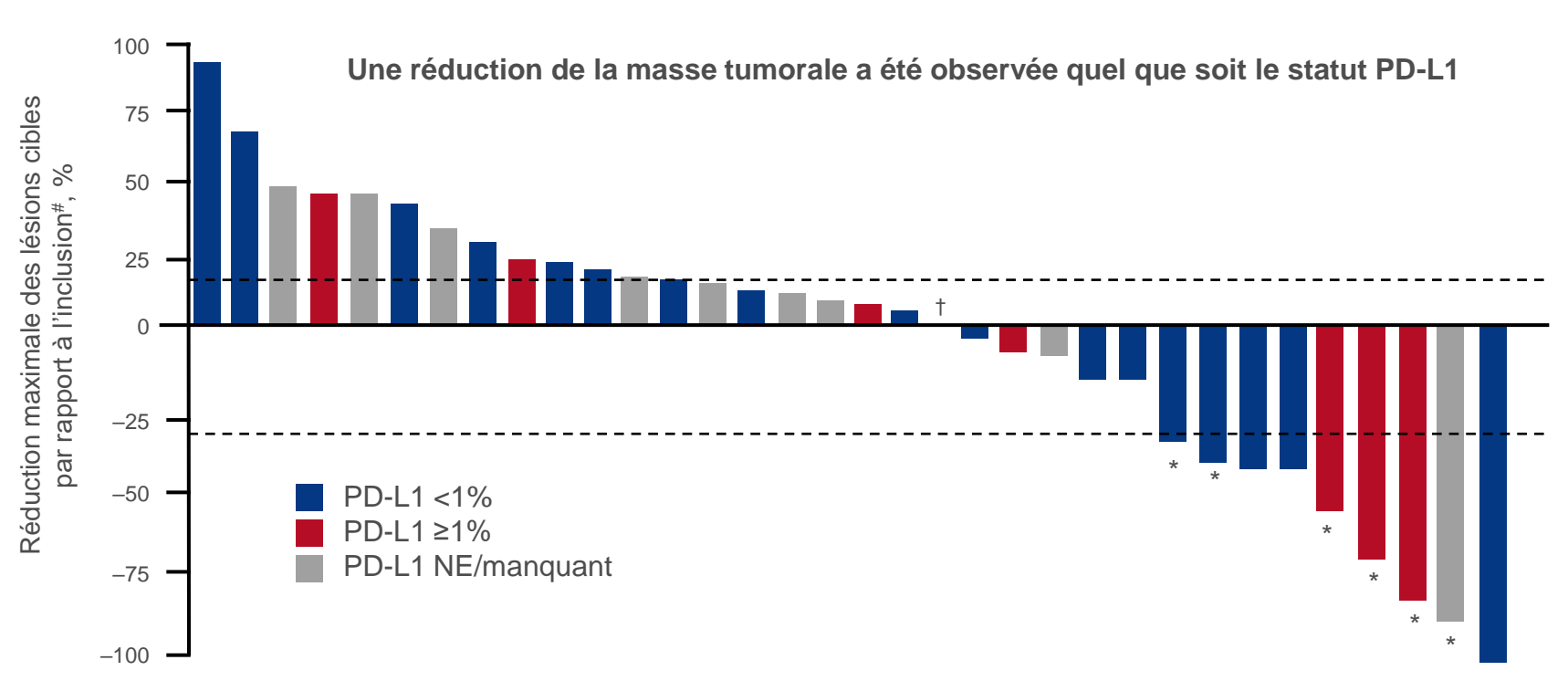
CRITÈRES SECONDAIRES

 Tolérance, SG, SSP, délai jusqu'à récidive, durée de réponse

Ott P, et al. Ann Oncol 2017; 28 (suppl 3): abstr O-007

Résultats

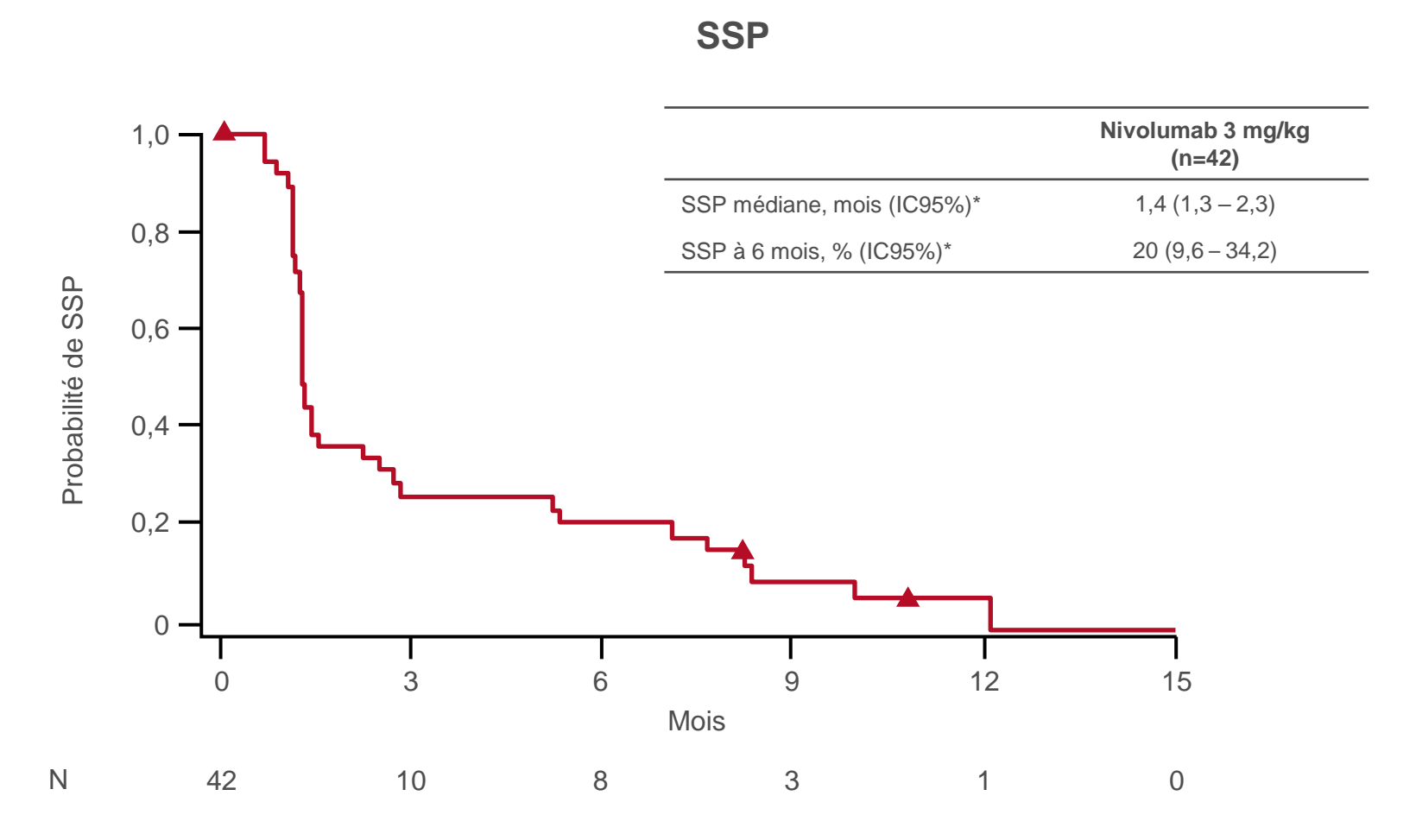
Réduction maximale du volume tumoral selon le statut PD-L1



La réduction maximale était déterminée sur la mesure des lésions cibles évaluables jusqu'à progression ou initiation de traitements ultérieurs *Patients avec réponse confirmée (RC ou RP)

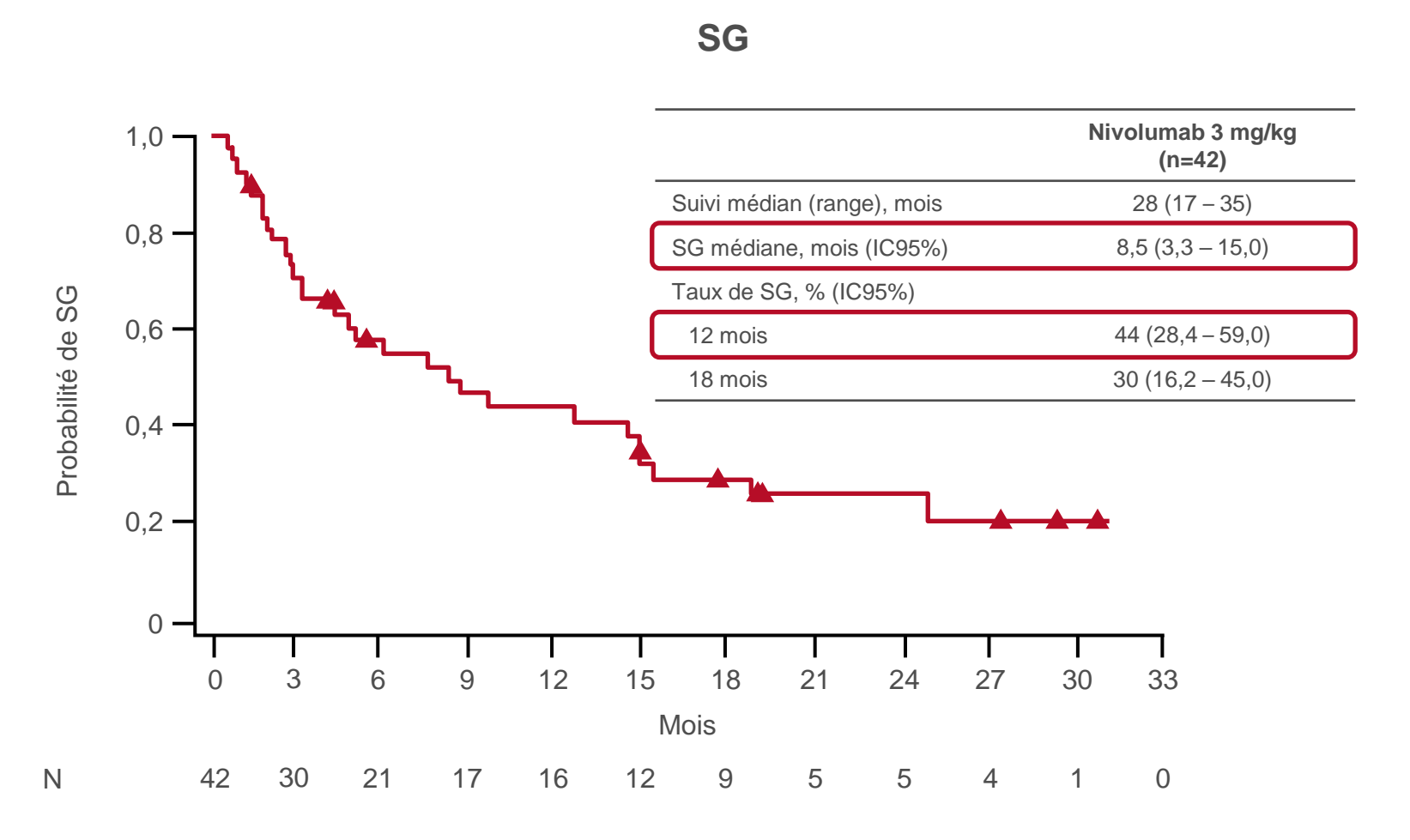
[†]Patient qui était PD-L1 ≥1 à l'inclusion et qui a eu 0% de réduction maximale de la lésion cible

Résultats



^{*} Evaluation par l'investigateur

Résultats



Conclusions

- Le nivolumab en monothérapie a démontré une activité clinique favorable dans ce sous-groupe de patients lourdement prétraités avec cancer de l'estomac/JGO, quel que soit le statut PD-L1
- Le taux de SG après un an était de 44,3% avec des réponses durables chez certains patients
- Ces résultats étaient similaires à ceux observés dans l'étude de phase 3 ATTRACTION-2 chez des patients asiatiques

Objectif

• Explorer les modifications de la qualité de vie (QoL) relatives aux évènements indésirables sous traitement et à la réponse tumorale chez les patients qui ont participé aux deux essais de phase 3 RAINBOW et REGARD

Méthodes

- Le questionnaire QLQ-C30 v3.0 a été rempli à l'inclusion et toutes les 6 semaines
- Les données ont été rassemblées pour tous les bras de traitement (n=1020)
- Une analyse de régression logistique, ajustée sur les covariables à l'inclusion, a été utilisée pour estimer les odds ratios pour d'une part la survenue sous traitement d'Els présélectionnés (oui ou non) et pour d'autre part les groupes de meilleure réponse tumorale (MRT) (réponse, maladie stable ou autre)
 - Un OR ≤0,85 avec p<0,05 était considéré comme pertinent
- Une ANOVA a été utilisée pour comparer les modifications des scores de QoL par rapport à l'inclusion selon la survenue d'Els sélectionnés (sur l'incidence et les symptômes cliniques) et la MRT
 - p <0,05 était considéré comme significatif

Résultats

- Les multiples Els sous traitement et la MRT pouvaient être prédits par une détérioration de la QoL
- Les modifications des insomnies et de la constipation, rapportées par les patients, n'étaient pas prédictives des résultats pour aucune variable considérée
- Des différences significatives entre les modifications des échelles de QoL étaient aussi associées avec les multiples Els sous traitement et la MRT

Résultats

Dégradation de la QoL	Prédiction avec OR ≤0,85 et p<0,05 basée sur la régression logistique (variation du score de QoL)	Résultats avec différentes variations de la QoL, d'après l'ANOVA, p<0,05
QoL globale	Fièvre (5 points) Pire MRT (10 points)	MRT
Fonctionnement physique	Diminution de l'appétit (10 points) Pire MRT (15 points)	Alopécie Neuropathie MRT
Fonctionnement dans les activités quotidiennes	Diminution de l'appétit (15 points) Fatigue (20 points) Nausées (15 points) Diarrhée (10 points) Pire MRT (15 points)	Neuropathie MRT
Fonctionnement émotionnel	Diminution de l'appétit (10 points) Nausées (10 points) Pire MRT (15 points)	Diminution de l'appétit Neuropathie MRT
Fonctionnement cognitif	Diminution de l'appétit (10 points)	MRT
Fonctionnement social	Pire MRT (20 points)	Neuropathie MRT
Fatigue	Diminution de l'appétit (10 points) Fatigue (15 points) Pire MRT (15 points)	Diminution de l'appétit Neuropathie MRT
Nausées/vomissements	Nausées (10 points) Vomissements (10 points) Pire MRT (15 points)	Neuropathie MRT
Douleur	Pire MRT (20 points)	Fatigue Vomissements Douleurs abdominales MRT
Dyspnée	Anémie (15 points)	Anémie Douleurs abdominales MRT
Perte d'appétit	Diminution de l'appétit (15 points) Fatigue (15 points) Pire MRT (20 points)	Diminution de l'appétit Neuropathie MRT
Diarrhée	Diarrhée (5 points)	Anémie Diarrhée

Basé sur des données d'abstract uniquement Chau I, et al. Ann Oncol 2017; 28 (suppl 3): abstr O-016

Conclusions

- Les modifications des items de QoL étaient associées à des modifications du statut clinique
 - Des variations de 10–20 points étaient associées à la MRT
 - Des variations de 10–15 points étaient associées aux Els
- Les modifications de QoL les plus constantes étaient observées pour la MRT et la perte d'appétit rapportée par l'investigateur

CANCERS DU PANCRÉAS, DE L'INTESTIN GRÊLE ET DES VOIES BILIAIRES

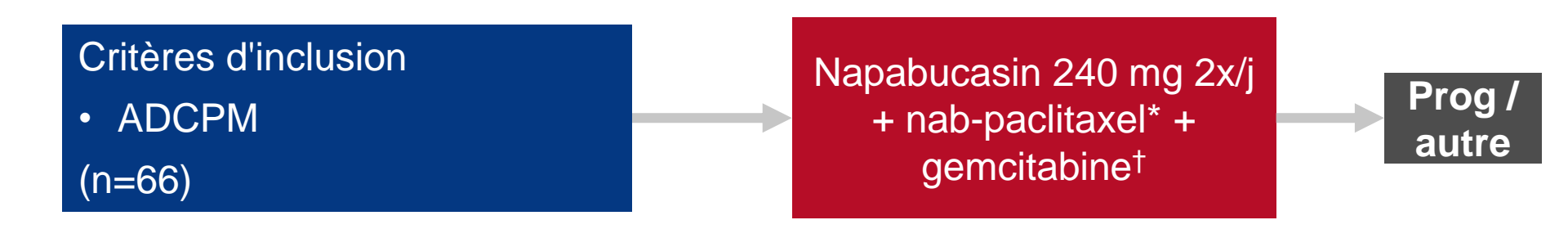
Cancers du pancréas, de l'intestin grêle et des voies biliaires

CANCER DU PANCRÉAS

LBA-002: Etude de phase 1b/ll de l'inhibiteur de la voie des cellules souches cancéreuses napabucasin en association à gemcitabine et nab-paclitaxel chez les patients avec adénocarcinome du pancréas métastatique (ADCPM) – Bekaii-Saab T

Objectif

 Evaluer l'efficacité et la tolérance du napabucasin en association à gemcitabine et nabpaclitaxel chez les patients avec ADCPM



CRITÈRE PRINCIPAL

• SG

CRITÈRES SECONDAIRES

- SSP, TRG, TCM, QoL, tolérance
- Dose recommandée en phase 2, PK

^{*}Nab-paclitaxel 125 mg/m² 1x/S, 3 semaines /4; †gemcitabine 1000 mg/m² 1x/S, 3 semaines /4

LBA-002: Etude de phase 1b/ll de l'inhibiteur de la voie des cellules souches cancéreuses napabucasin en association à gemcitabine et nab-paclitaxel chez les patients avec adénocarcinome du pancréas métastatique (ADCPM) – Bekaii-Saab T

Résultats

- Aucune interaction PK, ou toxicité limitante ou inattendue n'ont été rapportées
- Les Els les plus fréquentes étaient:
 - Diarrhée, nausées, fatigue, neuropathie de grade 1; alopécie grade 2; neutropénie grade 3

	TCM, r	n/N (%)	TRG, n	/N (%)	Taux de SG à
	Evaluable	ITT	Evaluable	ITT	1 an, %
Tous patients	51/55 (93)	51/66 (77)	30/60 (50)	30/71 (42)	NA
Enrôlés depuis ≥1 an	28/30 (93)	28/37 (76)	16/30 (53)	16/37 (43)	48
Enrôlés depuis ≥1 an + traitement ≥8 semaines	25/27 (93)		16/27 (59)		56

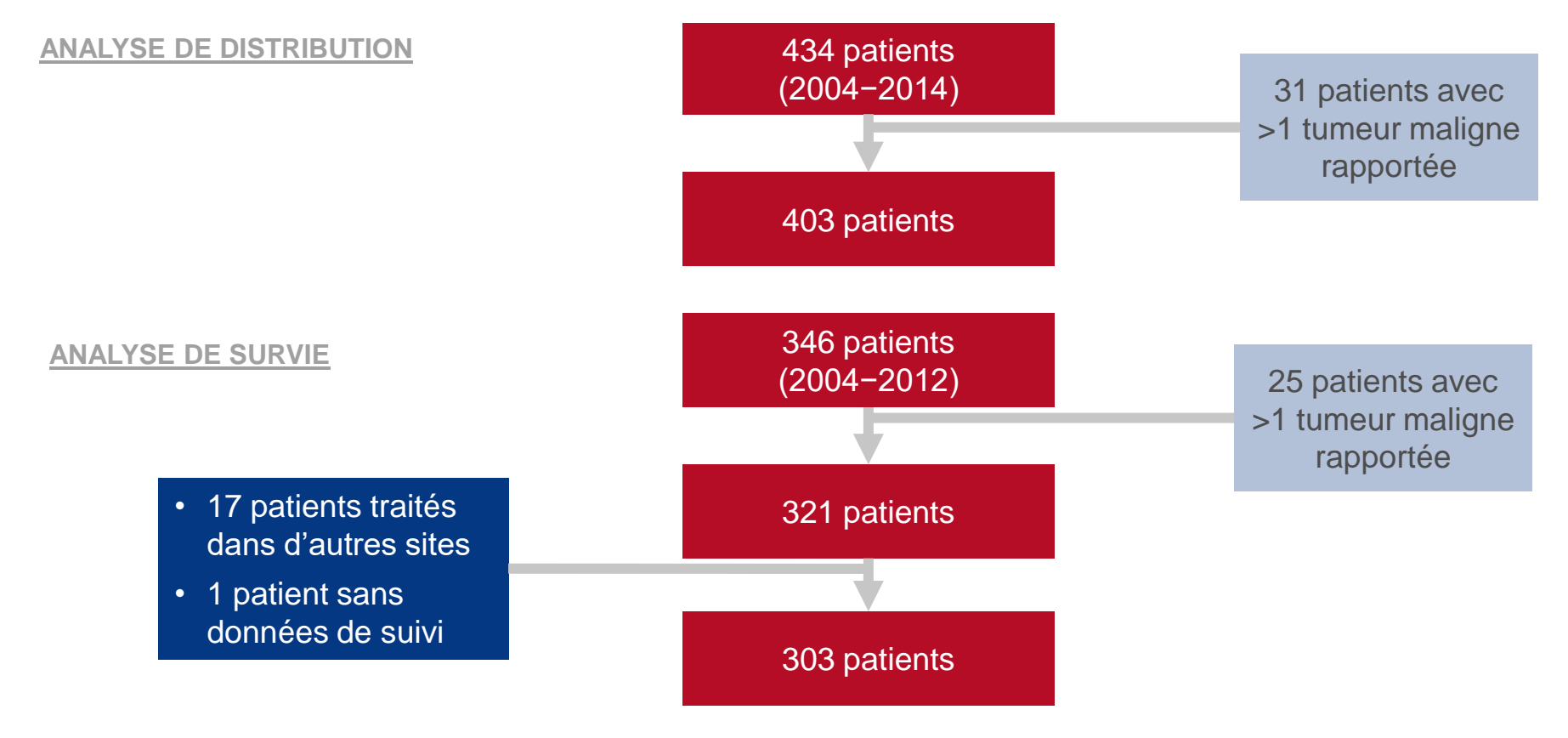
Conclusions

- Ces données indiquent que le napabucasin peut être associé au nab-paclitaxel + gemcitabine chez ces patients avec ADCPM
- Une étude de phase 3 est en cours pour confirmer ces signes prometteurs d'efficacité dans ce contexte

O-002: Analyse de survie de patients avec tumeurs pseudopapillaires et solides du pancréas dans une cohorte multicentrique rétrospective – Huffman B, et al

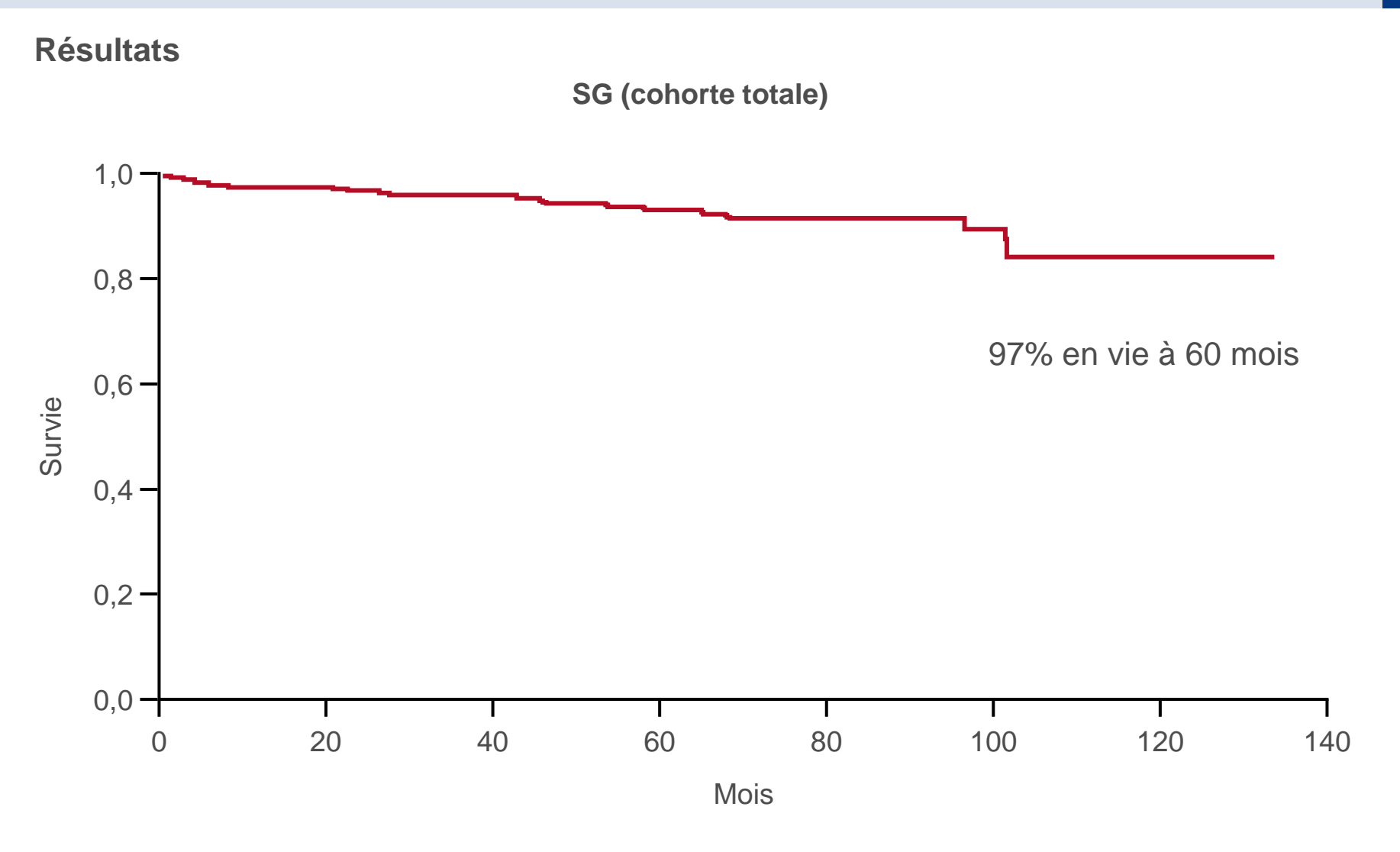
Objectif

 Evaluer le devenir de patients diagnostiqués avec une tumeur pseudopapillaire et solide du pancréas entre 2004 et 2014 en utilisant les données collectées dans les bases de données nationales des cancers de centres aux Etats Unis et à Porto Rico



Huffman B, et al. Ann Oncol 2017; 28 (suppl 3): abstr O-002

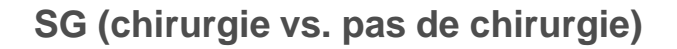
O-002: Analyse de survie de patients avec tumeurs pseudopapillaires et solides du pancréas dans une cohorte multicentrique rétrospective – Huffman B, et al

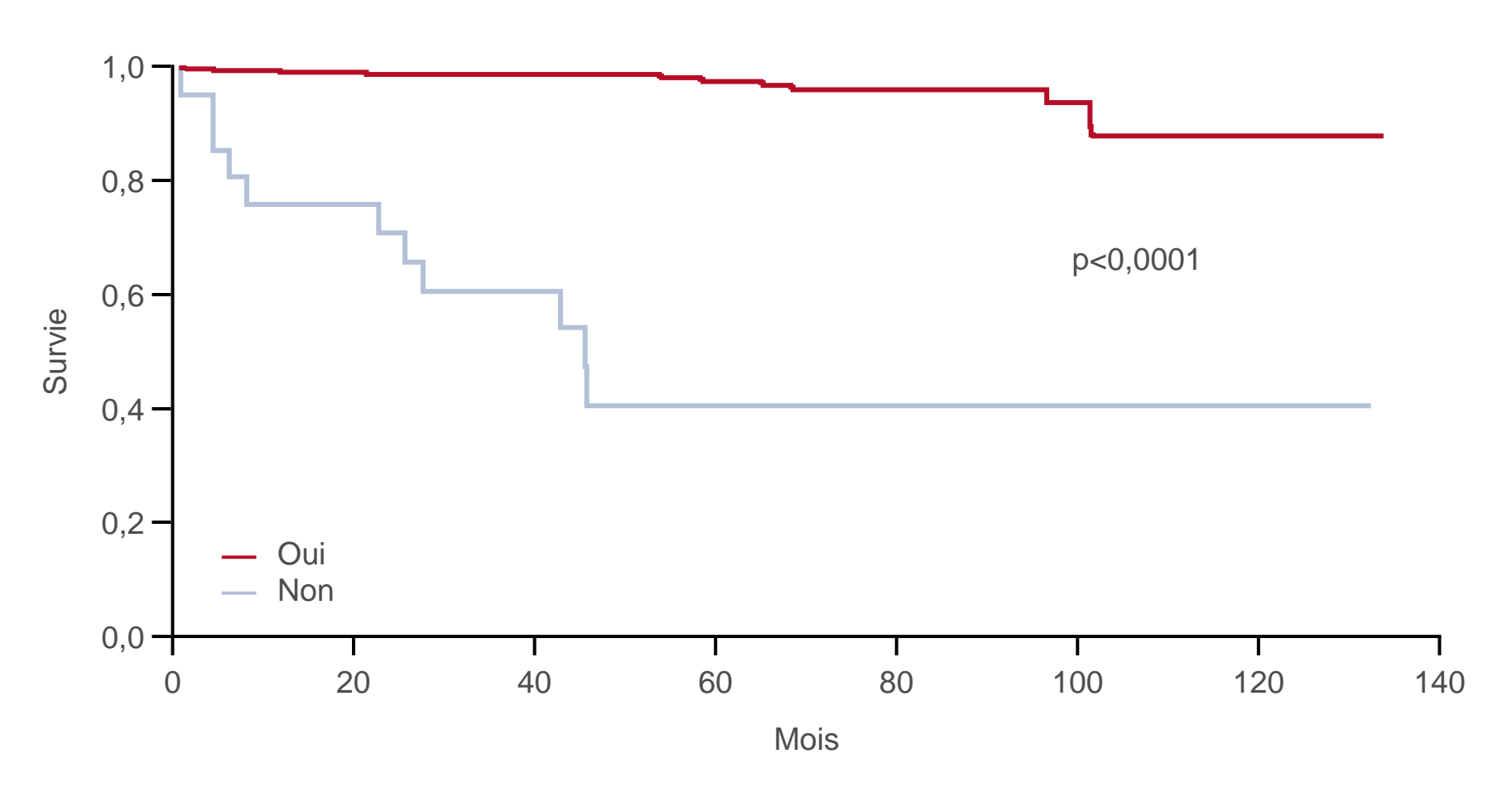


Huffman B, et al. Ann Oncol 2017; 28 (suppl 3): abstr O-002

O-002: Analyse de survie de patients avec tumeurs pseudopapillaires et solides du pancréas dans une cohorte multicentrique rétrospective – Huffman B, et al







Huffman B, et al. Ann Oncol 2017; 28 (suppl 3): abstr O-002

O-002: Analyse de survie de patients avec tumeurs pseudopapillaires et solides du pancréas dans une cohorte multicentrique rétrospective – Huffman B, et al

Résultats

Patients, n (%)	n	HR multivarié (IC95%)	р
Sexe Hommes Femmes	58 345	0,299 (0,1 - 0,8)	0,0168
Chirurgie Non Oui	31 368	0,135 (0,04 – 0,52)	0,0041
Présence de métastases	28 268	0,269 (0,07- 0,9)	0,0316
Age	Continu	1,19 (0,13 – 9,5)	0,87

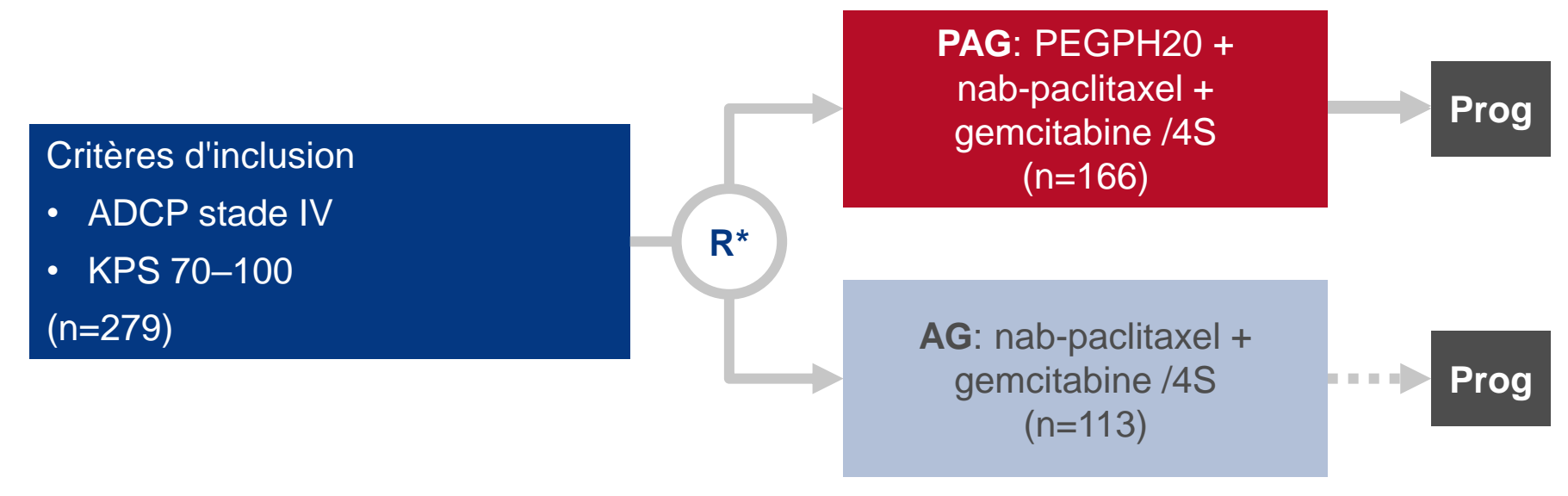
O-002: Analyse de survie de patients avec tumeurs pseudopapillaires et solides du pancréas dans une cohorte multicentrique rétrospective – Huffman B, et al

Conclusions

- La survie était excellente après résection de la tumeur primitive chez ces patients présentant une tumeur pseudopapillaire et solide localisée du pancréas (98% à 5 ans)
- En analyse multivariée, le sexe féminin, la chirurgie et l'absence de métastases à distance étaient associés à une meilleure survie
- La chirurgie a permis d'améliorer la survie même chez les patients ayant une maladie métastatique stade IV avec une SG de 45 mois
- La chirurgie a été envisagée pour tous les patients avec tumeur résécable

Objectif

 Evaluer l'efficacité et le taux d'évènements thromboemboliques (ETE) chez des patients avec adénocarcinome canalaire pancréatique (ADCP) métastatique, non prétraités, recevant PAG ou AG



CO-CRITÈRES PRINCIPAUX

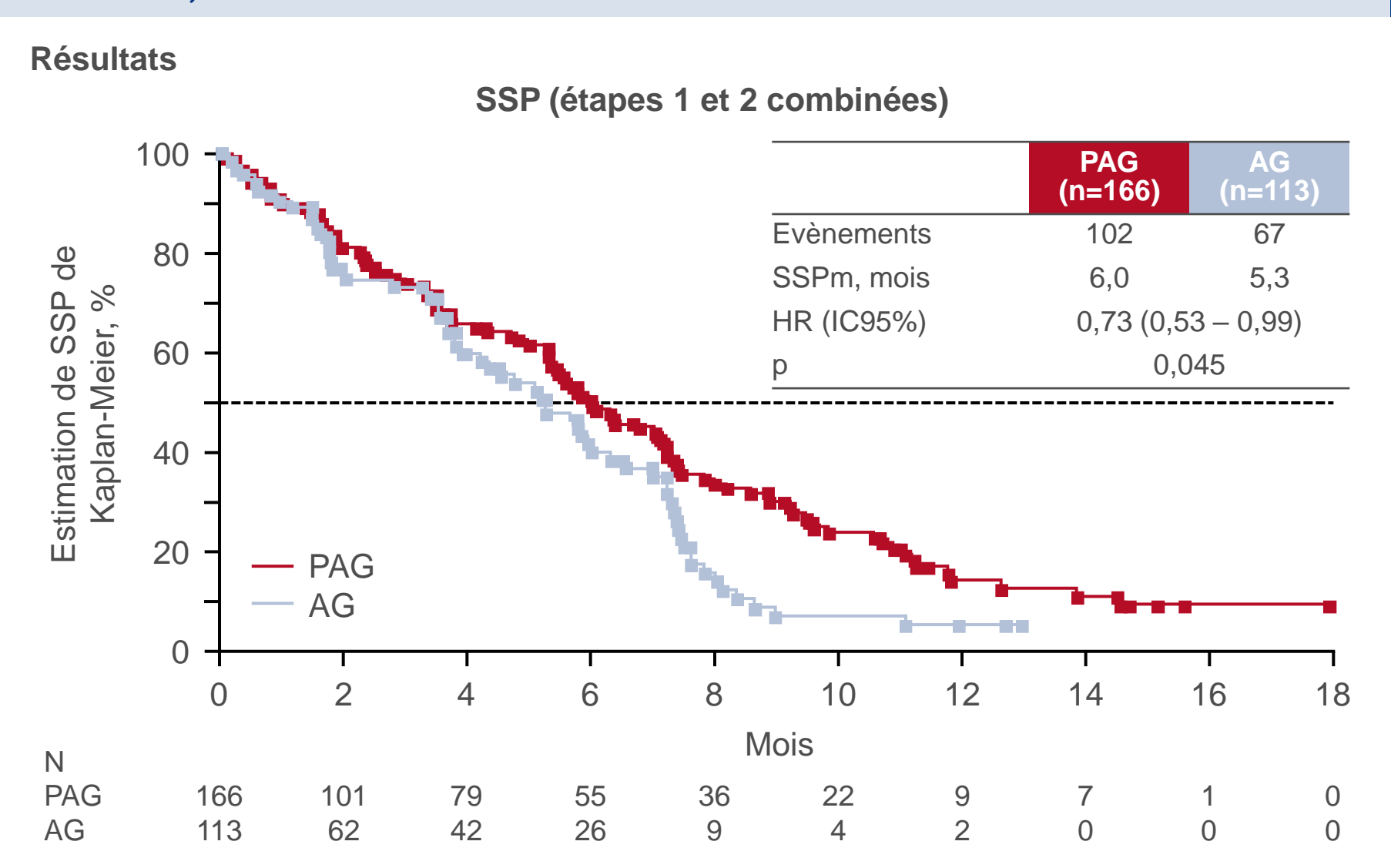
SSP, taux d'ETE

*1:1 à l'étape 1; 2:1 à l'étape 2 où les patients à haut risque d'ETE avaient été exclus après interruption momentanée de l'étude

CRITÈRES SECONDAIRES

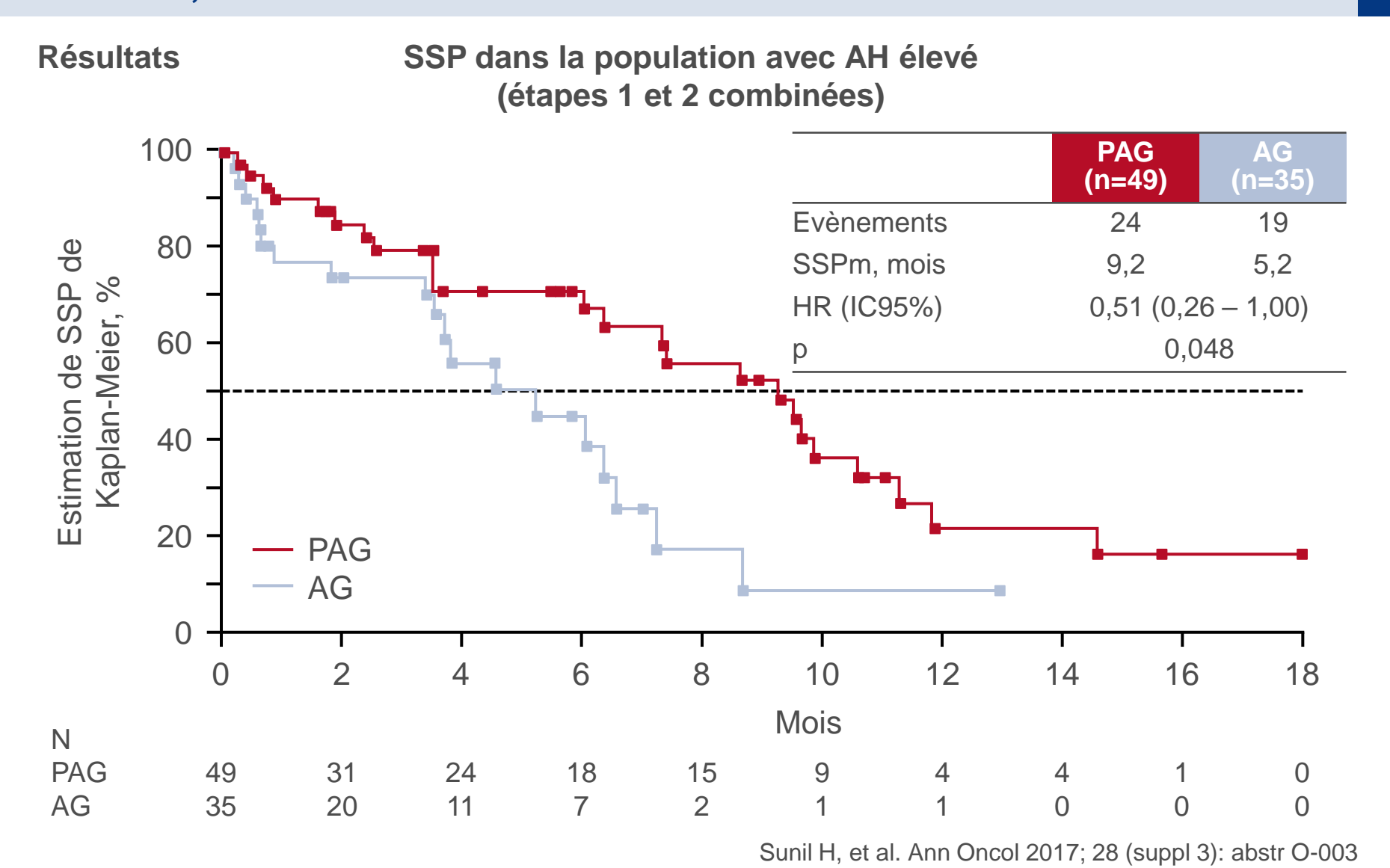
 SSP selon le taux d'acide hyaluronique (AH), TRO, SG

Sunil H, et al. Ann Oncol 2017; 28 (suppl 3): abstr O-003



Sunil H, et al. Ann Oncol 2017; 28 (suppl 3): abstr O-003

O-003: Le PEGPH20 améliore la survie sans progression chez les patients avec adénocarcinome canalaire pancréatique métastatique: une étude randomisée de phase 2 en association avec nab-paclitaxel/gemcitabine – Sunil H, et al



Résultats

	Doses	Taux d'ET	x d'ETE, n/N (%)	
	prophylactiques - d'énoxaparine	PAG	AG	
Etape 1	NA	32/74 (43)	15/61 (25)	
5 1 0*	40 mg/j	5/18 (28)	2/7 (29)	
Etape 2*	1 mg/kg/j	7/68 (10)	2/32 (6)	

- Pas de différence entre les taux d'ETE selon les taux d'AH tumoral
- Pas de différence entre les évènements hémorragiques selon le bras de traitement

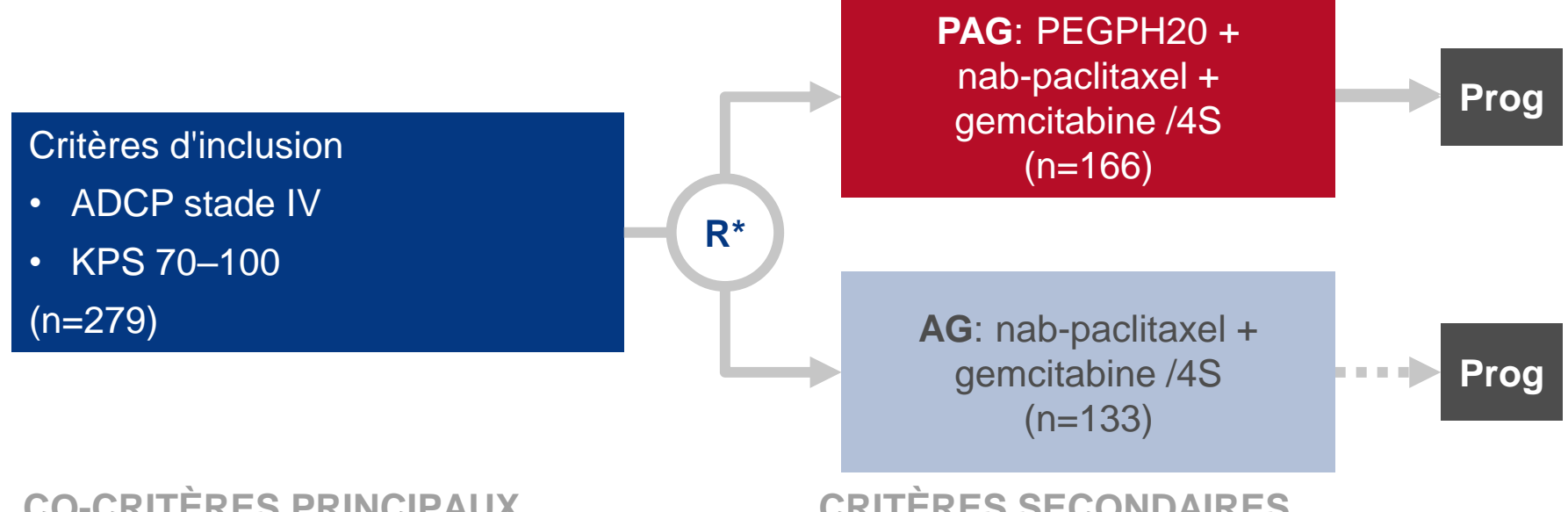
Conclusions

- L'addition de PEGPH20 a amélioré la SSP par rapport au nab-paclitaxel + gemcitabine seul
- L'amélioration de SSP la plus importante a été observée chez les patients avec taux élevé d'AH
- Un amendement au protocole pour l'étape 2 a ajouté une évaluation du risque d'ETE et une thromboprophylaxie par énoxaparine, ce qui a permis d'éliminer la différence de taux d'ETE entre les bras de traitement
- L'AH pourrait être un biomarqueur prédictif pour sélectionner les patients éligibles à un traitement par PEGPH20
- Une évaluation est en cours dans l'étude de phase 3 HALO-301

O-028: L'acide hyaluronique tumoral pourrait prédire le bénéfice du PEGPH20 ajouté au nab paclitaxel/gemcitabine chez les patients avec adénocarcinome canalaire pancréatique métastatique non prétraités - Hendifar A, et al

Objectif

Evaluer l'efficacité et le taux d'évènements thromboemboliques (ETE) chez des patients avec adénocarcinome canalaire pancréatique (ADCP) métastatique, non prétraités, recevant PAG ou AG (analyse de l'étape 2 uniquement)



CO-CRITÈRES PRINCIPAUX

SSP, taux d'ETE

*1:1 à l'étape 1; 2:1 à l'étape 2 où les patients à haut risque d'ETE avaient été exclus après interruption momentanée de l'étude

CRITÈRES SECONDAIRES

SSP selon le taux d'acide hyaluronique (AH), TRO, SG

Hendifar A, et al. Ann Oncol 2017; 28 (suppl 3): abstr O-028

O-028: L'acide hyaluronique tumoral pourrait prédire le bénéfice du PEGPH20 ajouté au nab paclitaxel/gemcitabine chez les patients avec adénocarcinome canalaire pancréatique métastatique non prétraités – Hendifar A, et al

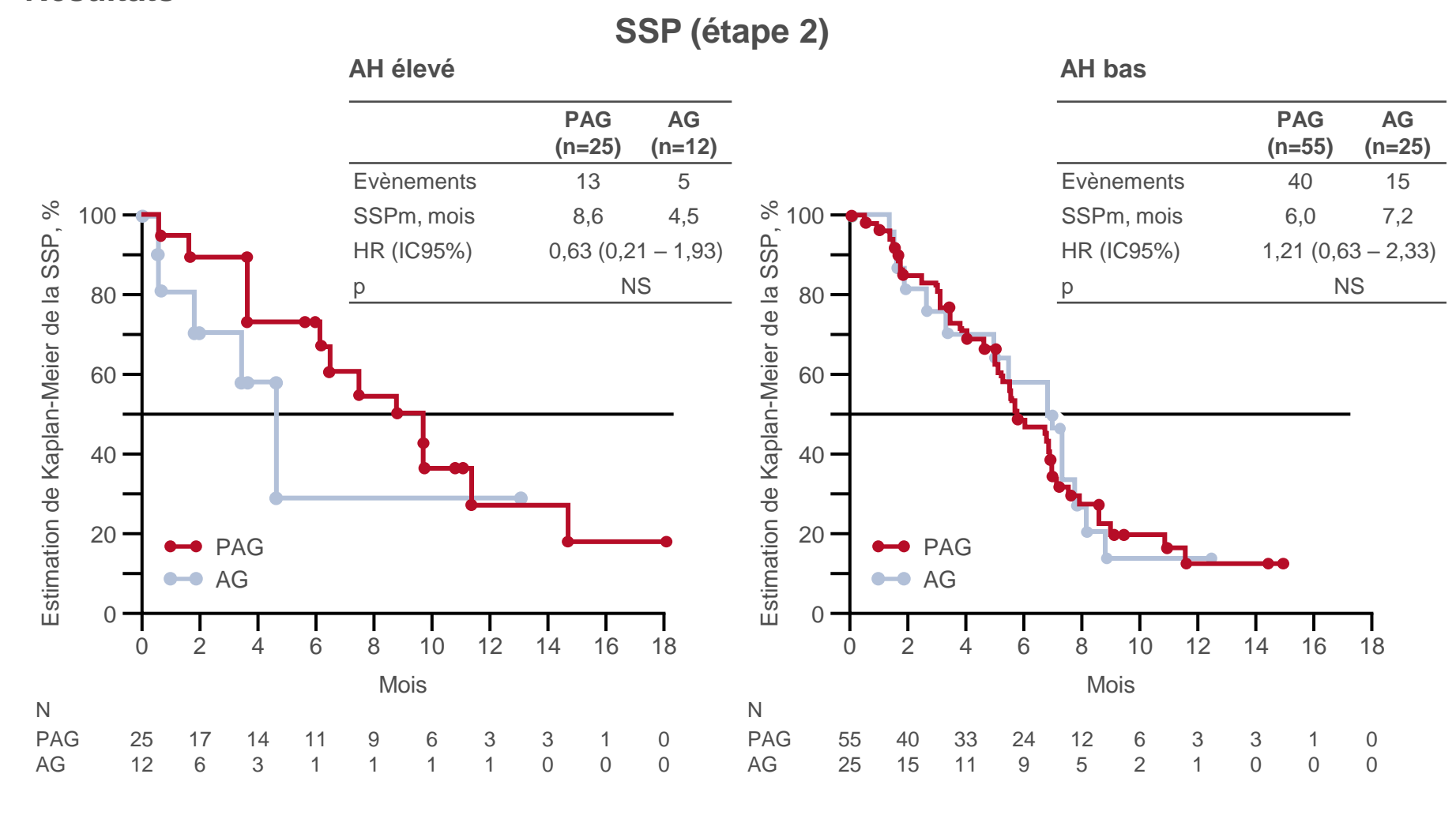
Résultats

	Enoxaparine à dose prophylactique	PAG	AG
Tour d'ETE p/N (0/)	40 mg/j	5/18 (28)	2/7 (29)
Taux d'ETE, n/N (%)	1 mg/kg/j	7/68 (10)	2/32 (6)

	Sévérité	PAG	AG
Evènements hémorragiques, n/N (%)	Tous grades	31/86 (36)	14/39 (36)
	Grade 3/4	3/86 (4)	3/39 (8)

O-028: L'acide hyaluronique tumoral pourrait prédire le bénéfice du PEGPH20 ajouté au nab paclitaxel/gemcitabine chez les patients avec adénocarcinome canalaire pancréatique métastatique non prétraités – Hendifar A, et al

Résultats



Hendifar A, et al. Ann Oncol 2017; 28 (suppl 3): abstr O-028

O-028: L'acide hyaluronique tumoral pourrait prédire le bénéfice du PEGPH20 ajouté au nab paclitaxel/gemcitabine chez les patients avec adénocarcinome canalaire pancréatique métastatique non prétraités – Hendifar A, et al

Résultats

	PAG	AG	
Vé	n=25	n=12	
AH élevé	SSP 8,6 mois	SSP 4,5 mois	HR 0,63
A	SG 11,7 mois	SG 7,8 mois	HR 0,52
38	n=55	n=25	
AH bas	SSP 6,0 mois	SSP 7,2 mois	HR 1,21
7	SG 11,9 mois	SG 10,2 mois	HR 0,69

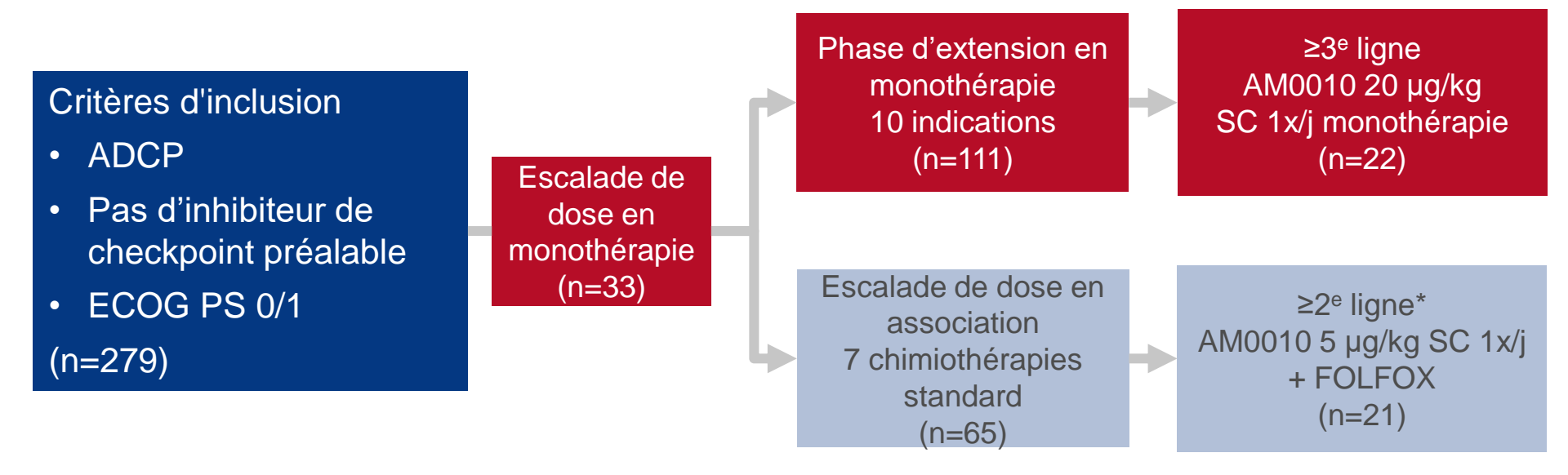
O-028: L'acide hyaluronique tumoral pourrait prédire le bénéfice du PEGPH20 ajouté au nab paclitaxel/gemcitabine chez les patients avec adénocarcinome canalaire pancréatique métastatique non prétraités – Hendifar A, et al

Conclusions

- Il s'agit de la première étude randomisée qui a utilisé un traitement ciblé dans l'ADCP
- Une tendance positive a été observée pour la SSP et la SG chez les patients avec AH élevé traités par PAG
- L'AH pourrait être un biomarqueur prédictif permettant de sélectionner les patients éligibles au traitement par PEGPH20 et pourrait avoir une valeur pronostique dans l'ADCP métastatique
- Une évaluation est en cours dans l'étude de phase 3 HALO-301

Objectif

• Etude de phase 1b évaluant la tolérance et l'efficacité de AM0010 en association avec FOLFOX en 2^e ligne ou au delà chez des patients avec ADCP métastatique



SC: sous cutané

^{*}Progression sous gemcitabine; pas de platine préalable

Résultats

- L'association AM0010 + FOLFOX a été globalement bien tolérée
- Les EILTs de grade 3/4 comprenaient thrombocytopénie (52%) et anémie (40%)
 - La majorité étaient transitoires et réversibles avec 2–3 jours d'interruption de traitement
- Un schéma modifié de AM0010, consistant en 5 jours de traitement suivis de 2 jours sans traitement, a atténué les thrombocytopénies et anémies de grade 3/4
 - Le profil de stimulation immunitaire était conservé

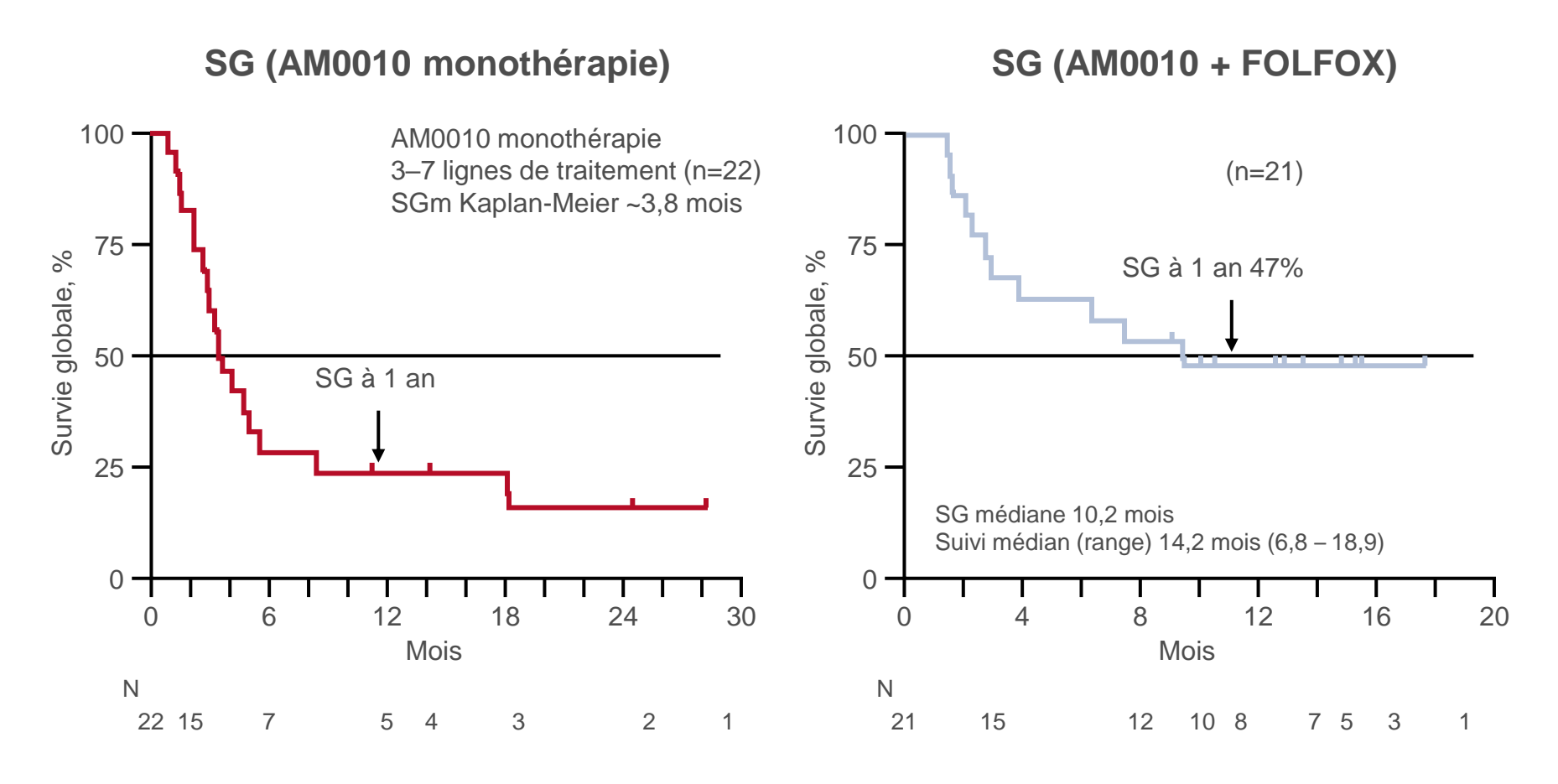
	Grade 1/2		Grade	Grade 3/4		
EILTs (grade 3/4 chez ≥5%), n (%)	Monothérapie (n=22)	FOLFOX (n=25)	Monothérapie (n=22)	FOLFOX (n=25)		
Système sanguin et lymphatique						
Anémie	7 (31,8)	5 (20,0)	3 (13,6)	10 (40,0)		
Leucopénie	0	2 (8,0)	1 (4,5)	3 (12,0)		
Neutropénie	0	3 (12,0)	0	9 (36,0)		
Thrombocytopénie	6 (27,3)	5 (20,0)	7 (31,8)	13 (52,0)		
Troubles généraux et au site d'administration						
Fatigue	5 (22,7)	15 (60,0)	2 (9,1)	3 (12,0)		
Fièvre	4 (18,2)	3 (12,0)	0	0		

La population de tolérance comprenait 4 patients dans l'escalade de dose et des patients avec FOLFIRINOX et platine préalables

Résultats

Traitement	Traitements antérieurs, médiane (range)	TCM, n (%)	TRO, n (%)	RC, n (%)	SSPm, mois	SGm, mois
AM0010 (n=15/22)	3 (2-6)	8 (53)	0	0	1,7	3,8
AM0010 + FOLFOX (n=19/21)	2 (1-5) Pas de platine antérieur	15 (79)	3 (16)	2 (11)	3,5	10,2
FOLFOX (Zaanan et al. BMC 2014)	1	36%	0	0	1,7	4,3

Résultats



Hecht RJ, et al. Ann Oncol 2017; 28 (suppl 3): abstr O-004

Conclusions

- L'AM0010 a été bien toléré en monothérapie ou en association avec FOLFOX
- L'anémie, la thrombocytopénie, la fatigue et la fièvre étaient les évènements indésirables les plus fréquents sous traitement
- Il n'y a pas eu d'événement indésirable lié à l'immunité pendant le traitement
- Les résultats de survie semblent prometteurs
- Ces données préliminaires suggèrent que l'activation immunitaire est corrélée au résultat

Cancers du pancréas, de l'intestin grêle et des voies biliaires

CANCER DES VOIES BILIAIRES

Objectif

 Etudier l'efficacité de l'inhibiteur irréversible de FGFR, TAS-120, chez des patients avec cholangiocarcinome

Critères d'inclusion

- Altération de FGF/FGFR confirmée localement^a
- Maladie non résécable ou métastatique
- Echec des traitements standard
- ECOG PS 0/1

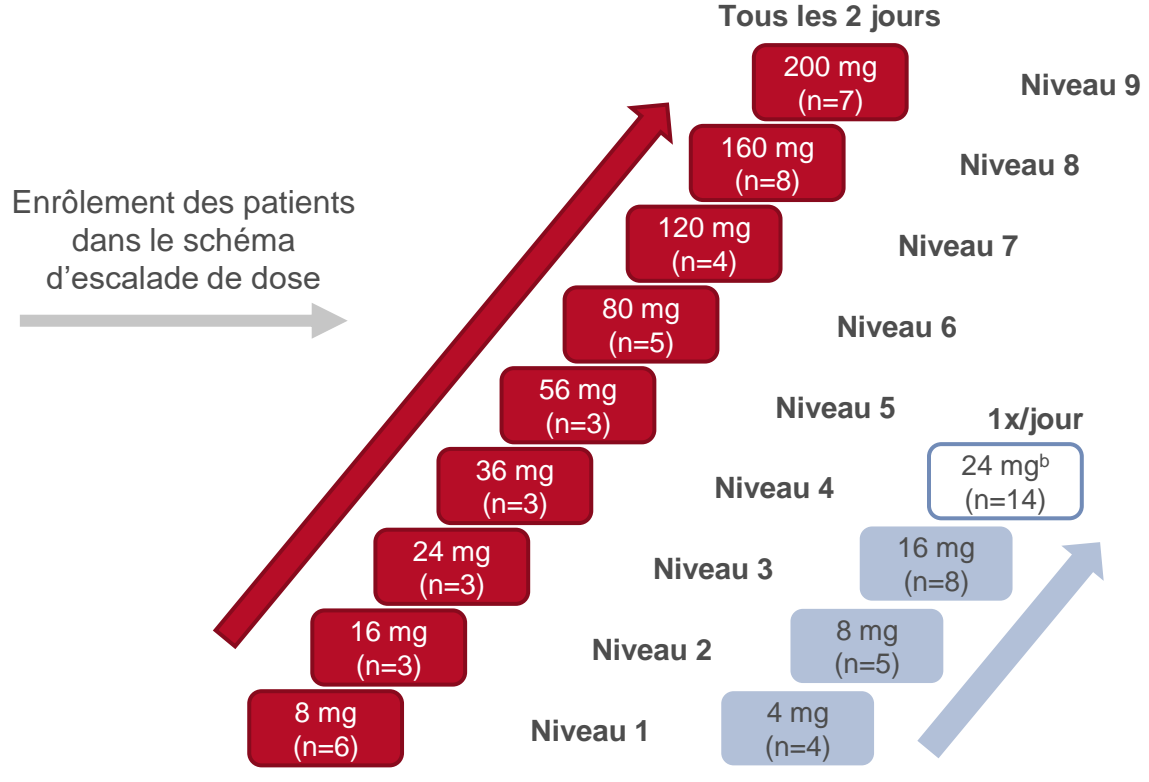
(n=19 en escalade de dose; n=4 en phase d'extension)

CRITÈRES PRINCIPAUX

 Dose maximale tolérée (DMT), dose recommandée en phase 2 (DRP2)

CRITÈRES SECONDAIRES

Tolérance, activité antitumorale préliminaire

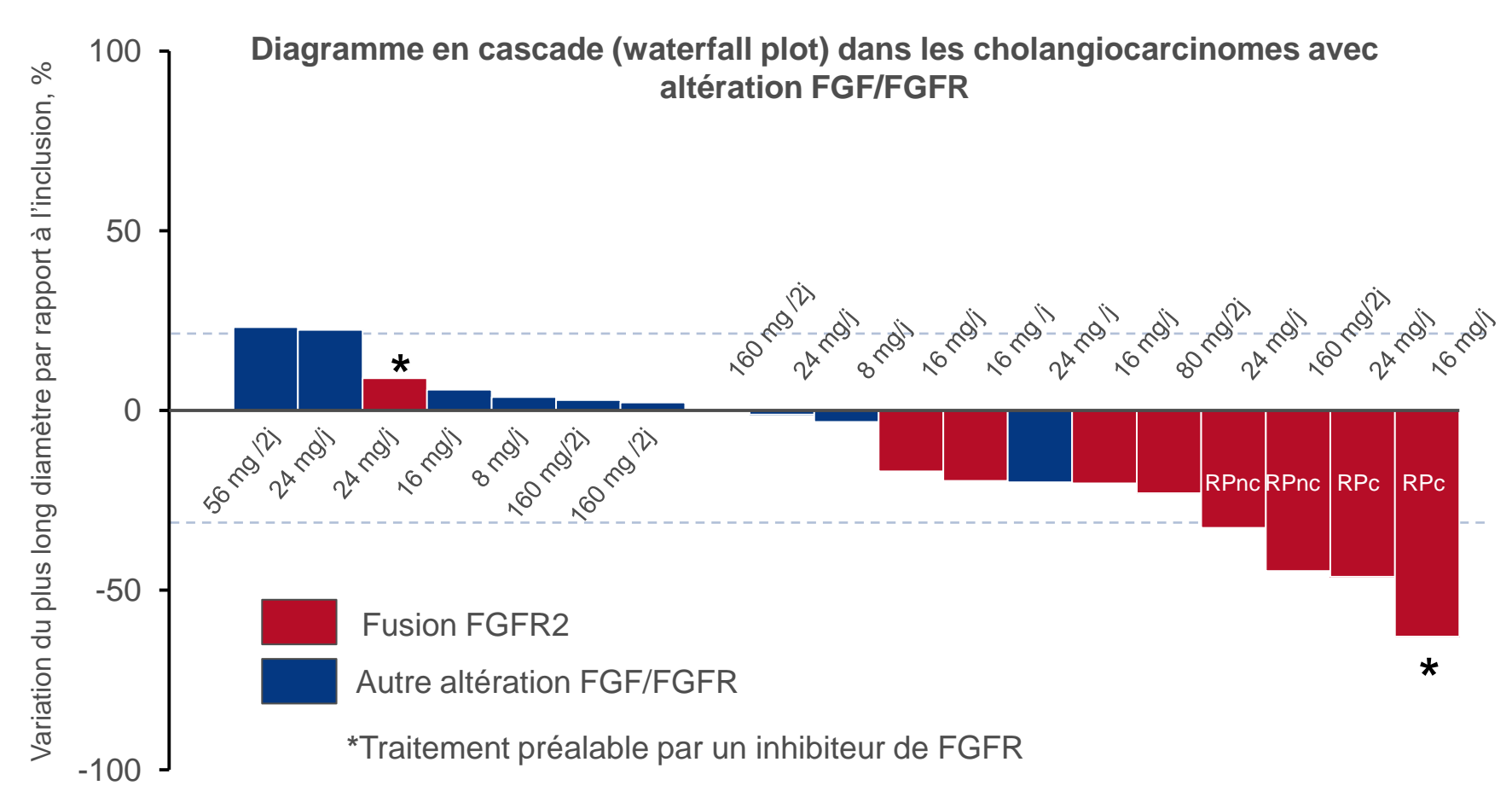


Goyal L, et al. Ann Oncol 2017; 28 (suppl 3): abstr O-020

^aA partir du niveau de dose 1 en 1x/j et du niveau de dose 5 pour schéma tous les 2 jours

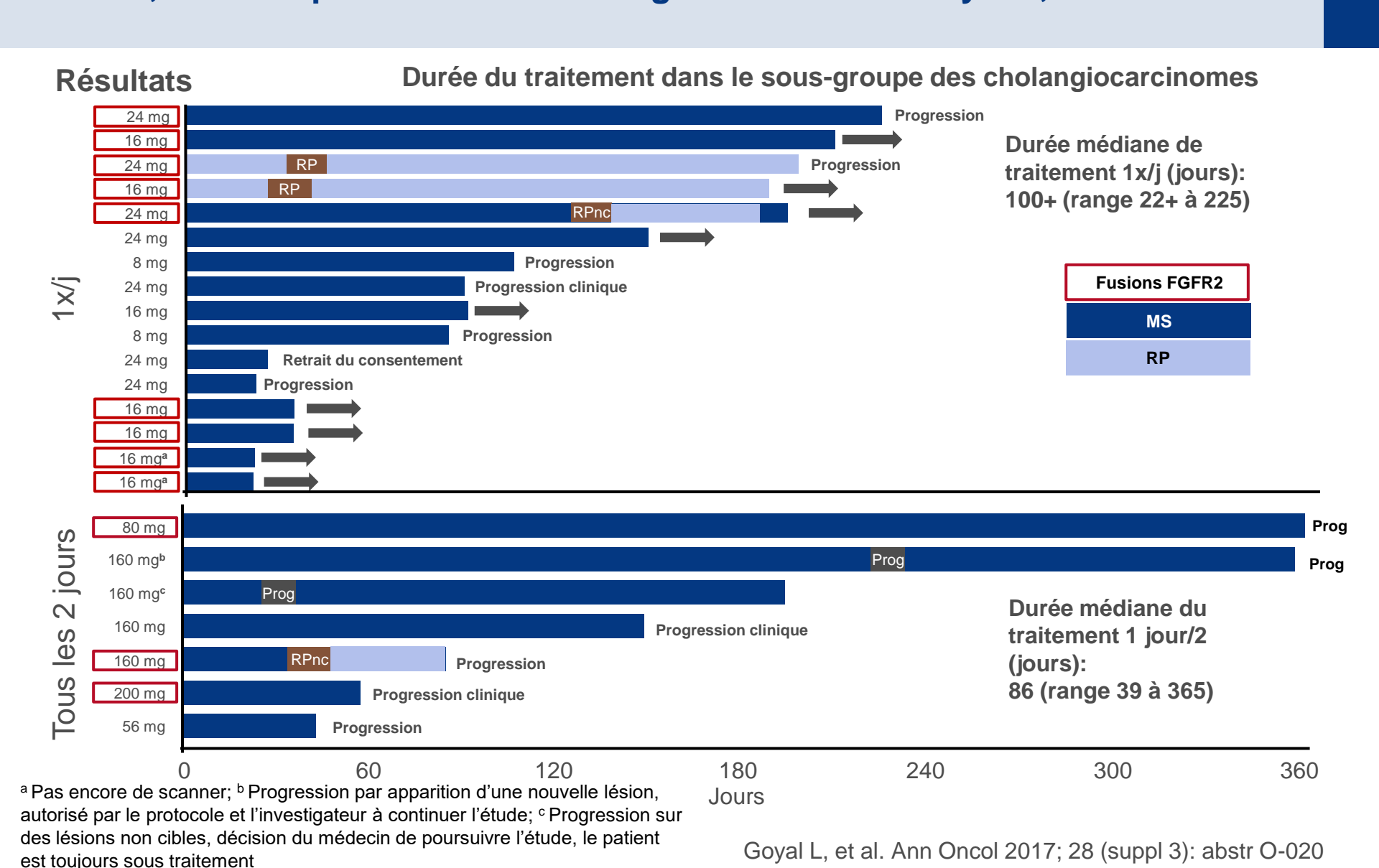
b24 mg/j correspond à la toxicité limitante

Résultats

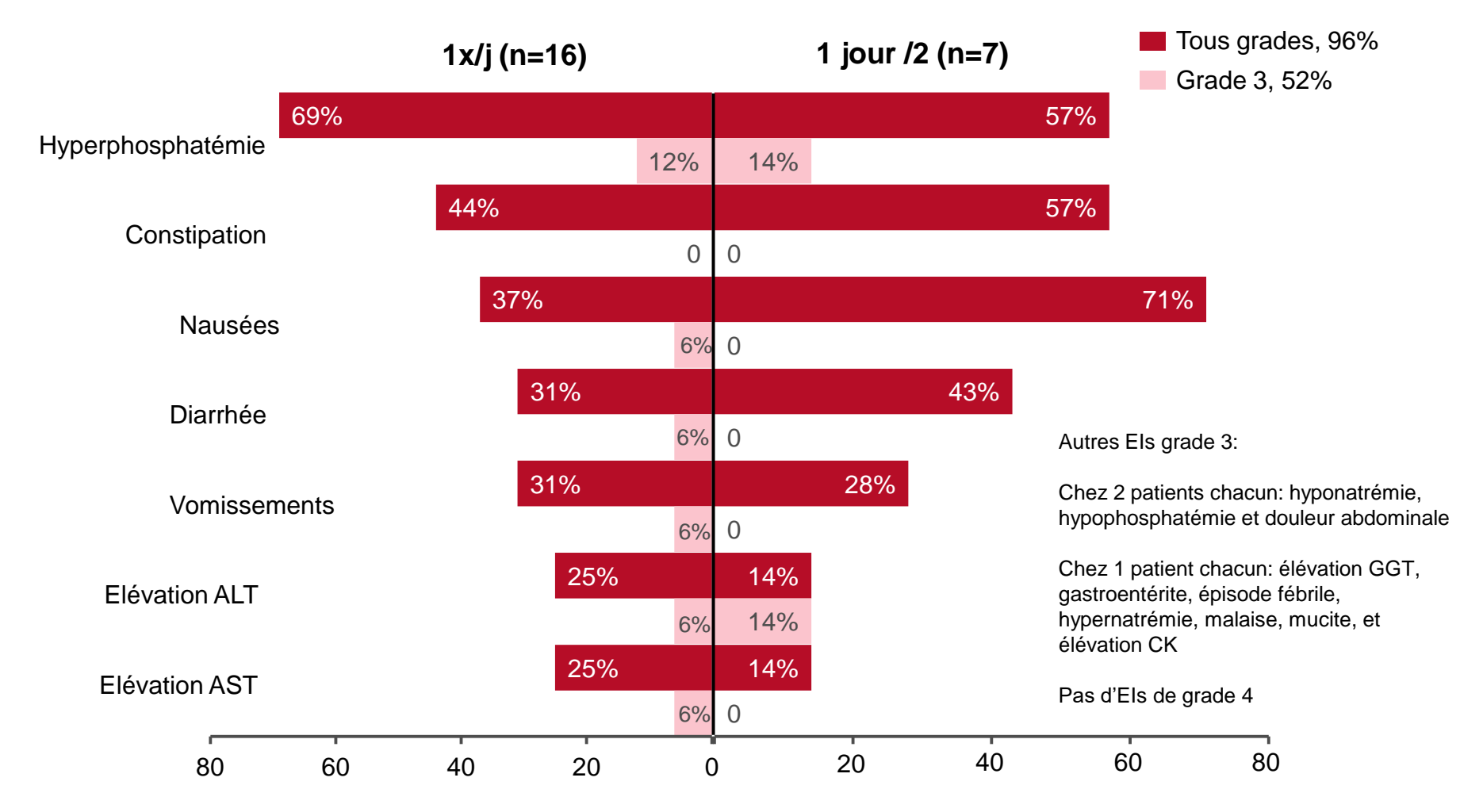


4 des 23 patients ne sont pas inclus car ils n'ont pas encore de scanner disponible; parmi eux, 3 avaient reçu un inhibiteur de FGFR antérieurement; Date de cut-off: 12 mai 2017

Goyal L, et al. Ann Oncol 2017; 28 (suppl 3): abstr O-020



Résultats



Goyal L, et al. Ann Oncol 2017; 28 (suppl 3): abstr O-020

Conclusions

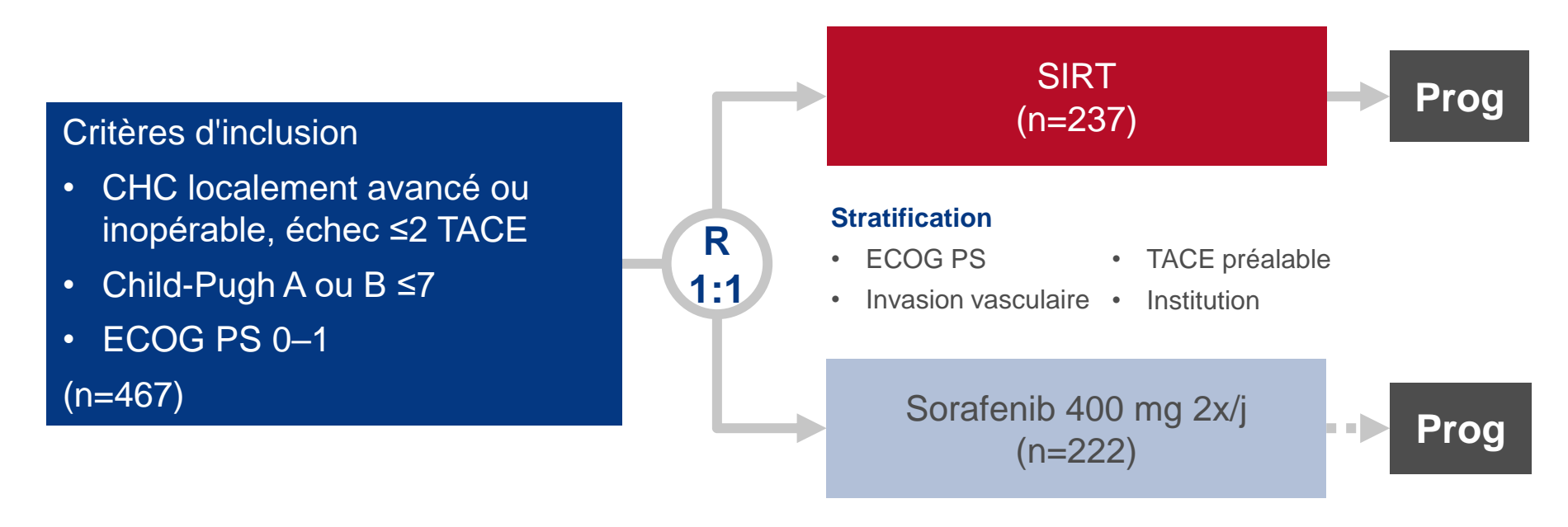
- Chez ces patients avec cholangiocarcinome et gènes de fusion FGFR2, le TAS-120 a démontré une activité clinique
- L'efficacité a été montrée chez des patients qui avaient progressé au cours de traitements précédents par inhibiteur de FGFR
- Le TAS-120 a montré un profil de toxicité acceptable
- Ainsi, le TAS-120 pourrait représenter une option thérapeutique chez les patients qui progressent sous traitement par inhibiteur de FGFR
- D'autres développements cliniques sont en cours évaluant TAS-120 en 1 prise quotidienne, y compris chez des patients avec cholangiocarcinome

Cancers du pancréas, de l'intestin grêle et des voies biliaires

CARCINOME HÉPATOCELLULAIR

Objectif

• Comparer l'efficacité et la tolérance de la SIRT par microsphères de résine chargées à l'yttrium 90 avec celles du sorafenib chez des patients avec CHC intermédiaire ou avancé



CRITÈRE PRINCIPAL

SG

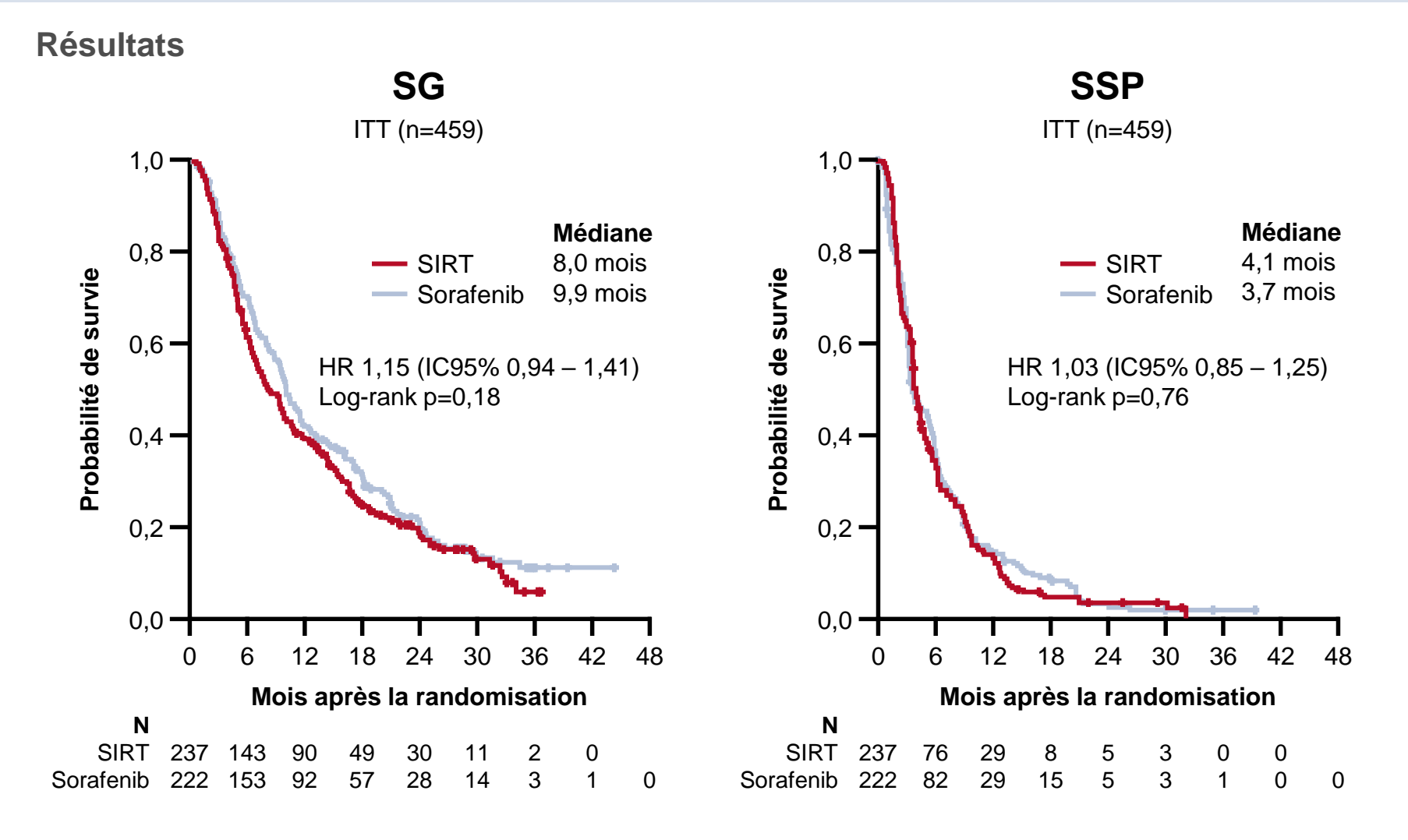
CRITÈRES SECONDAIRES

 SSP, délai jusqu'à progression radiographique, réponse tumorale, tolérance, QoL

TACE, chimioembolisation transartérielle

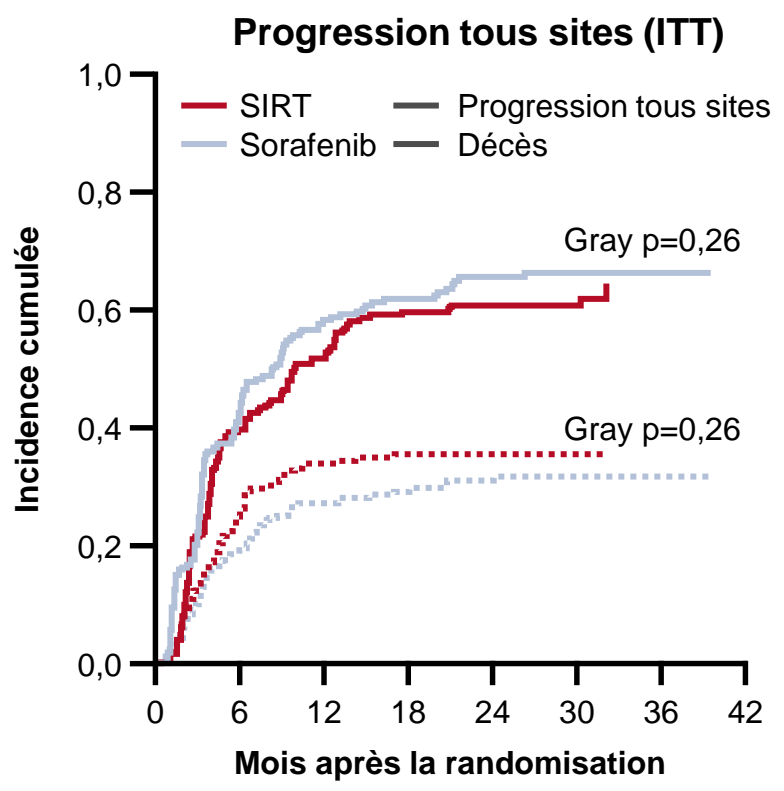
Bouattour M, et al. Ann Oncol 2017; 28 (suppl 3): abstr LBA-001

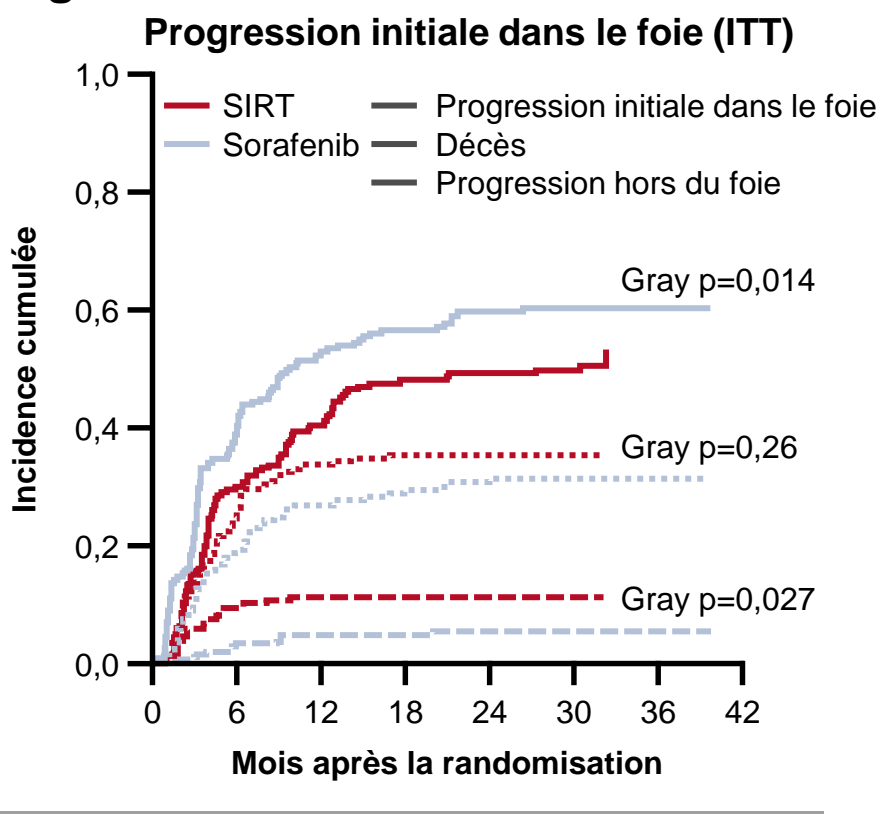
LBA-001: Efficacité, tolérance et impact sur la qualité de vie de la radiothérapie interne sélective par microsphères de résine chargées à l'yttrium 90 ou du sorafenib chez les patients avec carcinome hépatocellulaire localement avancé: l'étude SARAH – Bouattour M, et al



Résultats

Progression radiographique





Réponse tumorale (RECIST 1.1), n (%)	SIRT (n=190)	Sorafenib (n=198)	р
TRG (RC + RP)	36 (19,0)	23 (15,2)	0,042

Résultats

Els d'intérêt dans la	SIRT (n:	=226)	Sorafenib	(n=216)	р	
population de tolérance, n (%)	Tous grades	Grade ≥3	Tous grades	Grade ≥3	Tous grades	Grade ≥3
Fatigue	128 (41,6)	20 (8,8)	268 (64,8)	45 (19,0)	<0,001	0,002
Perte de poids	16 (6,2)	0	63 (21,3)	6 (2,8)	<0,001	0,013
Syndrome main pied	1 (0,4)	1 (0,4)	78 (20,8)	13 (5,6)	<0,001	0,001
Anorexie	34 (13,3)	7 (3,1)	132 (32,4)	11 (4,6)	<0,001	0,40
Diarrhée	37 (12,8)	3 (1,3)	316 (67,6)	37 (13,9)	<0,001	<0,001
Nausées/vomissements	40 (11,5)	1 (0,4)	88 (23,1)	5 (2,3)	0,001	0,11
Douleurs abdominales	65 (20,4)	6 (2,7)	113 (29,2)	16 (6,5)	0,032	0,05
Ulcère gastrointestinal	7 (1,8)	5 (1,3)	1 (0,5)	1 (0,5)	0,37	0,62
Saignement gastrointestinal	12 (4,0)	11 (4,0)	17 (6,5)	10 (3,7)	0,24	0,88
Ascite	39 (12,4)	15 (4,9)	31 (10,6)	11 (4,2)	0,57	0,72
Dysfonction hépatique	75 (17,3)	28 (9,3)	100 (21,8)	34 (12,5)	0,23	0,28
Hépatite radique	0	0	0	0	-	-
Hypertension	7 (2,7)	0	53 (13,0)	5 (2,3)	<0,001	0,027

Résultats

- QoL* avec SIRT vs. sorafenib (ITT, n=459)
 - Effet groupe: p=0,005, effet temps: p<0,001
 - Interaction groupe temps: p=0,045

Conclusions

- La SG n'a pas été améliorée pour la SIRT vs. sorafenib chez les patients avec CHC localement avancé ou inopérable ayant échoué après chimio embolisation transartérielle
- La SIRT a été associée à une amélioration de la réponse tumorale, à une plus faible incidence des évènements indésirables sous traitement et à une meilleure qualité de vie comparativement au sorafenib
- Dans le groupe SIRT, les facteurs pronostiques, le coût efficacité et l'efficacité en fonction de la dose seront évalués ultérieurement

O-008: Efficacité et tolérance du nivolumab chez les patients avec carcinome hépatocellulaire avancé, selon l'âge du patient: une sous-analyse de l'étude CheckMate 040 – Melero I, et al

Objectif

 Evaluer l'efficacité et la tolérance du nivolumab selon la catégorie d'âge chez des patients avec CHC avancé

Critères d'inclusion

- CHC avancé
- Quel que soit le statut PD-L1 ou VHC/VHB

(n=262)

Escalade de dose Nivolumab 0,1–1,0 mg/kg /2S Extension
Nivolumab
3 mg/kg /2S

Prog

Stratification

 Naïfs de sorafénib vs. traitement préalable par sorafénib

CRITÈRES PRINCIPAUX

- Tolérance (escalade de dose)
- TRG (étude d'extension)

Basé sur des données d'abstract uniquement Melero I, et al. Ann Oncol 2017; 28 (suppl 3): abstr O-008

O-008: Efficacité et tolérance du nivolumab chez les patients avec carcinome hépatocellulaire avancé, selon l'âge du patient: une sous-analyse de l'étude CheckMate 040 – Melero I, et al

Résultats

	<65 ans (n=142)	65–<75 ans (n=89)	≥65 ans (n=120)	≥75 ans (n=31)
TRG par revue indépendante centralisée en aveugle, n (%) [IC95%]	24 (16,9) [11,1 – 24,1]	16 (18,0) [10,6 – 27,5]	20 (16,7) [10,5 – 24,6]	4 (12,9) [3,6 – 29,8]
Naïfs de sorafénib, n/N (%)	8/38 (21,1)	8/30 (26,7)	8/42 (19,0)	0/12 (0)
Prétraités par sorafénib, n/N (%)	16/104 (15,4)	8/59 (13,6)	12/78 (15,4)	4/19 (21,1)
TRG selon investigateur, n (%) [IC95%]	28 (19,7) [13,5 – 27,2]	20 (22,5) [14,3 – 32,6]	24 (20,0) [13,3 – 28,3]	4 (12,9) [3,6 – 29,8]
Naïfs de sorafénib, n/N (%)	8/38 (21,1)	10/30 (33,3)	10/42 (23,8)	0/12 (0)
Prétraités par sorafénib, n/N (%)	20/104 (19,2)	10/59 (16,9)	14/78 (17,9)	4/19 (21,1)

Conclusions

- Chez ces patients avec CHC avancé, il est apparu que le TRG sous nivolumab n'était pas affecté par l'âge
- Dans toutes les tranches d'âge, le profil de tolérance du nivolumab était gérable*

Basé sur des données d'abstract uniquement Melero I, et al. Ann Oncol 2017; 28 (suppl 3): abstr O-008

O-009: Analyse actualisée de survie globale de l'étude internationale de phase 3, randomisée contrôlée vs placebo RESORCE de regorafenib chez les patients avec carcinome hépatocellulaire ayant progressé sous traitement par sorafénib – Bruix J, et al

Objectif

• Rapporter les données actualisées de SG de l'étude RESORCE du regorafenib vs. placebo chez les patients avec CHC non résécable ayant progressé sous sorafénib

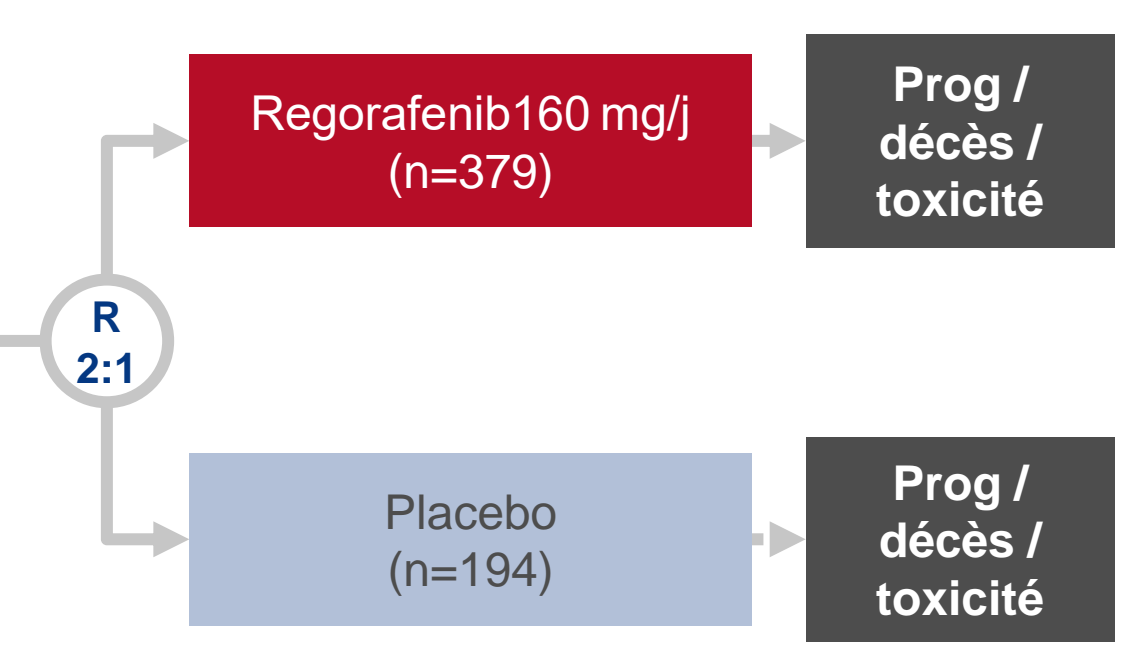
Critères d'inclusion

- CHC stade Barcelona Clinic Liver Cancer B ou C
- Progression radiographique sous sorafénib
- Child–Pugh A
- ECOG PS 0-1

(n=573)

CRITÈRE PRINCIPAL

SG



CRITÈRES SECONDAIRES

 SSP, délai jusqu'à progression, TCM, TRG, tolérance

Basé sur des données d'abstract uniquement Bruix J, et al. Ann Oncol 2017; 28 (suppl 3): abstr O-009 O-009: Analyse actualisée de survie globale de l'étude internationale de phase 3, randomisée contrôlée vs placebo RESORCE de regorafenib chez les patients avec carcinome hépatocellulaire ayant progressé sous traitement par sorafénib – Bruix J, et al

Résultats

	Analyse p	orincipale	Analyse actualisée		
SG	Regorafenib (n=379)	Placebo (n=194)	Regorafenib (n=379)	Placebo (n=194)	
Patients avec évènement, n (%)	233 (61)	140 (72)	290 (77)	169 (87)	
SGm, mois (IC95%)	10,6 (9,1 – 12,1)	7,8 (6,3 – 8,8)	10,7 (9,1 – 12,2)	7,9 (6,4 – 9,0)	
HR (IC95%); p	0,63 (0,50 – 0,79); <0,0001		0,61 (0,50 <0,00		

Conclusion

 Ces données actualisées de SG de l'étude RESORCE confirment celles de l'analyse principale réalisée précédemment et suggèrent que chez les patients avec CHC, le regorafenib est une option thérapeutique efficace pour ceux qui ont progressé sous sorafénib

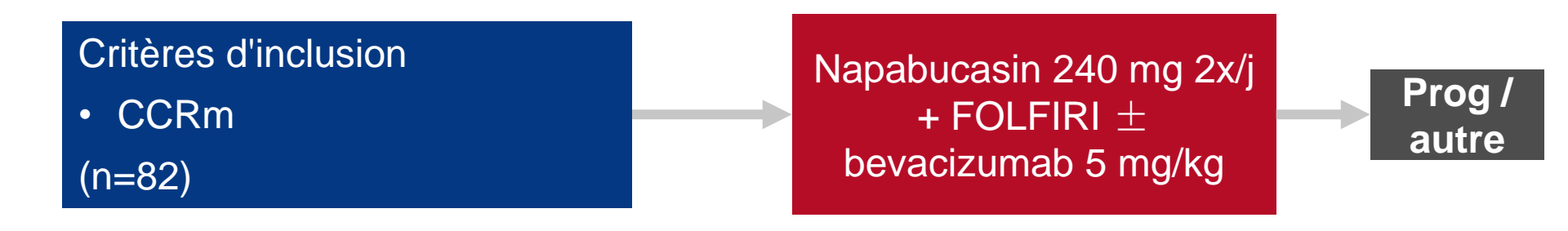
> Basé sur des données d'abstract uniquement Bruix J, et al. Ann Oncol 2017; 28 (suppl 3): abstr O-009

CANCERS DU COLON, DU RECTUM ET DE L'ANUS

LBA-003: Etude de phase 1b/ll de l'inhibiteur de la voie des cellules souches cancéreuses napabucasin en association à FOLFIRI avec ou sans bevacizumab chez les patients avec cancer colorectal métastatique – Bendell J*

Objectif

 Evaluer l'efficacité et la tolérance du napabucasin en association à FOLFIRI ± bevacizumab chez des patients avec CCRm



CRITÈRE PRINCIPAL

 Confirmation de la dose recommandée en phase 2

CRITÈRES SECONDAIRES

• TCM, TRG, tolérance

Présenté par O'Neil BH; Basé sur des données d'abstract uniquement Bendell J, et al. Ann Oncol 2017; 28 (suppl 3): abstr LBA-003 LBA-003: Etude de phase 1b/II de l'inhibiteur de la voie des cellules souches cancéreuses napabucasin en association à FOLFIRI avec ou sans bevacizumab chez les patients avec cancer colorectal métastatique – Bendell J

Résultats

	TCM, n/N (%)		TRG, n/N (%)	
	Evaluable	ITT	Evaluable	ITT
Tous patients	55/66 (83)	55/82 (67)	14/66 (21)	14/82 (17)
≥2 ^e ligne naïfs de FOLFIRI	33/39 (85)	33/50 (66)	8/39 (21)	8/50 (16)
≥2e ligne exposés à FOLFIRI	22/27 (81)	22/32 (69)	6/27 (22)	6/32 (19)
2 ^e ligne, naïfs de FOLFIRI, étude GERCOR [†]	24/59 (41)	24/69 (35)	3/59 (5)	3/69 (4)

- Els grade 3: diarrhée (n=15), fatigue (6), hypokaliémie (2), hyponatrémie (1), hypophosphatémie (1), déshydratation (1), douleurs abdominales (1), vomissements (1) et perte de poids (1)
- El grade 4: diarrhée (n=1)

Conclusion

 L'association napabucasin + FOLFIRI ± bevacizumab a montré des signes prometteurs d'efficacité et un profil de tolérance acceptable chez ces patients avec CCRm prétraité, y compris ceux ayant déjà reçu FOLFIRI ± bevacizumab

> *Présenté par O'Neil BH; Basé sur des données d'abstract uniquement Bendell J, et al. Ann Oncol 2017; 28 (suppl 3): abstr LBA-003

LBA-004: Nouvel anticorps bispécifique anti antigène carcinoembryonnaire et anti cellule T (CEA-TCB): données cliniques préliminaires en monothérapie et en association à l'atézolizumab chez les patients avec cancer colorectal métastatique (CCRm) – Argilés G, et al

Objectif

• Evaluer l'efficacité et la tolérance de CEA-TCB* en monothérapie ou en association avec l'atézolizumab chez des patients avec CCRm dans 2 études de phase 1

Critères d'inclusion

- CCRm ou autre tumeur solide
- ACE positif[†]

(n=125 au total; n=105 CCRm)

Etude 1 CEA-TCB 0,05–600 mg IV/S (n=80 au total; n=70 CCRm) Prog Etude 2 CEA-TCB 5–160 mg IV/S + atézolizumab 1200 mg/3S (n=45 au total; n=35 CCRm)

^{*}Un nouvel anticorps bispécifique ciblant l'ACE sur les cellules tumorales et le CD3 des cellules T; †≥20% des cellules tumorales avec expression ACE modérée ou élevée

LBA-004: Nouvel anticorps bispécifique anti antigène carcinoembryonnaire et anti cellule T (CEA-TCB): données cliniques préliminaires en monothérapie et en association à l'atézolizumab chez les patients avec cancer colorectal métastatique (CCRm) – Argilés G, et al

Résultats

CCRm, n (%)	CEA-TCB (n=31)	CEA-TCB + atézolizumab (n=14)
RP confirmée (RECIST v1,1)	2 (6)	3 (21,5)
MS* dans les tumeurs MSS	4 (13)	4 (29)
RP métabolique à 4–6 semaines†	9 (29)	7 (50)

- Les Els sous traitement de grade ≥3 les plus fréquents avec la monothérapie CEA-TCB étaient les réactions liées à la perfusion (24%) et la diarrhée (7%) avec des toxicités limitant la dose (TLD) observées chez 5 patients
- Il n'y a pas eu de toxicités nouvelles avec CEA-TCB + atézolizumab et 2 patients ont eu des TLD
- Pour la monothérapie CEA-TCB, les biopsies ont démontré une augmentation de 3,6 fois du Ki67 + cellules T CD3 vs. inclusion (p=0,035)

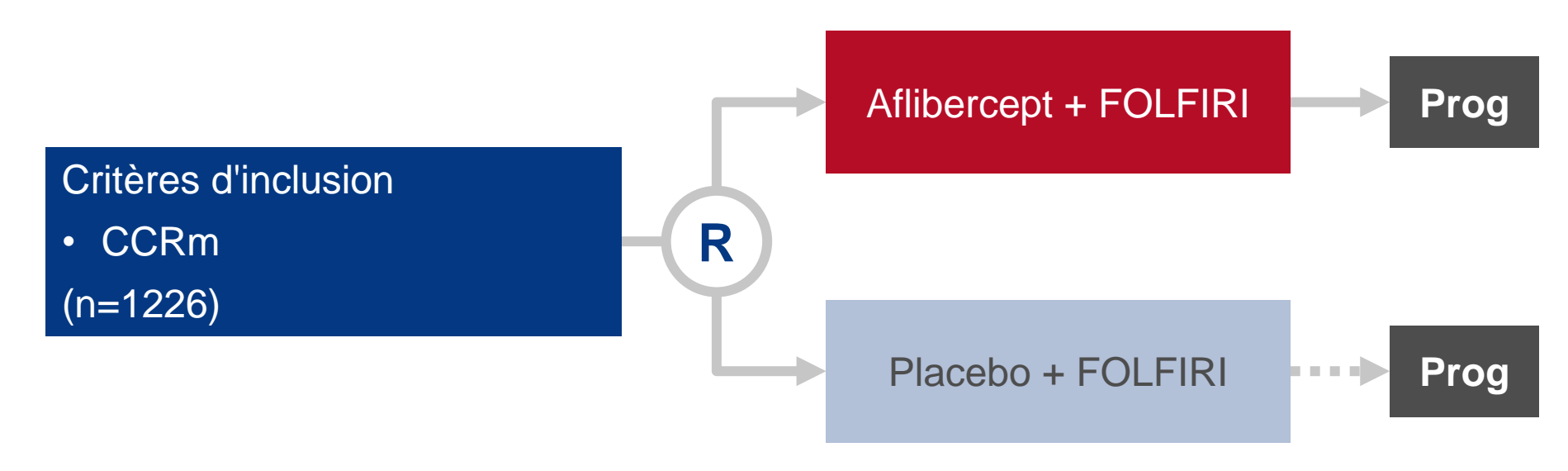
Conclusions

- Chez ces patients avec CCRm, le CEA-TCB en monothérapie a démontré une activité antitumorale pendant la phase d'escalade de dose et l'association CEA-TCB + atézolizumab a montré une activité plus importante et une tolérance gérable
- Les données sur les augmentations des cellules T CD3 intratumorales sous traitement sont cohérentes avec le mécanisme d'action de CEA-TCB et suggèrent qu'il s'agit du premier agent bispécifique ciblant les cellules T et les cellules tumorales avec une activité biologique dans une indication de tumeur solide

LBA-005: Actualisation de l'analyse des biomarqueurs de l'étude VELOUR: Impact de RAS, BRAF, et localisation tumorale sur l'activité de l'aflibercept – Wirapati P*, et al

Objectif

 Evaluer l'efficacité selon le statut RAS/BRAF et le côté de la tumeur chez des patients avec CCRm recevant FOLFIRI en association avec aflibercept ou placebo



- 666 patients avaient des échantillons de tissu disponibles
- Les échantillons ont été évalués pour les mutations somatiques par séquençage de haut débit ciblant les gènes RAS et BRAF étendus (n=482)
- La latéralisation de la tumeur a été identifiée par le compte rendu anatomopathologique

*Présenté par Tejpar S; Basé sur des données d'abstract uniquement Wirapati P, et al. Ann Oncol 2017; 28 (suppl 3): abstr LBA-005

LBA-005: Actualisation de l'analyse des biomarqueurs de l'étude VELOUR: Impact de RAS, BRAF, et localisation tumorale sur l'activité de l'aflibercept – Wirapati P*, et al

Résultats

- Pour les 482 patients avec données disponibles, la SG était toujours significativement plus courte avec l'aflibercept vs. placebo: HR 0,80 (IC95% 0,65 – 0,99)
- Les résultats étaient similaires dans la population ITT (n=1226): HR 0,82 (IC95% 0,71 0,93)

Mutation	Statut	n	SGm, mois Aflibercept + FOLFIRI	SGm, mois Placebo + FOLFIRI	HR (IC95%)	Interaction – ratio de HR (IC95%); p
KRASex2	WT	281	11,6	14,9	0,74 (0,56 - 0,99)	1,21 (0,79 – 1,86);
	MUT	201	10,6	12,6	0,90 (0,65 – 1,24)	0,38
ExtRAS	WT	218	11,7	16,0	0,70 (0,50 - 0,97)	1,39 (0,90 – 2,13);
	MUT	264	11,2	12,6	0,93 (0,70 – 1,23)	0,13
BRAF	WT	446	12,4	13,0	0,84 (0,67 – 1,05)	0,49 (0,22 – 1,09);
	MUT	36	5,5	10,3	0,42 (0,16 – 1,09)	0,08

Conclusions

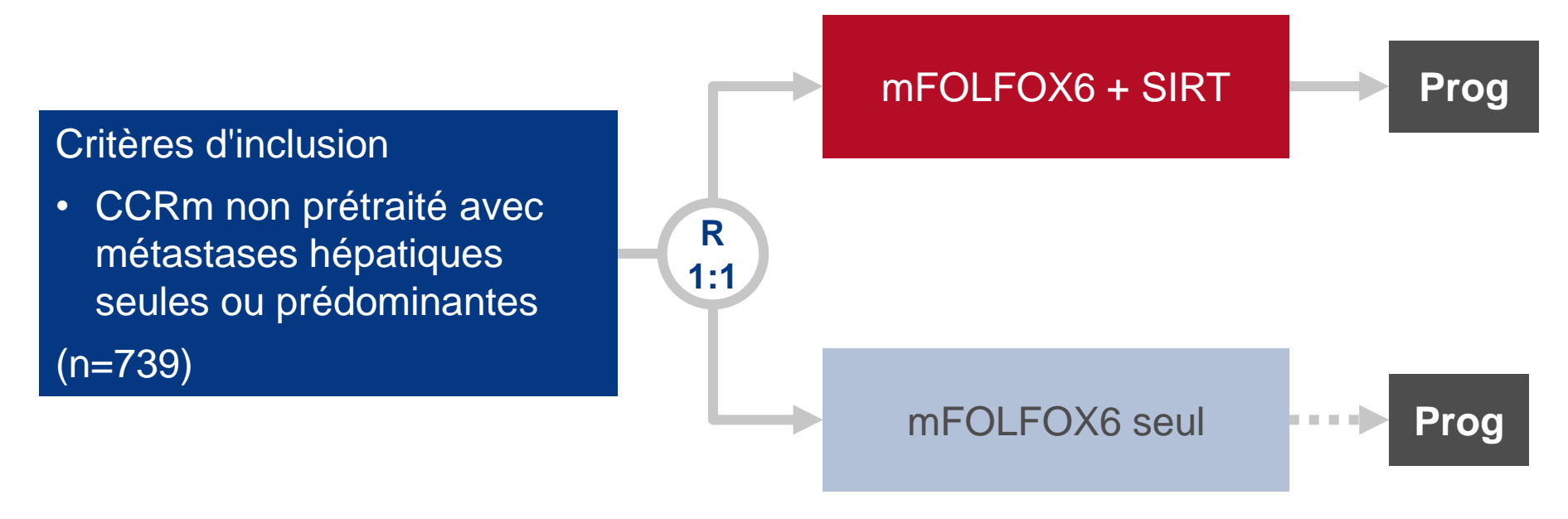
- Il n'y avait pas d'interactions significatives pour aucun des sous-groupes définis par les mutations, bien que les ratios des HR pour le traitement semblent en faveur de RAS sauvage
- Des résultats similaires ont été observés dans d'autres essais sur bevacizumab et ramucirumab

*Présenté par Tejpar S; Basé sur des données d'abstract uniquement Wirapati P, et al. Ann Oncol 2017; 28 (suppl 3): abstr LBA-005

LBA-006: Impact de la localisation de la tumeur primitive sur la survie chez les patients avec cancer colorectal métastatique recevant une radiothérapie interne sélective (SIRT) et une chimiothérapie en traitement de 1^e ligne – van Hazel G, et al

Objectif

• Evaluer l'efficacité et la tolérance d'un traitement de 1 $^{\rm e}$ ligne par mFOLFOX6 \pm SIRT selon la localisation de la tumeur primitive chez des patients avec CCRm, à partir des données de 2 études cliniques*



CRITÈRES PRINCIPAUX

SSP, SG

CRITÈRES SECONDAIRES

Tolérance

Basé sur des données d'abstract uniquement van Hazel G, et al. Ann Oncol 2017; 28 (suppl 3): abstr LBA-006

LBA-006: Impact de la localisation de la tumeur primitive sur la survie chez les patients avec cancer colorectal métastatique recevant une radiothérapie interne sélective (SIRT) et une chimiothérapie en traitement de 1^e ligne – van Hazel G, et al

Résultats

	n	mFOLFOX6 + SIRT	mFOLFOX6 seul	HR (IC95%); p
SSPm, mois				
Total	739	11,1	10,6	ND (ND – ND); 0,22
Primitif côté droit	179	10,8	8,7	0,73 (0,53 – 1,01); 0,053
Primitif côté gauche	540	11,4	10,8	0,93 (0,78 – 1,11); 0,426
SGm, mois				
Total	739	24,3	24,6	ND (ND – ND); 0,84
Primitif côté droit	179	22,0	17,1	0,64 (0,46 – 0,89); 0,007
Primitif côté gauche	540	24,6	25,6	1,12 (0,92 – 1,36); 0,279

 L'incidence des Els de grade ≥3 n'était pas différente pour les tumeurs droites vs. gauches (p>0,05)

Conclusions

- Chez ces patients avec CCRm, le traitement de 1^e ligne par mFOLFOX6 + SIRT a permis des améliorations significatives de la SG pour les patients avec des tumeurs primitives du côté droit mais pas du côté gauche
- La cohorte de l'étude FOXFIRE sera utilisée pour valider ces données

Basé sur des données d'abstract uniquement van Hazel G, et al. Ann Oncol 2017; 28 (suppl 3): abstr LBA-006

O-011: Les réarrangements de RET définissent un nouveau sous-type moléculaire rare de cancer colorectal métastatique (CCRm) – Pietrantonio F, et al

Objectif

 Identifier et caractériser les fusions de RET dans le CCRm et étudier leur impact pronostique

Critères d'inclusion

- Maladie métastatique
- Fusion de RET confirmée par séquençage de l'ARN/NGS (prédépistage par IHC/FISH insuffisant)

Sources des données	Partenaires de fusion de RET		
Etude de phase 1/1b du	NCOA4-RET (n=1)		
programme de dépistage Ignyta RXDX-105, NCT01877811	CCDC6-RET (n=1) Retrieval ongoing		
Collaboration Italie et Corée pour	NCOA4-RET (n=4)		
dépistage	CCDC6-RET (n=1)		
	NCOA4-RET (n=7)		
Base de données cliniques de la Foundation Medicine	CCDC6-RET (n=6)		
	TRIM24-RET (n=2)		
	TNIP1-RET (n=1)		

CCRm avec réarrangement

RET

(n=22)

NCOA4-RET (n=12)

CCDC6-RET (n=7)

TRIM24-RET (n=2)

TNIP1-RET (n=1)

vs. cas non réarrangés diagnostiqués dans 3 centres de référence à Milan, Pise et Séoul

CCRm RET négatif (n=236)

O-011: Les réarrangements de RET définissent un nouveau sous-type moléculaire rare de cancer colorectal métastatique (CCRm) – Pietrantonio F, et al

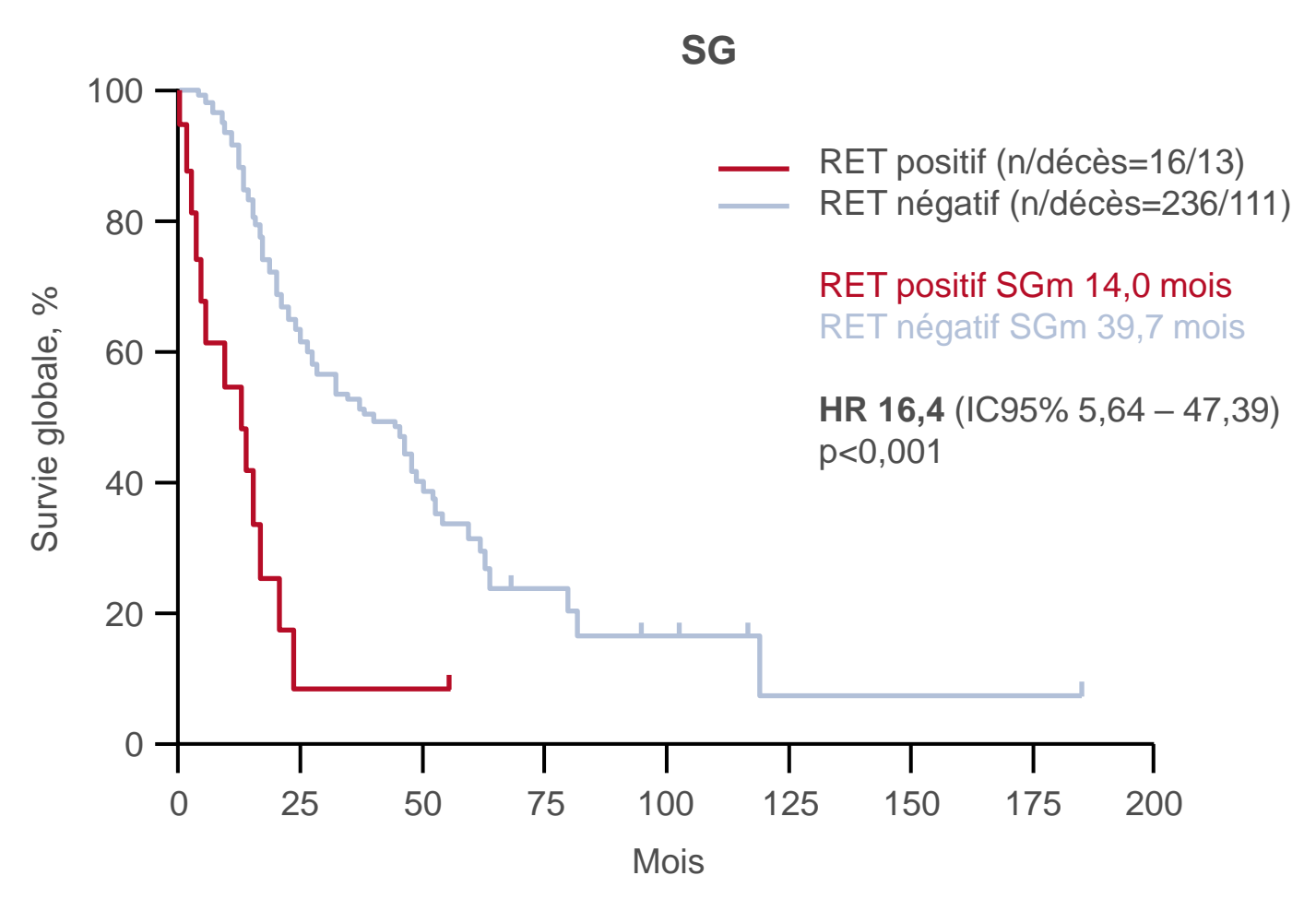
Résultats

Caractéristique		<i>RET</i> réarrangé (n=22), n (%)	<i>RET</i> négatif (n=236), n (%)	р
Sexe	Femme Homme	13 (59) 9 (41)	101 (43) 135 (57)	0,141
Age, années	Médian (range)	66 (25–80)	60 (17–88)	0,027
Localisation tumeur primitive	Colon droit Colon gauche Rectum ND	10 (56) 8 (44) 0 (0) 4	77 (33) 97 (41) 60 (26)	0,028
Tumeur primitive réséquée	Oui Non	8 (36) 14 (64)	181 (77) 55 (23)	<0,001
Métastases	Synchrones Métachrones	19 (86) 3 (14)	161 (68) 75 (32)	0,076
Statut RAS et BRAF	Sauvages RAS muté BRAF muté ND	22 (100) 0 (0) 0 (0) -	53 (26) 127 (62) 26 (13) 30	<0,001
Statut MSI	MSS MSI-high ND	12 (57) 9 (43) 1	157 (92) 14 (8) 65	<0,001

Pietrantonio F, et al. Ann Oncol 2017; 28 (suppl 3): abstr O-011

O-011: Les réarrangements de RET définissent un nouveau sous-type moléculaire rare de cancer colorectal métastatique (CCRm) – Pietrantonio F, et al

Résultats



O-011: Les réarrangements de RET définissent un nouveau sous-type moléculaire rare de cancer colorectal métastatique (CCRm) – Pietrantonio F, et al

Résultats

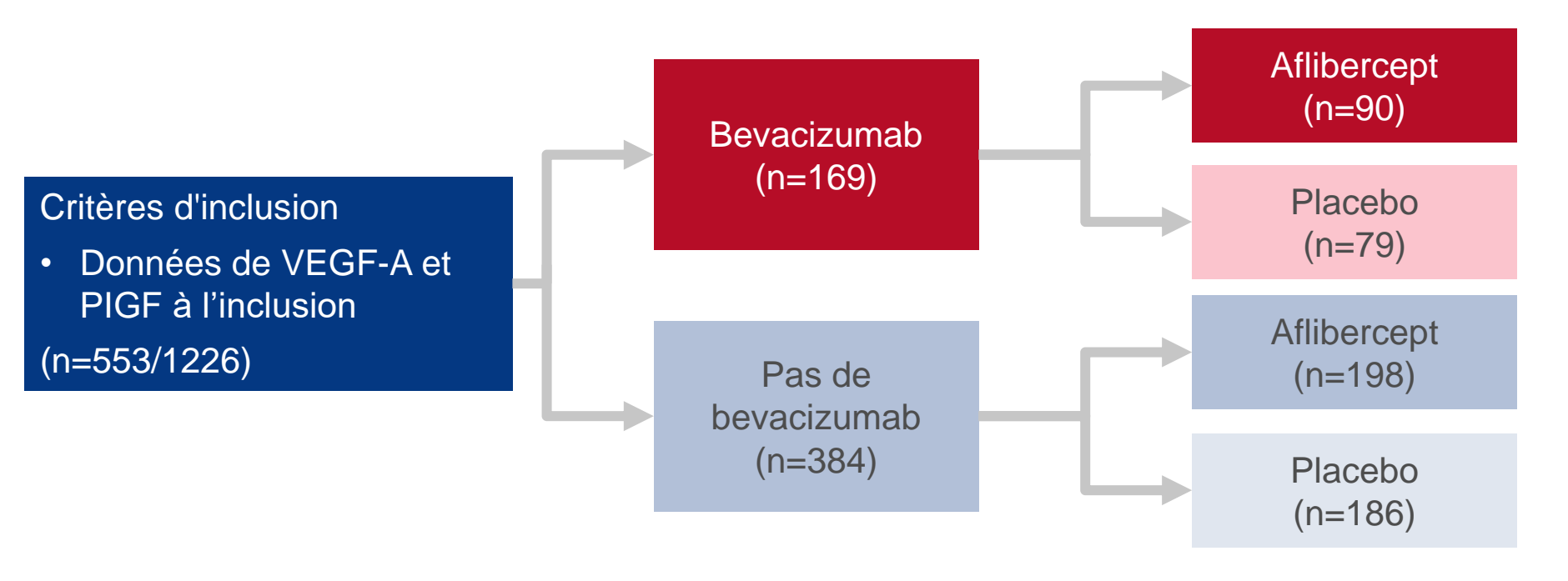
Caractéristiques		Médiane, mois	n	Analyse univariée		Modèle multivarié			
				HR	IC95%	р	HR	IC95%	р
Statut RET	Négatif Réarrangé	39,7 14,0	236 16	1 16,35	- 5,64 - 47,39	- <0,001	1 3,69	- 1,62 - 8,44	- 0,002
Localisation tumeur primitive	Colon gauche / rectum Colon droit	46,9 27,4	163 83	1 1,57	- 1,11 - 2,48	– 0,015	1 1,54	- 0,96 - 2,47	- 0,076
Age, années	<65 >65	36,2 29,1	170 82	1 1,24	- 0,84 - 1,89	- 0,269	- -	-	- -
Résection du primitif	Oui Non	45,7 20,2	186 66	1 1,95	- 1,45 – 3,68	- <0,001	1 1,76	- 1,04 - 2,96	- 0,036
Métastases	Métachrones Synchrones	49,5 27,4	76 176	1 1,39	- 0,93 - 1,99	– 0,119	-	- -	-
Statut RAS et BRAF	Sauvages RAS muté BRAF muté	30,5 45,7 18,0	76 127 26	1 0,74 1,45	- 0,49 - 1,09 0,83 - 2,78	- 0,026	1 0,77 1,57	- 0,48 - 1,22 0,84 - 2,90	- - 0,447
Statut MMR	Proficient Déficient	45,7 20,0	165 21	1 1,73	- 0,97 – 4,18	– 0,061	1 1,29	- 0,62 - 2,66	- 0,498

O-011: Les réarrangements de RET définissent un nouveau sous-type moléculaire rare de cancer colorectal métastatique (CCRm) – Pietrantonio F, et al

- Les fusions de *RET* sont apparues plus fréquentes chez les femmes les plus âgées avec des tumeurs du colon droit, *RAS* et *BRAF* sauvages
- Le statut MSI-high était plus fréquent qu'attendu dans le CCRm avec fusion de RET
- Les fusions de *RET* ont montré un impact négatif sur le pronostic; en effet elles sont indépendamment associées à une survie significativement plus courte en analyse uni et multivariée
- Les fusions de *RET* pourraient représenter une cible pour le développement de traitements personnalisés

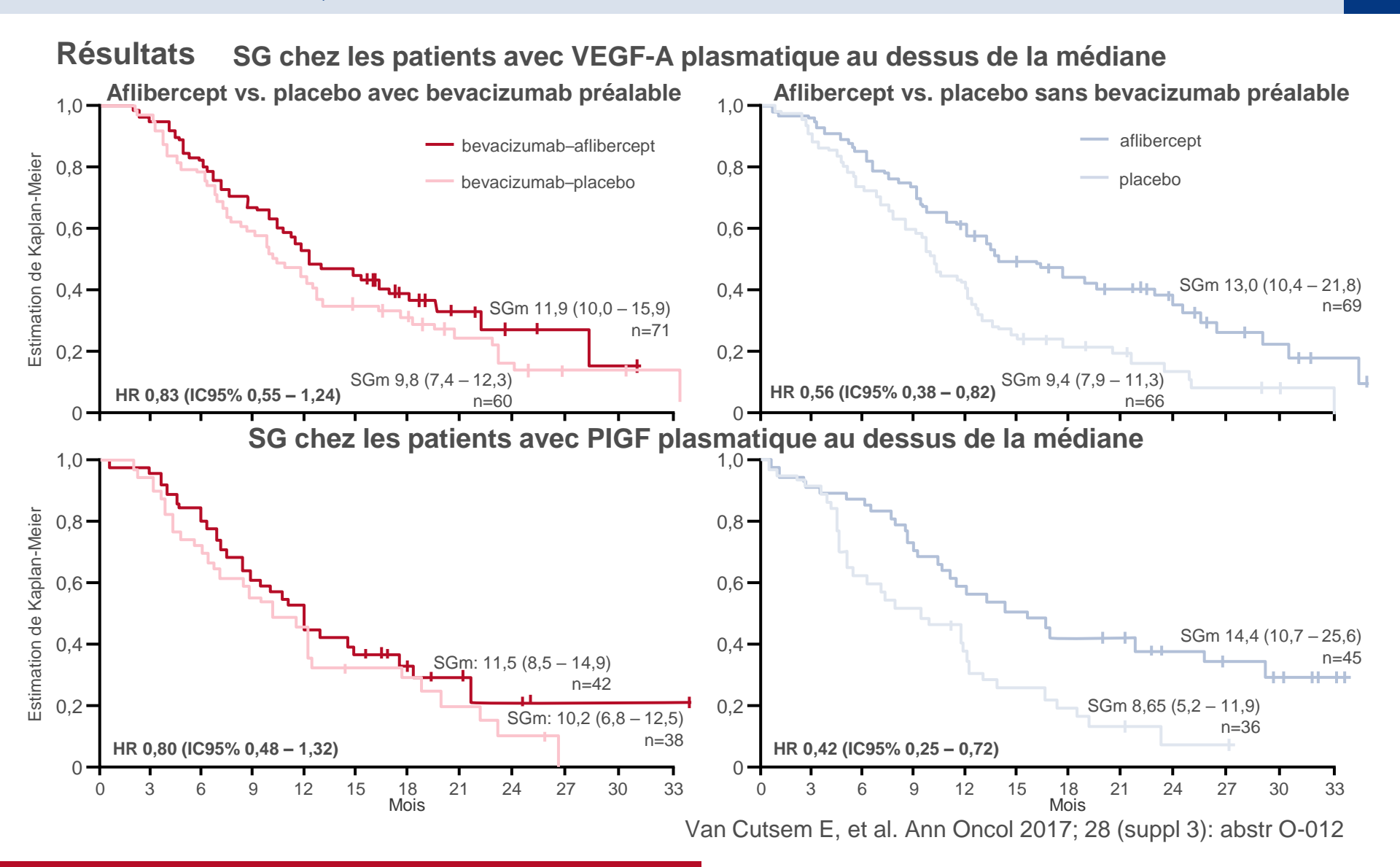
Objectif

 Evaluer de façon rétrospective les taux de facteurs de croissance et les résultats cliniques de l'aflibercept avec ou sans bevacizumab préalable chez des patients avec CCRm dans l'étude VELOUR



Résultats

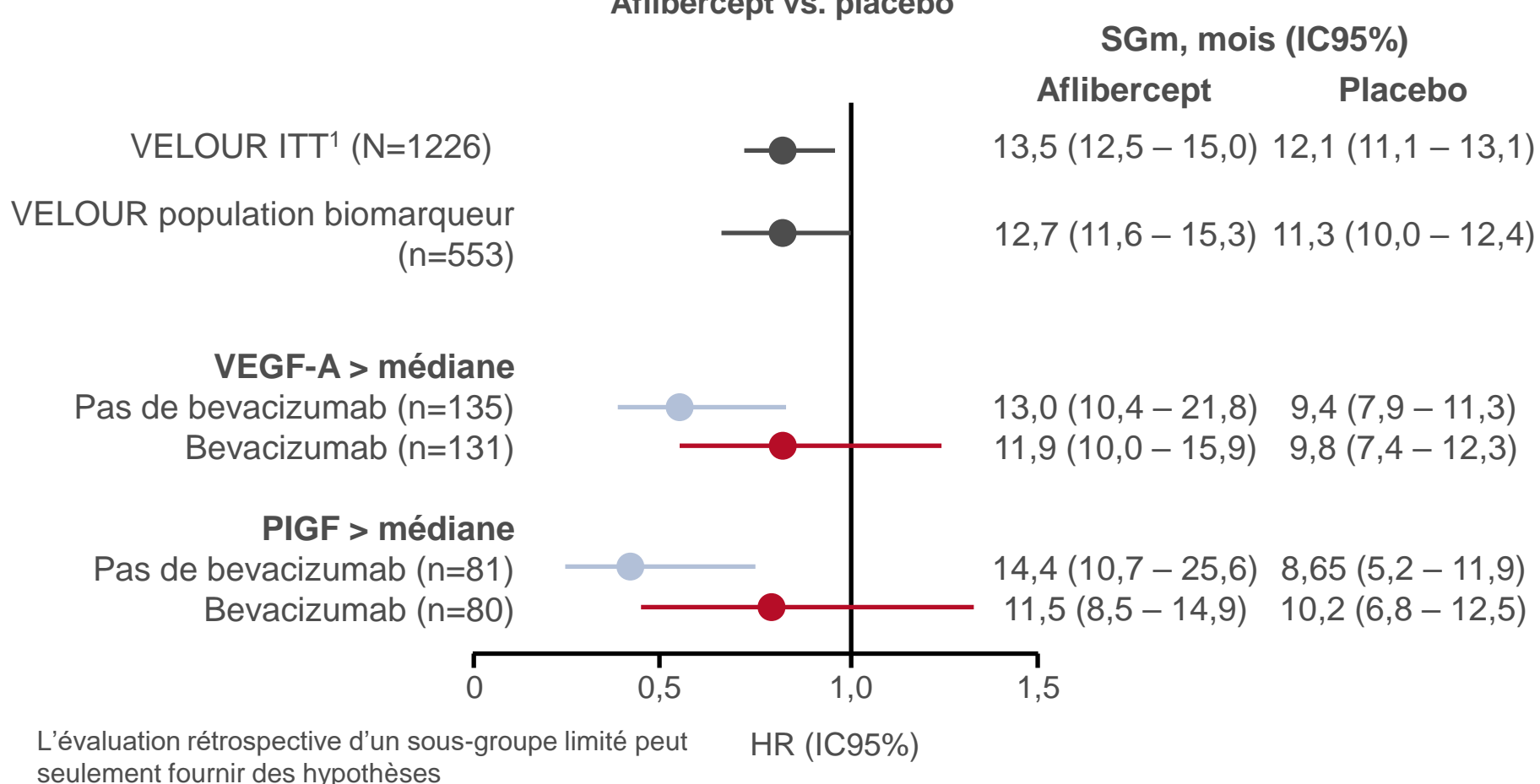
		VEGF-A PIGF	SSPm,	SGm,	Aflibercept vs. placebo		
		moyen, pg/mL	moyen, pg/mL	mois (IC95%)	mois (IC95%)	Différence de SG, mois	HR (IC95%)
Bevacizumab préalable (n=169)	Aflibercept (n=90)	762,6	23,1	7,2 (5,7 – 8,6)	12,1 (10,0 – 16,4)	1,5	0,84 (0,59 – 1,19)
	Placebo (n=79)	753,1	20,7	3,9 (3,0 – 4,4)	10,6 (9,1 – 12,5)		
Pas de bevacizumab préalable (n=384)	Aflibercept (n=198)	148,9	12,0	6,8 (6,0 – 7,5)	12,9 (11,9 – 15,7)	1,5	0,80 (0,63 – 1,01)
	Placebo (n=186)	165,4	11,4	4,9 (4,2 – 5,7)	11,4 (9,9 – 12,7)		



Résultats

¹Van Cutsem E, et al. *J Clin Oncol* 2012;30:3499–506.

SG chez les patients avec VEGF-A ou PIGF supérieur à la médiane Aflibercept vs. placebo



Van Cutsem E, et al. Ann Oncol 2017; 28 (suppl 3): abstr O-012

- Des taux augmentés de cytokines, notamment VEGF-A et PIGF, ont été observés en cas de traitement préalable par bevacizumab en 1^e ligne
- L'aflibercept cible à la fois VEGF-A et PIGF, et agit sur VEGFR1 et VEGFR2 avec une affinité plus élevée que celle du bevacizumab, ce qui peut permettre de surmonter une résistance induite par le bevacizumab
- Le traitement par aflibercept + FOLFIRI s'est montré efficace et n'a pas été affecté par
 - Un traitement préalable par bevacizumab
 - Les taux de VEGF-A ou de PIGF (les taux élevés chez les patients naïfs de bevacizumab pourraient suggérer une activité relativement plus importante)
- Des études ultérieures sont nécessaires pour déterminer le rôle possible de l'aflibercept chez les patients ayant une résistance au bevacizumab

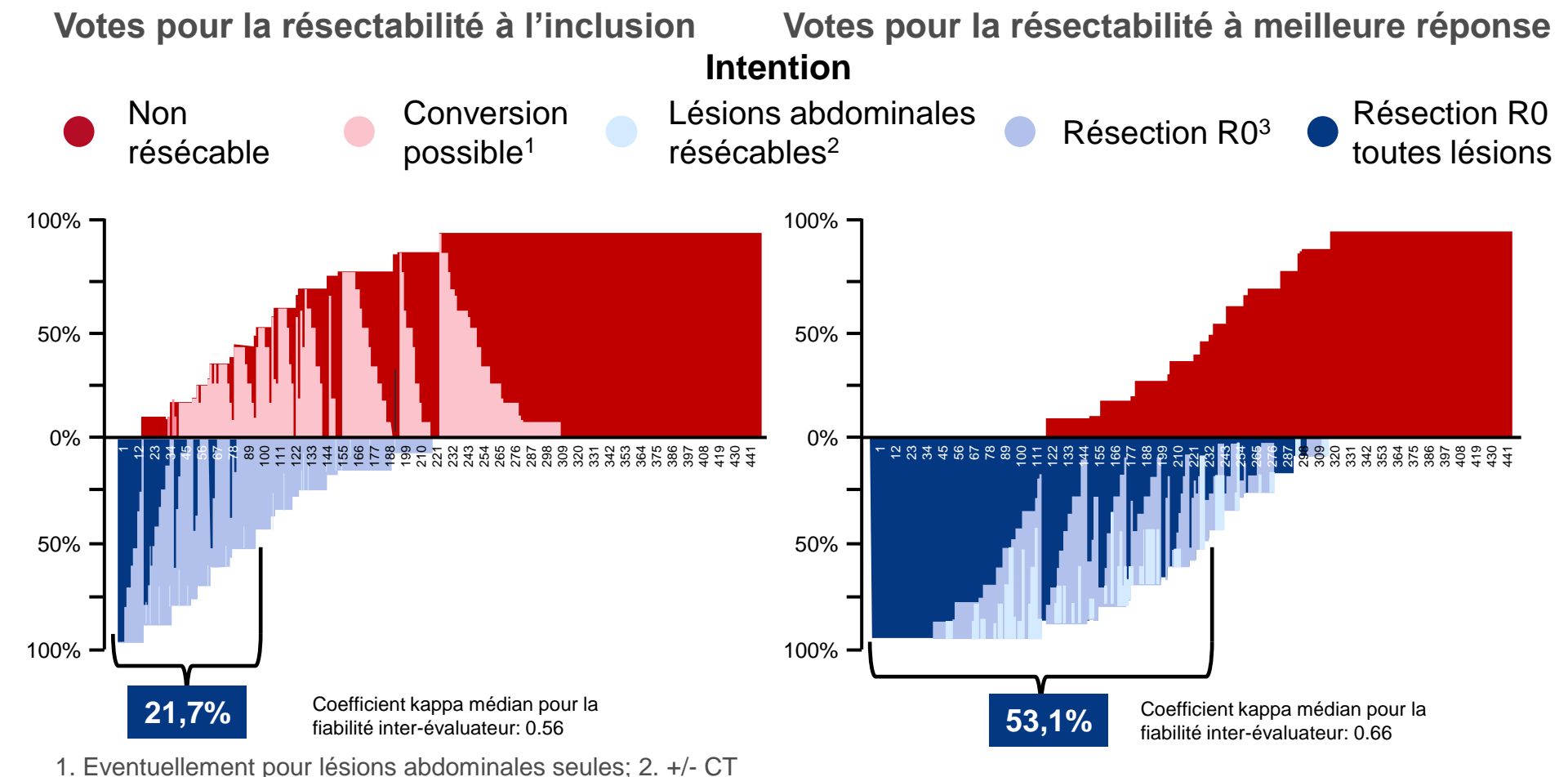
Objectif

 Déterminer le nombre de patients avec CCRm qui présentent une maladie résécable au cours de la 1^e ligne de traitement systémique et corréler ce paramètre avec le résultat

Méthodes

- Population FIRE-3
 - CCRm
 - Incluant KRAS/RAS sauvages et mutés
 - Traitement par FOLFIRI + cetuximab ou FOLFIRI + bevacizumab
- Revue de la population basée sur
 - Collecte de tomographies numérisées couplées (n=537)
 - Scanners couplés transformables au format DICOM (n=488)
 - Scanners permettant une évaluation adéquate des lésions (n=448 inclus dans le projet)
- Analyse
 - Imagerie à l'inclusion vs. meilleure réponse évaluée de façon couplée par 8 chirurgiens et 3 oncologues médicaux
 - Définition de la résectablilité: ≥50% de votes pour la résectabilité

Résultats



périopératoire à l'inclusion et +/- traitement locorégional à meilleure

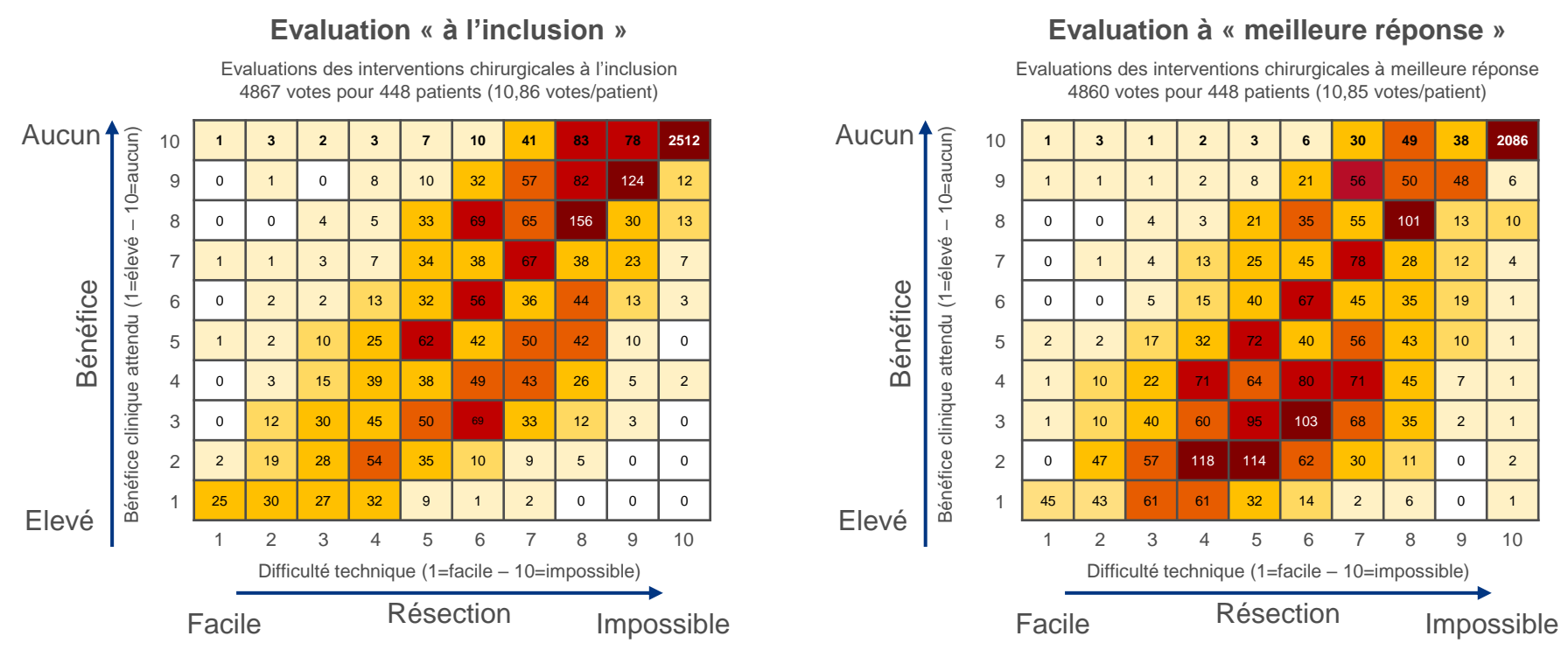
réponse; 3. avec CT périopératoire à l'inclusion et traitement

locorégional de toutes les lésions

Modest DP, et al. Ann Oncol 2017; 28 (suppl 3): abstr O-029

Résultats

Chaque nombre représente le nombre de combinaisons de vote distinctes pour 1 évaluateur concernant 1 patient

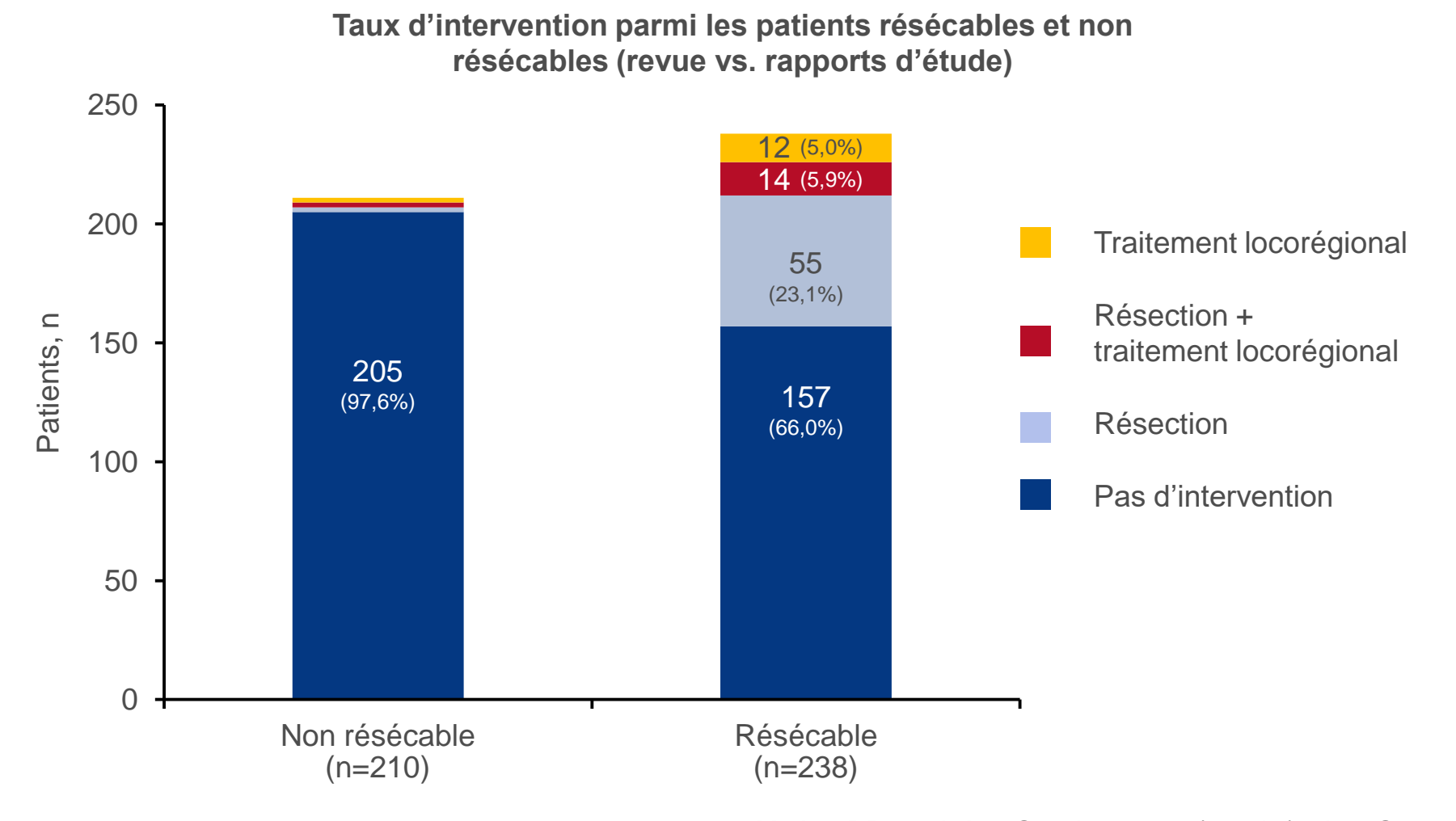


La localisation dans le graphique était dérivée de deux scores:

- Quelle difficulté attendue d'une résection potentielle? 1=facile, 10=impossible
- 2. Quel bénéfice clinique attendu de la résection? 1=élevé, 10=aucun

O-029: Evaluation centralisée des options de traitement chirurgical dans l'étude FIRE-3 – résultats actualisés et impact sur la survie globale – Modest DP, et al

Résultats

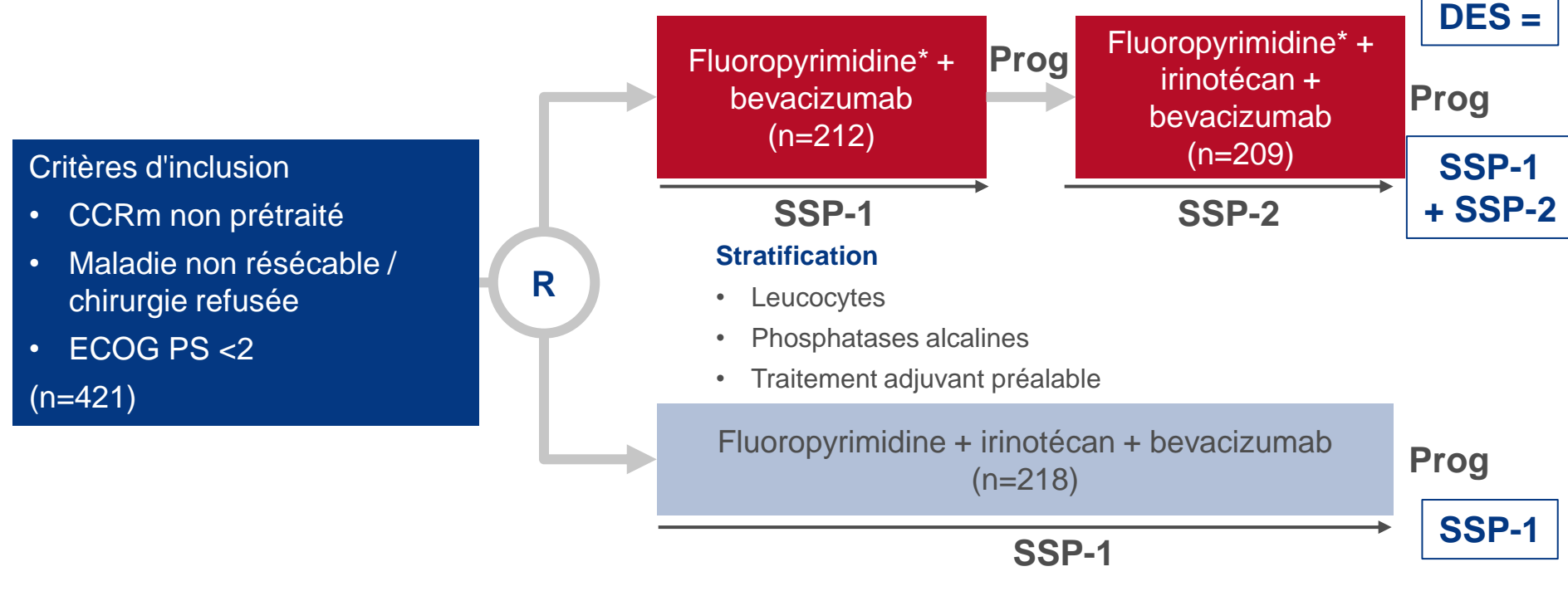


Modest DP, et al. Ann Oncol 2017; 28 (suppl 3): abstr O-029

- La résectabilité a augmenté de 22% à l'inclusion à 53% à meilleure réponse
- Les résections potentielles ont été considérées comme "plus faciles" avec un "plus grand" bénéfice potentiel à meilleure réponse par rapport à l'évaluation faite à l'inclusion
- Seulement un tiers environ des patients identifiés comme résécables à meilleure réponse ont réellement été opérés
- Ces données suggèrent que la résection des métastases devrait avoir été envisagée pour environ un patient sur deux après traitement d'une maladie résécable
- Ceci suggère qu'il pourrait y avoir des problèmes d'accès à la chirurgie et souligne le besoin d'une évaluation soigneuse des patients

Objectif

 Etude de non infériorité évaluant l'administration séquentielle de fluoropyrimidine + bevacizumab suivi de irinotécan + fluoropyrimidine + bevacizumab



CRITÈRE PRINCIPAL

Délai jusqu'à échec de la stratégie (DES)

*Limité à la capécitabine de 2010 à 2013; au choix de l'investigateur de 2013 à 2016

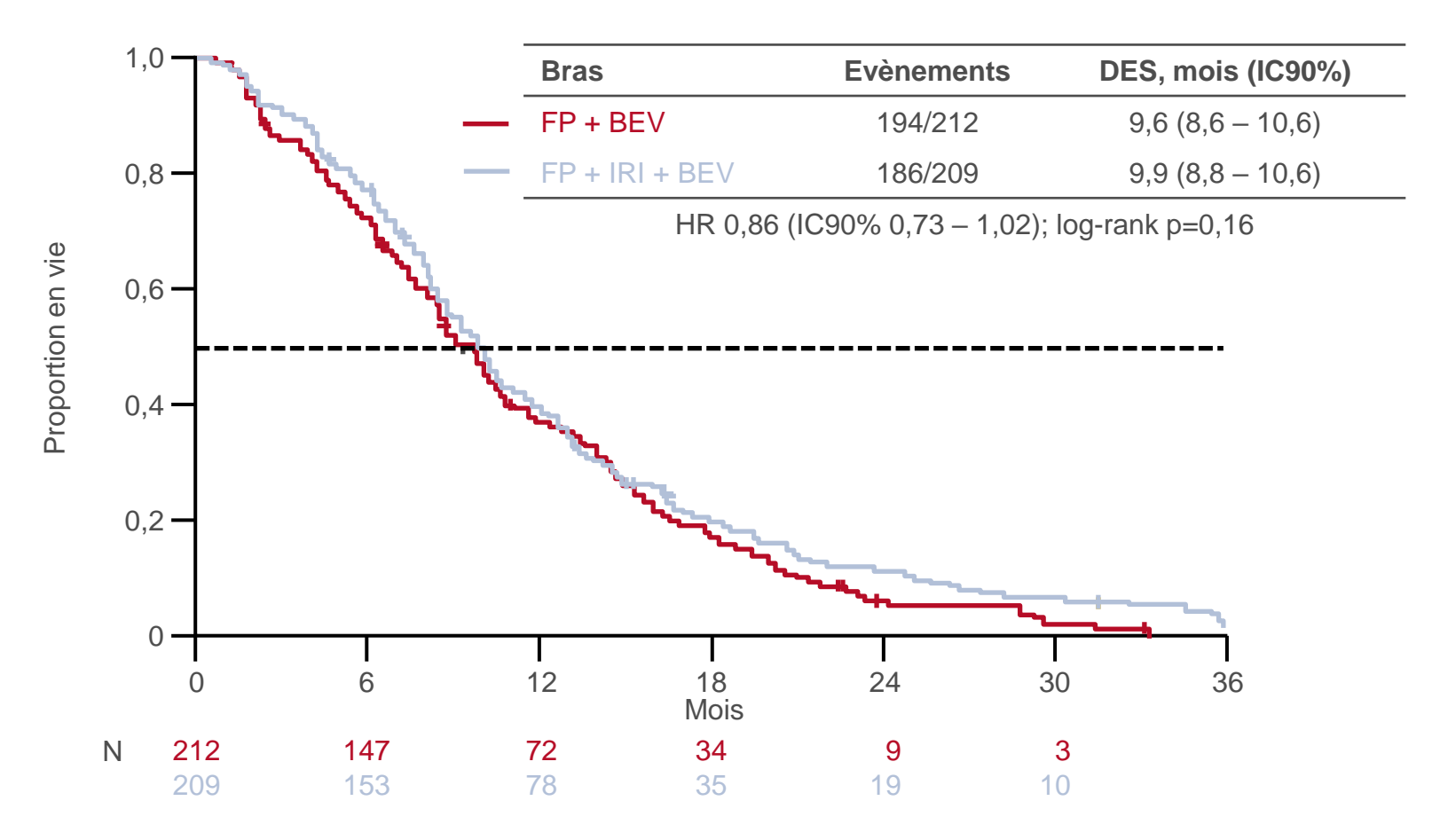
CRITÈRES SECONDAIRES

TRO, SSP-1, SG, QoL, tolérance

Modest D, et al. Ann Oncol 2017; 28 (suppl 3): abstr O-026

Résultats

Délai jusqu'à échec de la stratégie



Modest D, et al. Ann Oncol 2017; 28 (suppl 3): abstr O-026

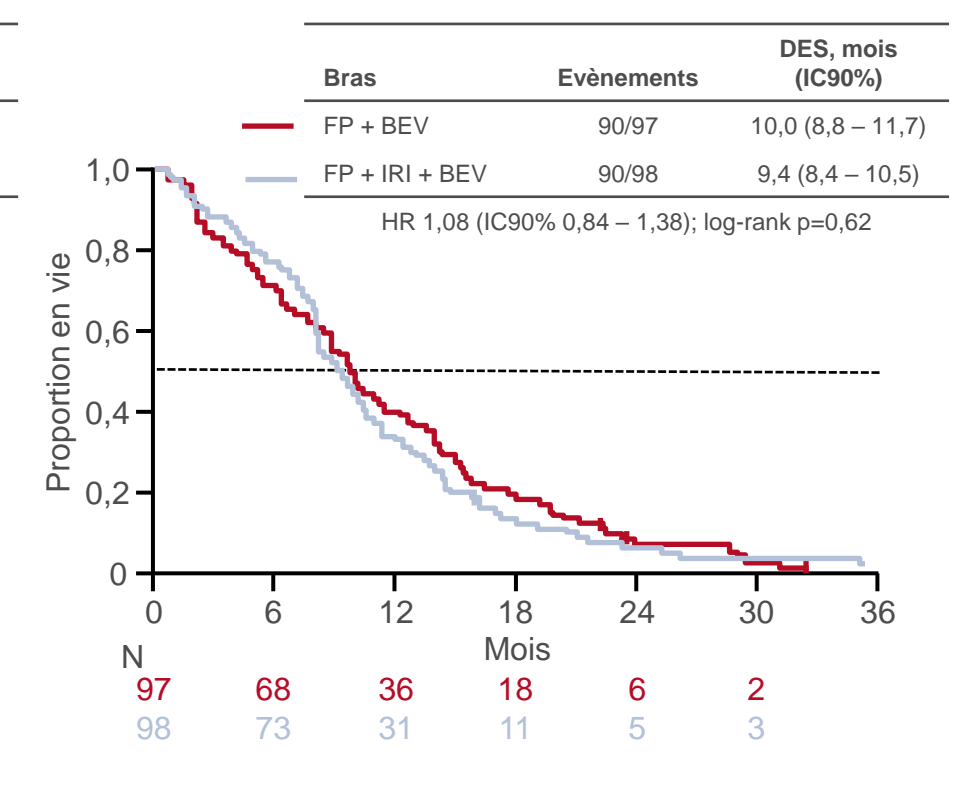
Résultats

Délai jusqu'à échec de la stratégie (sous-groupes)

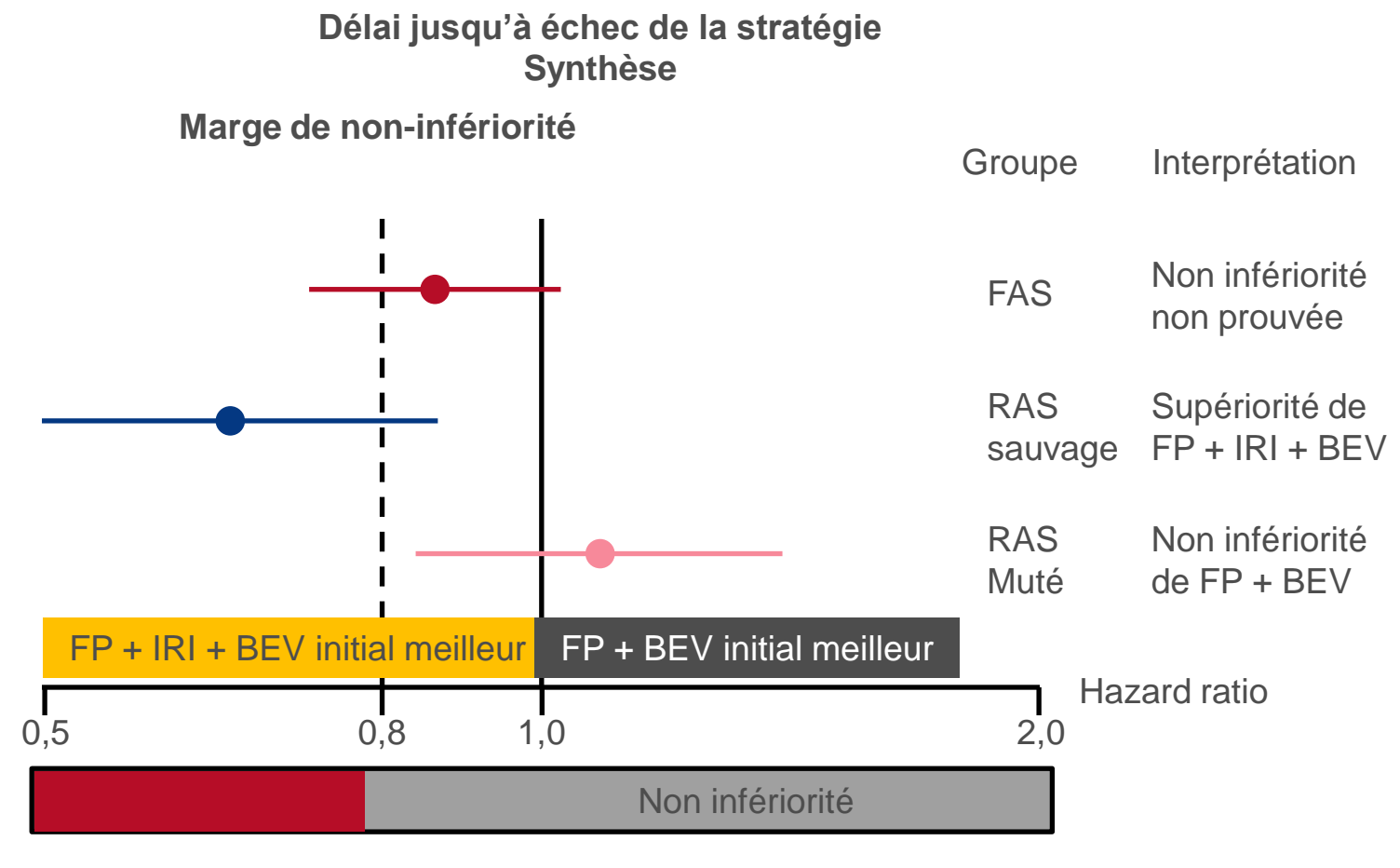
Tumeurs RAS sauvages

DES, mois **Bras** Evènements (IC90%) FP + BEV 83/91 8,6(7,6-10,6)FP + IRI + BEV 76/88 11.8 (10.1 - 13.0)HR 0,65 (IC90% 0,50 - 0,86); log-rank p=0,01 0,8 Proportion en vie 0,6 0,4 0,2 0 -12 18 24 36 6 30 0 Mois Ν 91 60 28 13 2 0 88 68 40 20 11 5

Tumeurs RAS mutées



Résultats



Test d'interaction du modèle de Cox bras de traitement*statut RAS: p=0,03

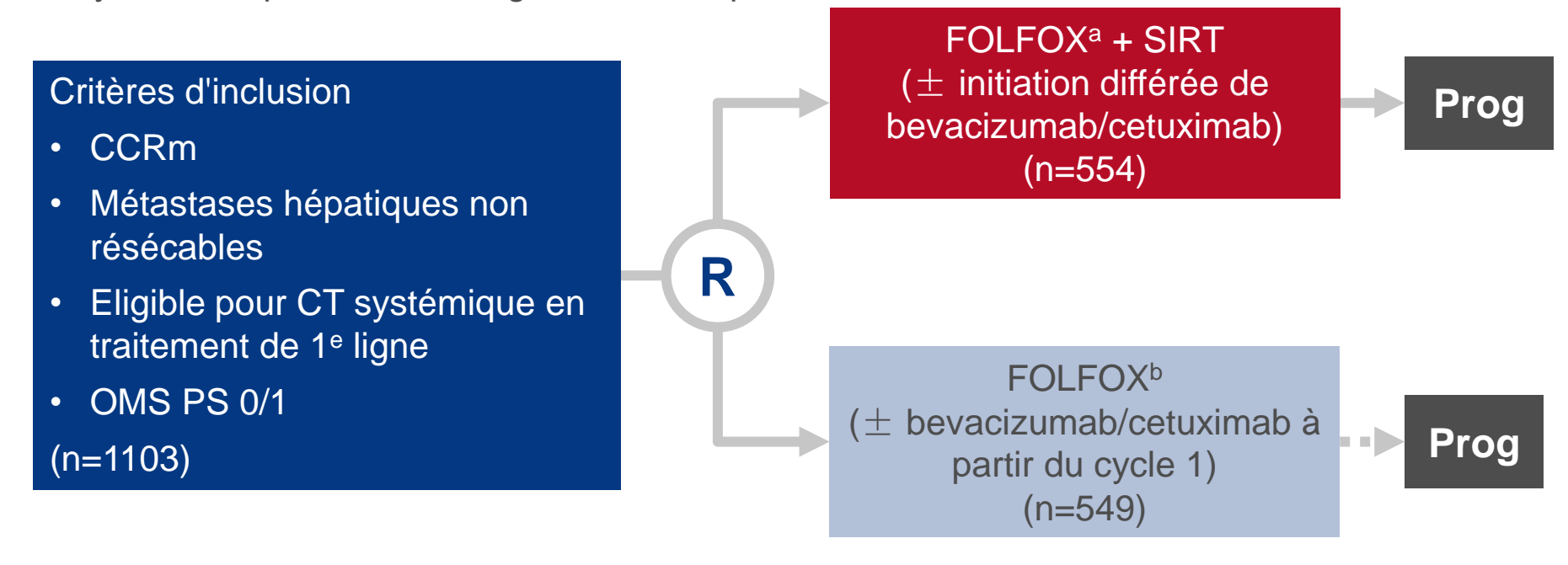
FAS: full analysis set

Modest D, et al. Ann Oncol 2017; 28 (suppl 3): abstr O-026

- Le critère principal (DES) n'a pas été atteint si bien que la non infériorité d'une séquence débutant par fluoropyrimidine + bevacizumab n'a pas été démontrée par rapport à fluoropyrimidine + irinotécan + bevacizumab d'emblée
- Les patients avec CCRm RAS sauvage ont bénéficié d'un traitement initial plus intensif (fluoropyrimidine + irinotécan + bevacizumab)
- Le schéma de 1^e ligne plus intensif n'a pas montré d'amélioration substantielle chez les patients avec CCRm RAS muté; chez ces patients, un traitement séquentiel débutant par fluoropyrimidine + bevacizumab pourrait être plus adapté

Objectif

• Evaluer l'efficacité et la tolérance de la SIRT par microsphères de résine chargées à l'yttrium-90 plus CT de 1^e ligne chez des patients avec CCRm non résécable



CRITÈRE PRINCIPAL

SG

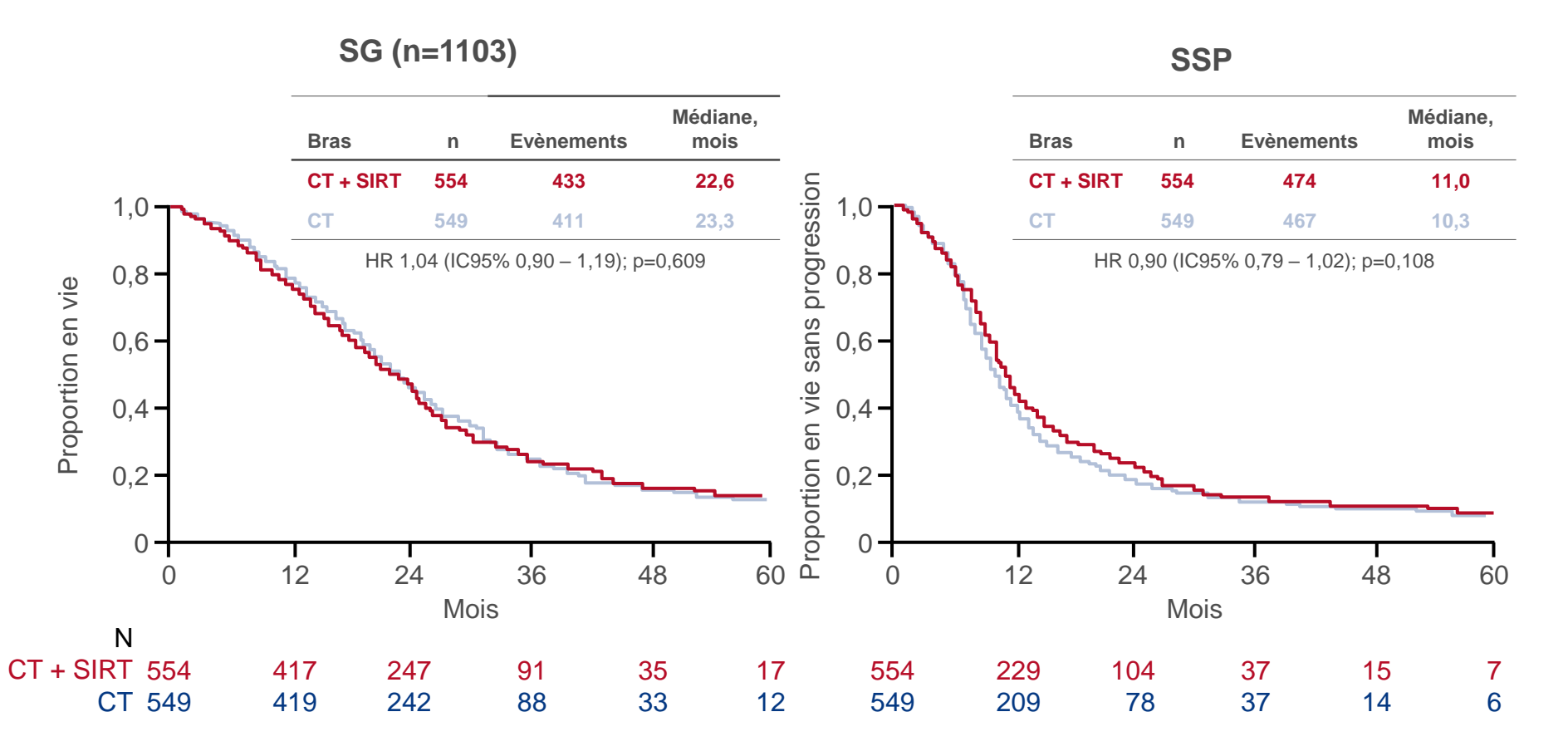
CRITÈRES SECONDAIRES

 SSP pour tous les sites, SSP hépatique spécifique, TRO, tolérance

^aOxaliplatine 85 mg/m²; ^boxaliplatine 60 mg/m² jusqu'au cycle 3 puis oxaliplatine 85 mg/m²

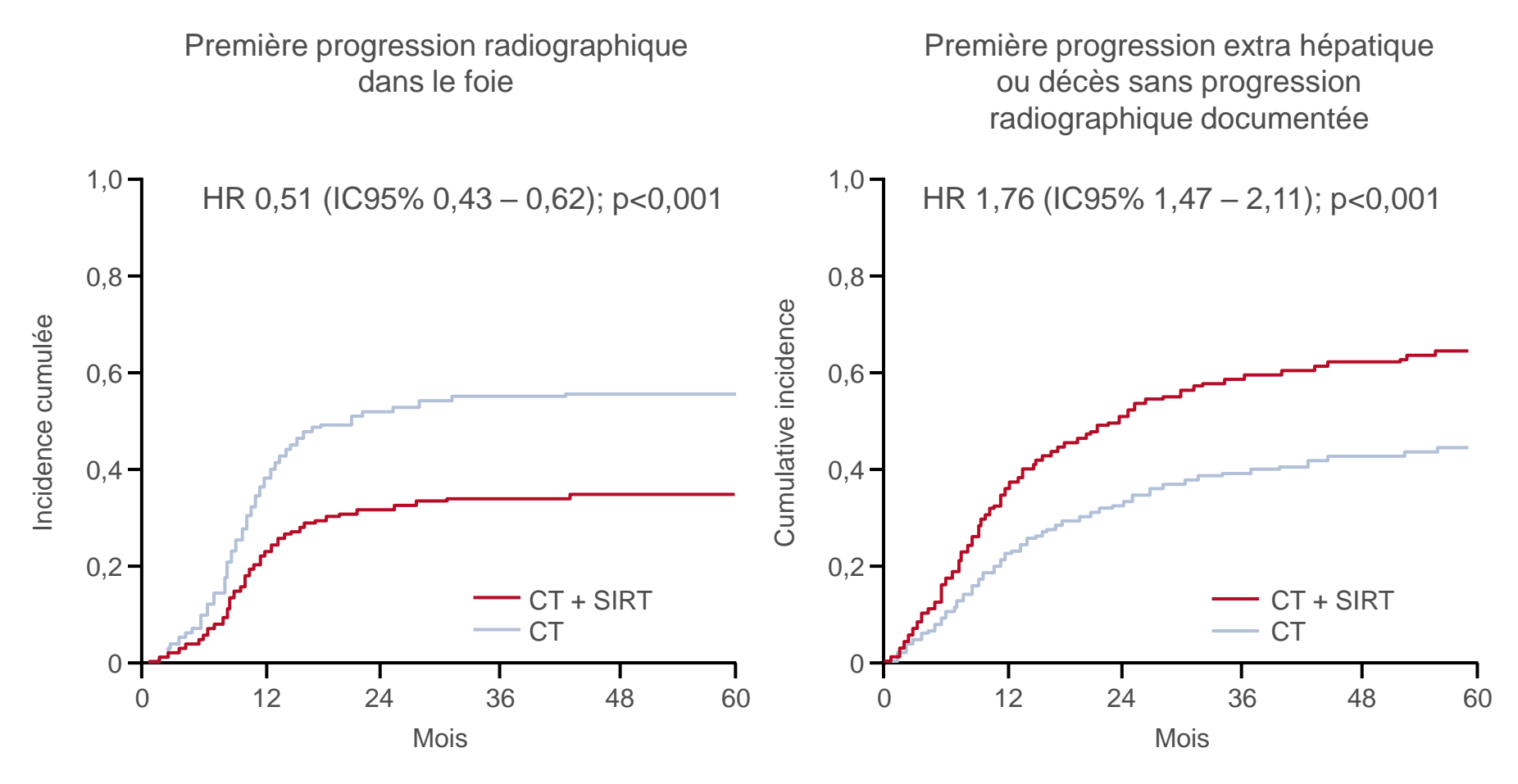
Wasan H, et al. Ann Oncol 2017; 28 (suppl 3): abstr O-027

Résultats



Résultats

SSP hépatique spécifique



Wasan H, et al. Ann Oncol 2017; 28 (suppl 3): abstr O-027

Résultats

Els sélectionnés toutes causes (population de tolérance)

Evènements indésirables %	CT + SIRT (n=507)	CT (n=571)		
Tous patients, tout grade Tous patients, grade ≥3 Tous patients, grade 5	99,8 74,0 2,0	99,6 66,5 1,9		
Hématologiques (grade ≥3)				
Neutropénie Neutropénie fébrile Thrombocytopénie Leucopénie	36,7 6,5 7,7 5,9	24,2 2,8 1,2 2,3		
Non hématologiques (grade ≥3)				
Fatigue Douleur abdominale Diarrhée Neuropathie périphérique	8,5 6,1 6,7 3,6	4,9 2,3 6,5 5,8		
Els associés à la SIRT (grade ≥				
Hépatite radique Ulcère gastrique Ulcère duodénal	0,8 0,8 0,6	- - -		

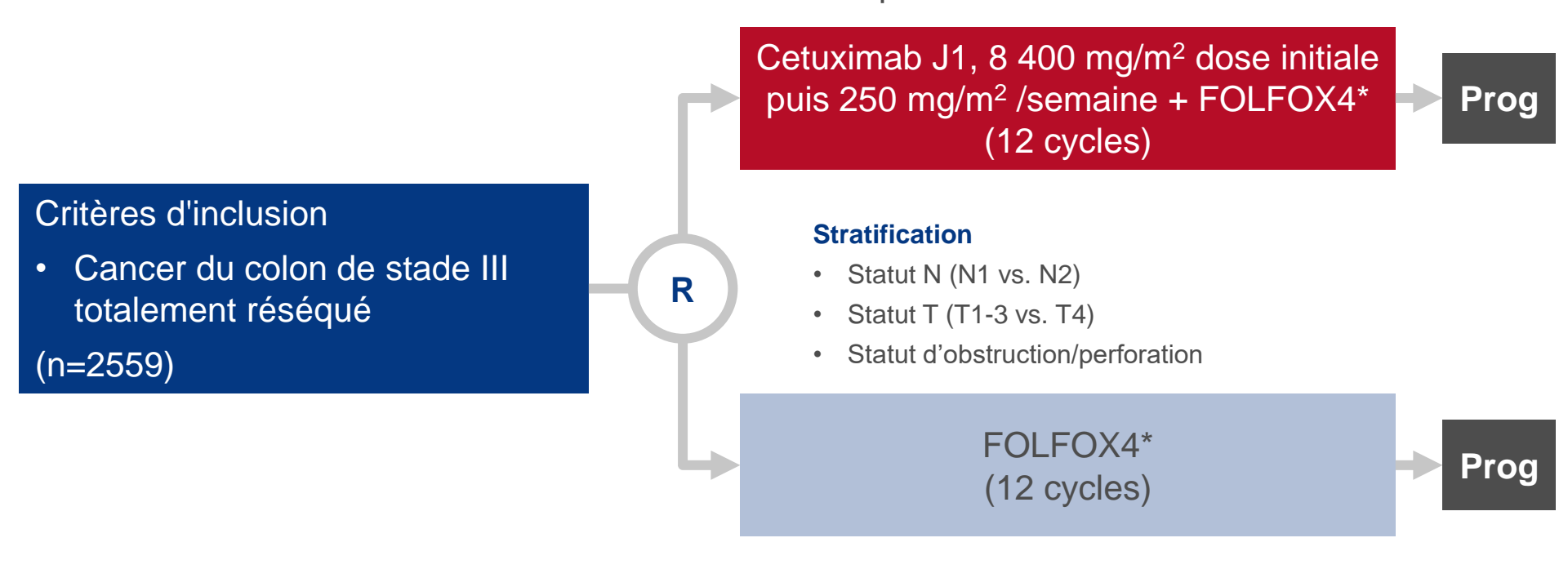
Wasan H, et al. Ann Oncol 2017; 28 (suppl 3): abstr O-027

- L'addition de SIRT à la 1^e ligne de chimiothérapie par FOLFOX n'a pas apporté d'amélioration de SSP (critère principal) ou de SG
- Un bénéfice significatif de la SIRT a été observé pour la SSP hépatique spécifique
- La toxicité, particulièrement pour les Els hématologiques, était plus élevée dans le groupe FOLFOX + SIRT

O-015: La valeur pronostique de la localisation de la tumeur primitive dans le cancer du colon de stade III est associée au statut mutationnel RAS et BRAF – Taieb J, et al

Objectif

• Etudier l'impact sur le pronostic de la localisation de la tumeur primitive chez les patients avec cancer du colon de stade III totalement réséqué

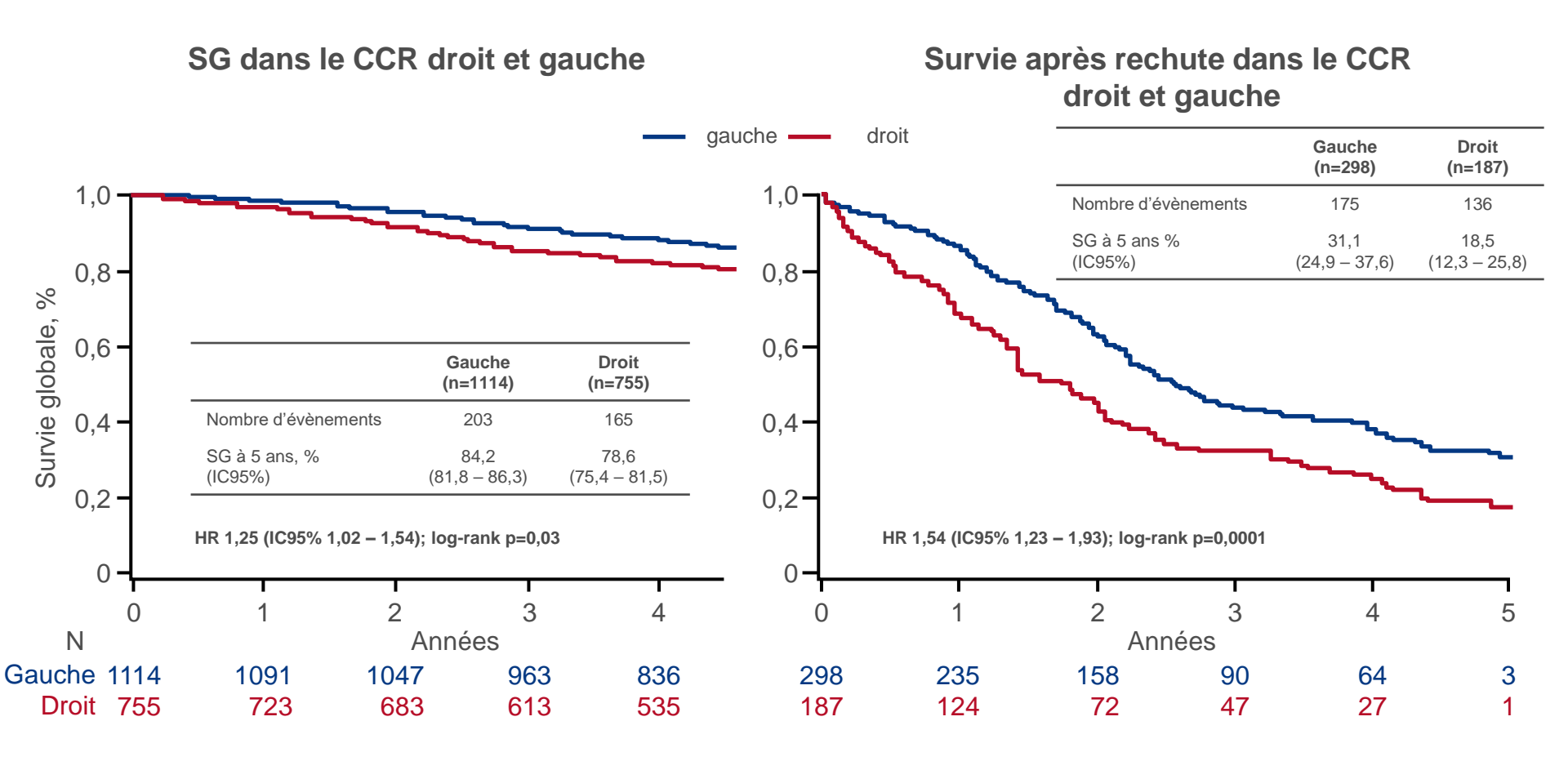


• Le site de la tumeur primitive était catégorisé comme proximal (droit; n=755) ou distal (gauche; n=1114) par rapport à l'angle splénique

^{*}Oxaliplatine 85 mg/m² J1, leucovorine 200 mg/m², 5FU bolus 400 mg/m² suivi de 600 mg/m² 22-heures IV J1, 2 /2S

O-015: La valeur pronostique de la localisation de la tumeur primitive dans le cancer du colon de stade III est associée au statut mutationnel RAS et BRAF – Taieb J, et al

Résultats



Taieb J, et al. Ann Oncol 2017; 28 (suppl 3): abstr O-015

O-015: La valeur pronostique de la localisation de la tumeur primitive dans le cancer du colon de stade III est associée au statut mutationnel RAS et BRAF – Taieb J, et al

Résultats

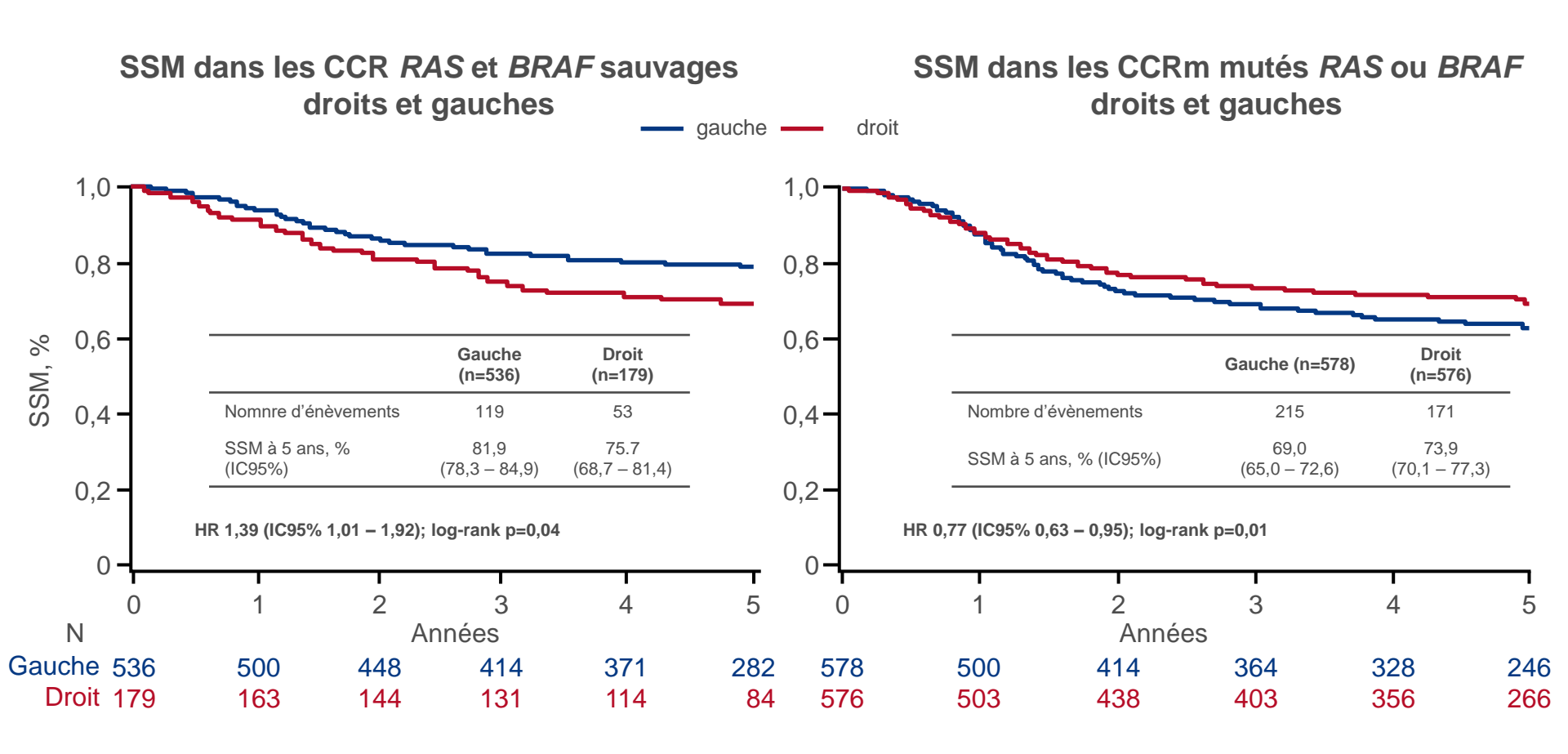
Facteurs pronostiques en analyse multivariée	SSM,	SG,	Survie après rechute,
	HR (IC95%); p	HR (IC95%); p	HR (IC95%); p
Localisation tumeur primitive droit vs. gauche	0,91 (0,747 – 1,11);	1,22 (0,96 – 1,55);	1,48 (1,13 – 1,92);
	0,33	0,11	0,005
Grade histopathologique	1,36 (1,08 – 1,71);	1,45 (1,10 – 1,90);	1,49 (1,12 – 1,98);
3–4 vs. 1–2	0,009	0,008	0,006
ECOG PS 1–2 vs. 0	1,33 (1,07 – 1,65);	1,45 (1,12 – 1,87);	1,15 (0,86 – 1,54);
	0,009	0,0047	0,33
pT pT 3–4 vs. pT 1–2	2,28 (1,41 – 3,66);	2,59 (1,37 – 4,89);	1,61 (0,71 – 3,65);
	0,0007	0,003	0,26
pN	2,0 (1,66 – 2,40);	2,12 (1,69 – 2,66);	1,38 (1,07 – 1,80);
pN2 vs. pN1	<0,0001	<0,0001	0,015
Obstruction et perforation intestinale Obstruction et/ou perforation intestinale vs. pas d'obstruction ni de perforation	1,31 (1,05 – 1,62);	1,30 (1,00 – 1,69);	1,08 (0,80 – 1,45);
	0,015	0,05	0,61
Statut MMR MMR proficient vs. MMR déficient	1,41 (0,97 – 2,05);	1,62 (1,03 – 2,56);	1,21 (0,72 – 2,04);
	0,076	0,037	0,47
Statut RAS/BRAF RAS muté vs. double sauvage	1,56 (1,27 – 1,92);	1,54 (1,19 – 1,98);	1,31 (0,98 – 1,76);
	<0,0001	0,0009	0,07
BRAF muté vs. double sauvage	1,28 (0,91 – 1,79);	1,39 (0,93 – 2,07)	1,81 (1,20 – 2,75);
	0,16	0,10	0,005

SSM: survie sans maladie

Taieb J, et al. Ann Oncol 2017; 28 (suppl 3): abstr O-015

O-015: La valeur pronostique de la localisation de la tumeur primitive dans le cancer du colon de stade III est associée au statut mutationnel RAS et BRAF – Taieb J, et al

Résultats



SSM: survie sans maladie

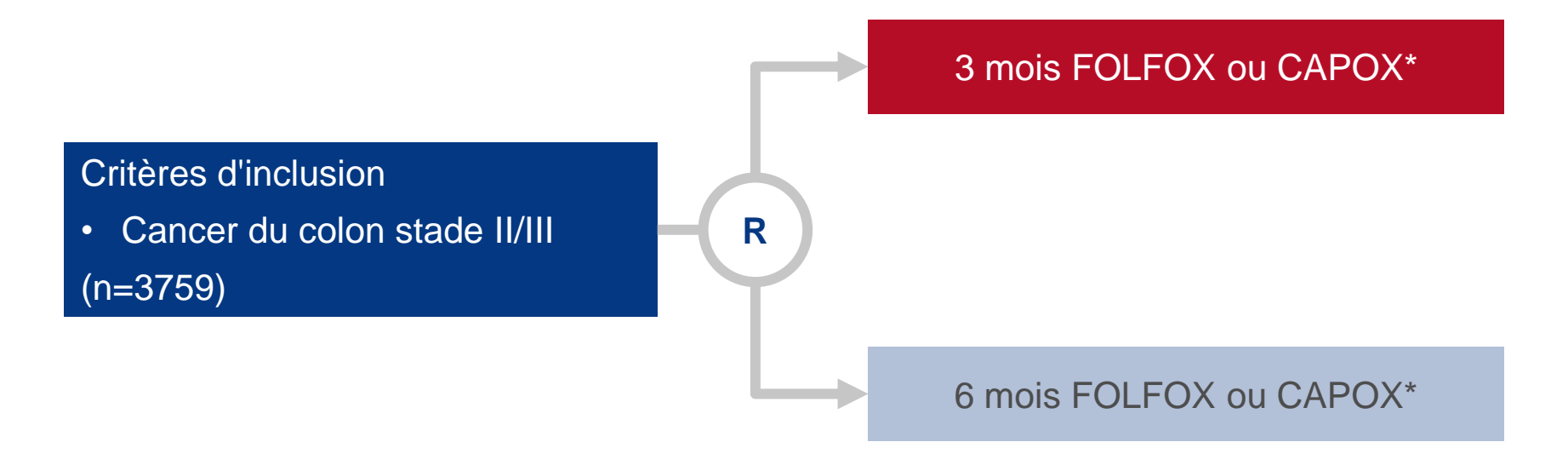
Taieb J, et al. Ann Oncol 2017; 28 (suppl 3): abstr O-015

O-015: La valeur pronostique de la localisation de la tumeur primitive dans le cancer du colon de stade III est associée au statut mutationnel RAS et BRAF – Taieb J, et al

- Les patients avec une tumeur droite ont eu de moins bonnes survies que ceux avec tumeur gauche, avec une SG et une survie après rechute plus courtes
- La survie sans maladie n'était pas affectée par le côté de la tumeur dans la population totale
- Cependant, une analyse selon le statut mutationnel RAS et BRAF a montré:
 - Une SSM plus courte chez les patients RAS et BRAF sauvages
 - Une SSM plus longue chez les patients porteurs de mutations RAS/BRAF

Objectif

• Tester la non infériorité d'un traitement adjuvant par oxaliplatine plus court que le standard (3 vs. 6 mois) chez des patients avec cancer du colon



CRITÈRE PRINCIPAL

Survie sans récidive

Résultats

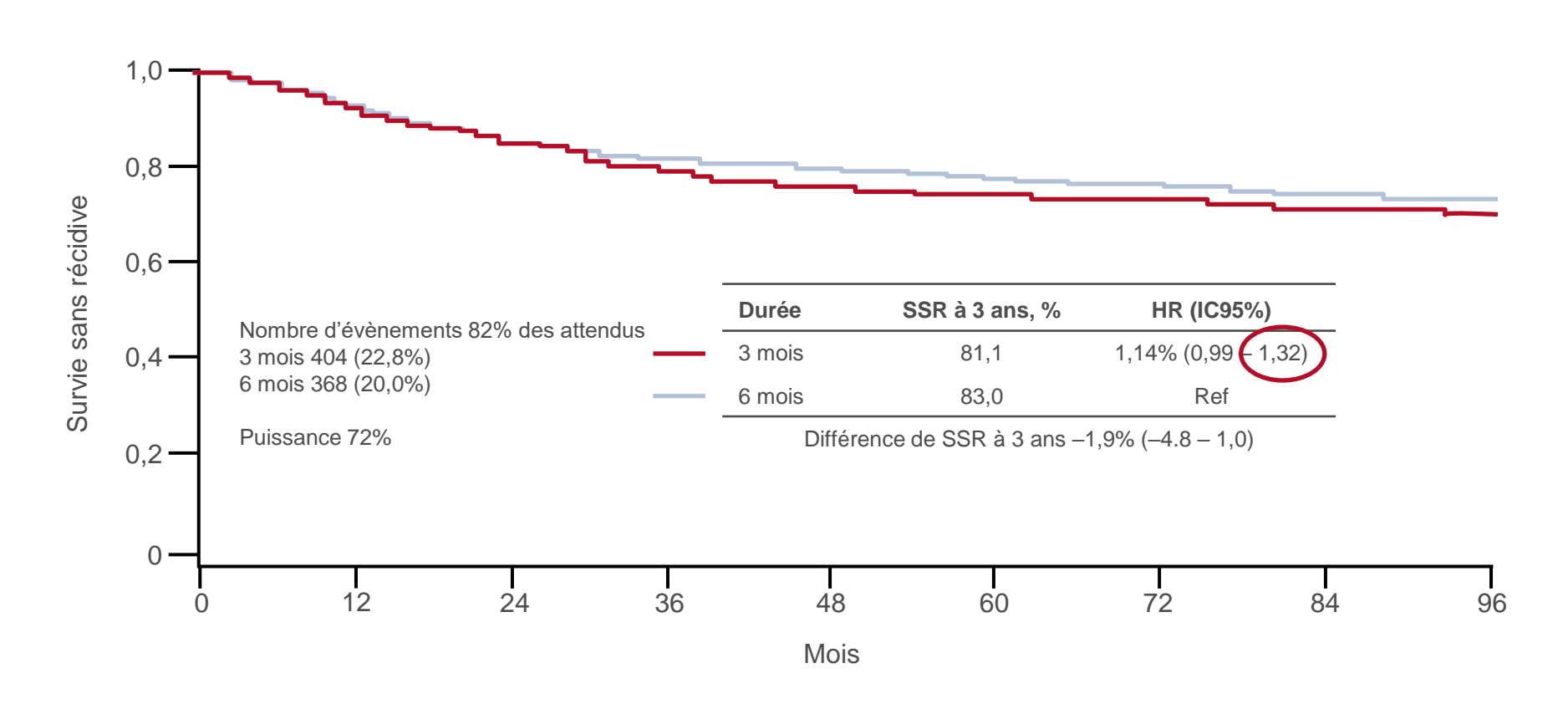
Evènement	Grade 1–2, %		Grade 3–4, %		
indésirable	3 mois	6 mois	3 mois	6 mois	p ¹
Neurologique	37,0	41,0	9,0*	31,0*	<0,0001
Neutropénie fébrile	1,7	3,5	1,4	2,7	<0,0001
Thrombocytopénie	33,0	47,0	1,6	2,1	<0,0001
Diarrhée	29,0	35,0	5,1	6,4	<0,0001
Réactions allergiques	3,4	6,4	0,5	2,0	<0,0001

¹ Test du Chi-2 de tendance; nombre total d'Els de grade 5: 2 (possibles)

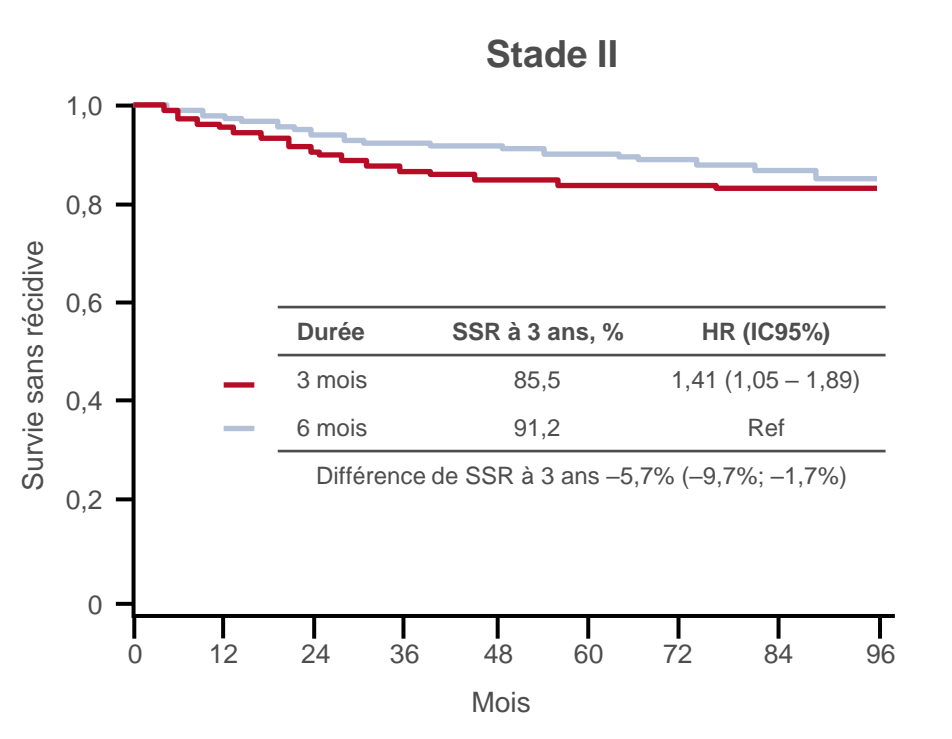
^{*}Toxicité neurologique cliniquement pertinente (grades 2, 3 et 4)

Résultats

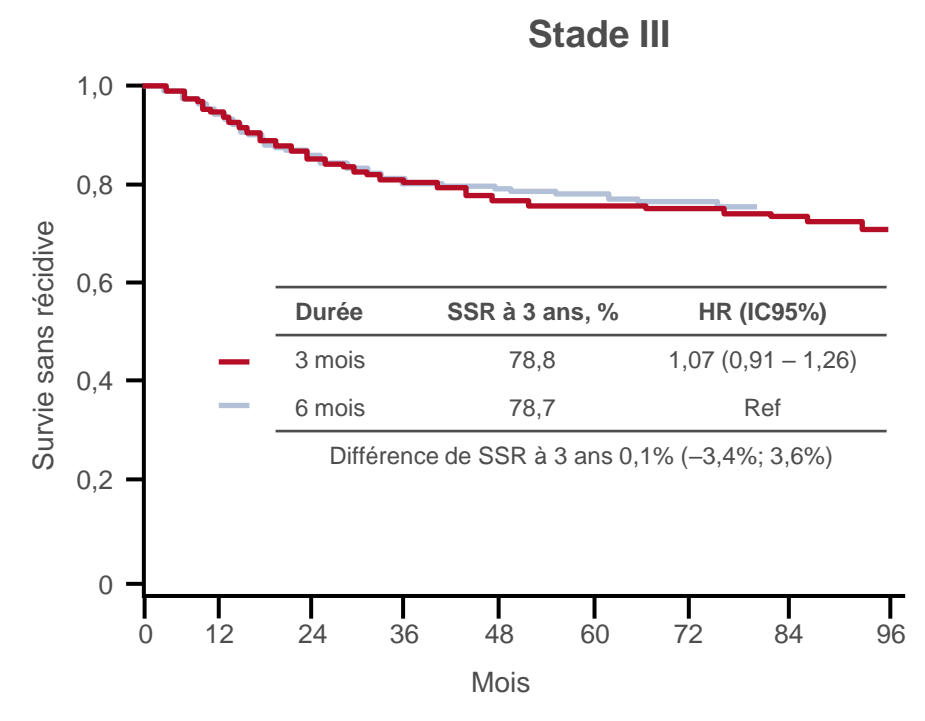
SSR par bras (population totale)



Résultats



SSR par stade

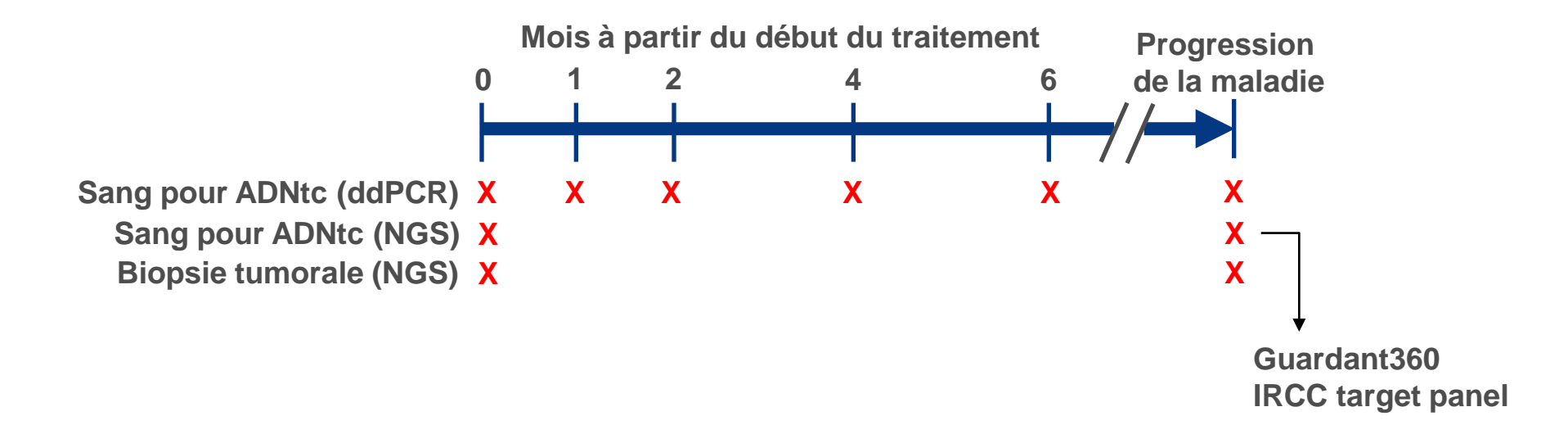


- Cette étude de non infériorité a montré que 3 mois de traitement adjuvant n'étaient pas aussi efficaces que 6 mois pour le cancer du colon
- Cependant, la toxicité était significativement réduite en cas de moindre exposition au traitement La différence absolue entre les durées de traitement étant faible (moins de 3% à 5 ans), le traitement devrait être individualisé et adapté à chaque patient en considérant la toxicité potentielle et la stratégie thérapeutique

CANCER GASTROINTESTINAL

Objectif

• Etudier l'hétérogénéité moléculaire et les mécanismes de résistance de différentes tumeurs gastrointestinales (GI) par analyse de biopsies liquides

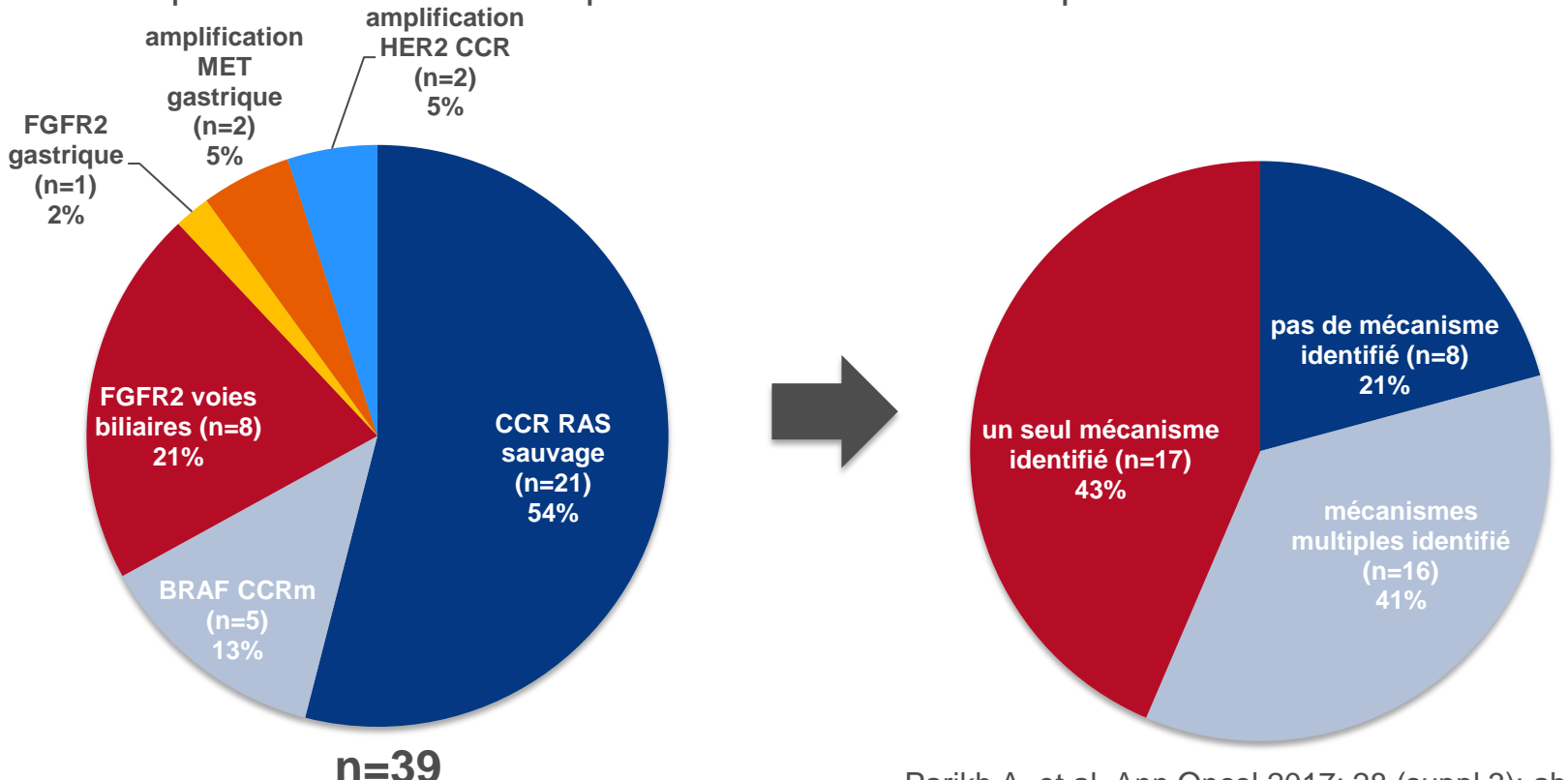


• La biopsie liquide pourrait détecter des altérations dans l'ADNct libéré par les cellules tumorales dans tout l'organisme

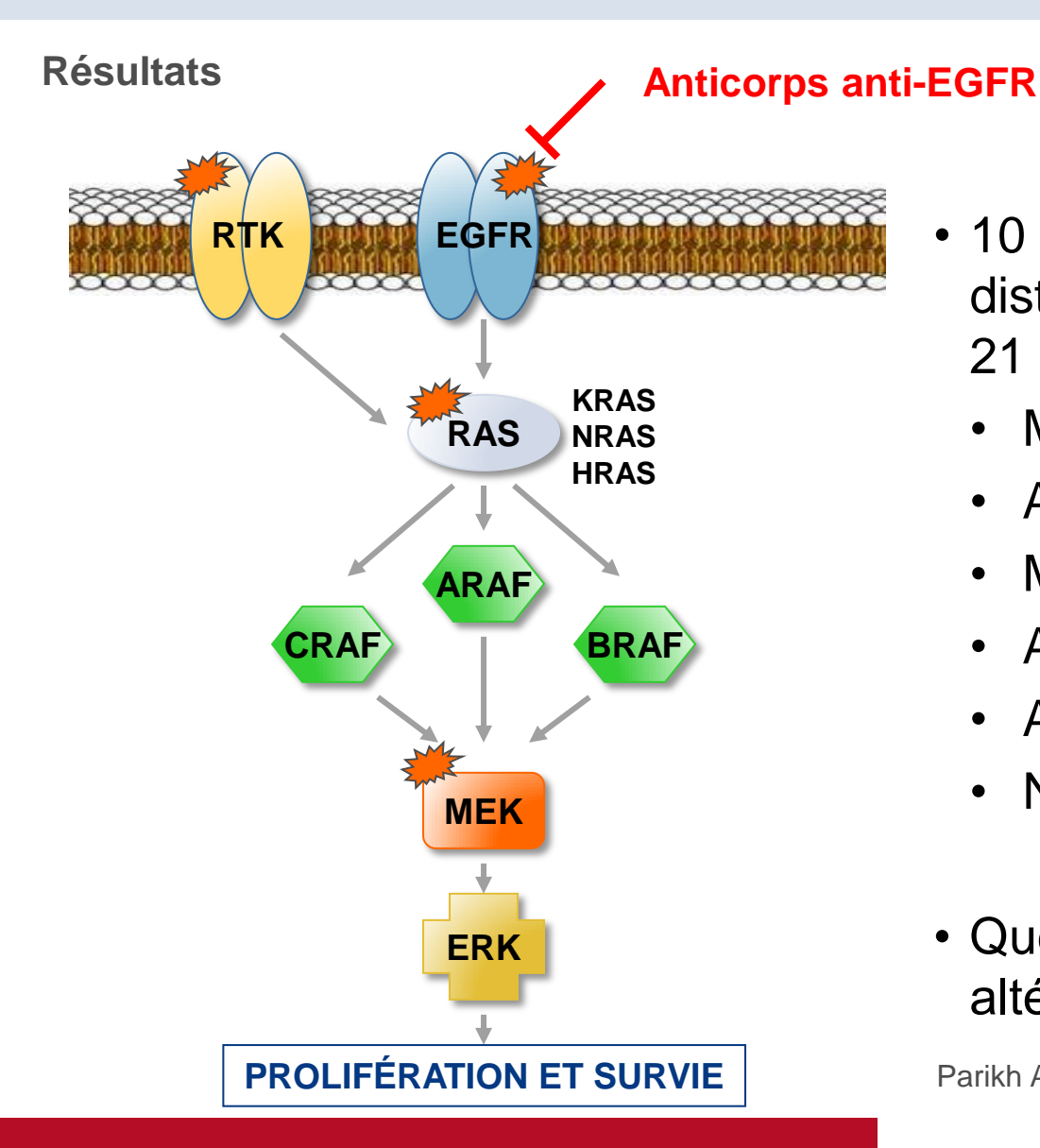
ADNtc: ADN tumoral circulant

Résultats

- Un mécanisme de résistance a été identifié par biopsie liquide chez 80% des patients
- Des mécanismes de résistance multiples ont été observés chez 41% des patients
- Des mécanismes de résistance supplémentaires ont été identifiés par l'ADNtc par rapport aux biopsies tumorales correspondantes chez 64% des patients



Parikh A, et al. Ann Oncol 2017; 28 (suppl 3): abstr O-001



- 10 mécanismes de résistance distincts identifiés parmi 21 patients
 - Mutations KRAS
 - Amplification KRAS
 - Mutations EGFR ECD
 - Amplification MET
 - Amplification ERBB2
 - Nouvelle mutation MEK1
- Quelques patients avec 5 altérations ou plus dans l'ADNtc

Parikh A, et al. Ann Oncol 2017; 28 (suppl 3): abstr O-001

Résultats

CCR muté BRAF, dabrafenib, trametinib, panitumumab



Réponse **Progression Avant traitement**

(Patient de Jill Allen)

Mutations "fondatrices" à la biopsie initiale

Avant traitement Après progression

Mutations de résistance détectées à progression

Identification dans une seule biopsie après progression

Parikh A, et al. Ann Oncol 2017; 28 (suppl 3): abstr O-001

- L'analyse des biopsies liquides a été utilisée pour identifier:
 - Des mécanismes de résistance dans différents types de tumeurs et de traitement, y compris plusieurs nouvelles thérapies
 - Des mécanismes de résistance multiples survenant simultanément
 - Des mécanismes de résistance qui n'avaient pas été identifiées par les biopsies tumorales
- Les biopsies liquides peuvent saisir l'hétérogénéité de la résistance que de simples biopsies à l'aiguille échouent à détecter
- Inclure les biopsies liquides dans la décision clinique pourrait aider à surmonter le problème lié à l'hétérogénéité de la résistance